



แหล่งจ่ายไฟต่อเนื่อง

UNINTERRUPTED POWER SUPPLY

จัดทำโดย



อ.พิชิต ลายยอง

Mr. PICHIT LUMYONG

B.ENG (HONS), M.ENG

วิทยานิพนธ์สำหรับปริญญาวิศวกรรมศาสตรบัณฑิต

สาขาวิศวกรรมไฟฟ้า

คณะวิศวกรรมศาสตร์

สถาบันเทคโนโลยีพระจอมเกล้า เจ้าคุณทหาร ลาดกระบัง

เอกสารนี้เป็นเอกสารที่สงวนไว้สำหรับการใช้งานเพื่อการศึกษาเท่านั้น ไม่อนุญาตให้นำไปใช้ประโยชน์ด้านการค้า

ปีการศึกษา 2533

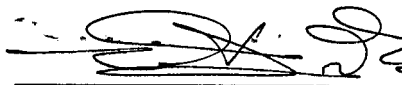
ไม่ว่ากรณีใดๆทั้งสิ้น อีกทั้งห้ามมิให้ตัดแปลงเนื้อหา และต้องอ้างอิงถึงเจ้าของเอกสารทุกครั้งที่มีการนำไปใช้

ปริญญาโทบริหารศึกษา 2533

เรื่อง แหล่งจ่ายไฟต่อเนื่อง (UNINTERRUPTED POWER SUPPLY)

ผู้จัดทำ

1. นาย วัดส์ตวัส มหากุศล
2. นาย วิเชียร เทพสุทธินันท์


อาจารย์ที่ปรึกษา

(อ. พิชิต ภายหลัง)

เอกสารนี้เป็นเอกสารที่สงวนไว้สำหรับการใช้งานเพื่อการศึกษาเท่านั้น ไม่อนุญาตให้นำไปใช้ประโยชน์ด้านการค้า
ไม่ว่ากรณีใดๆทั้งสิ้น อีกทั้งห้ามมิให้ตัดแปลงเนื้อหา และต้องอ้างอิงถึงเจ้าของเอกสารทุกครั้งที่มีการนำไปใช้

แหล่งจ่ายไฟแบบต่อเนื่อง

วัลลภ วัฒนกุล
วิเชียร เทพสุทินันท์

อ. นิชิต ล้ายอง

บทคัดย่อ

ในภาวะที่เกิดการผิดปกติขึ้นที่ระบบไฟจากการไฟฟ้า เช่น ไฟดับ, ไฟตก, ไฟเกิน หรือ เกิดการขัดข้องของระบบไฟขณะใช้โหลดสำคัญต่าง ๆ จำเป็นที่จะต้องมียแหล่งจ่ายไฟต่อเนื่อง ซึ่งจะให้สภาวะไฟที่ปกติแก่โหลด เช่น Computer, เครื่องมือวัดต่าง ๆ ใน UPS ทั่วไปจะมีส่วนประกอบของ DC Rectifier, แบตเตอรี่ และ อินเวอร์เตอร์

ในโครงการนี้ ได้ศึกษาเพียงส่วนของอินเวอร์เตอร์ เท่านั้น ซึ่งจะใช้แหล่งจ่ายจากแบตเตอรี่ และควบคุมการสวิทชิงของ MOSFET โดยใช้ PWM ลักษณะลูกคลื่นที่ปรากฏออกมาหลังจากผ่านวงจรกรองความถี่แล้วจะมีอาโมนิคส์ปนออกมาน้อย ส่วนของสัญญาณ PWM นั้น สร้างโดยใช่วงจร Analog ทั้งหมด

Uninterrupted Power Supply

Vatsattavas Mahakusol

Vichian Thepsuthinuntha

Mr.Pichit Lumyong

ABSTRACT

In the case of abnormal electrical feeder such as undervoltage, overvoltage or noise on line. The critical load must be supplied continuously. Then the UPS will stabilize the system. The general UPS consists of rectifier, battery and inverter

This project considers only the inverter characteristic, supplied from battery. MOSFET, the switching device, is controlled by PWM signal. This signal causes low harmonics sinusoidal output. And PWM signal is generated by analog circuit.

สารบัญ

	หน้า
บทที่ 1 บทนำ	1
บทที่ 2 ทฤษฎี UPS	2
บทที่ 3 แบตเตอรี่	17
บทที่ 4 อินเวอร์เตอร์	22
บทที่ 5 ระบบควบคุม	39
- ทฤษฎี FET	40
- วงจรสร้างสัญญาณ PWM	54
- ระบบ Feedback	62
- วงจร Gate driver	66

บทที่ 1

บทนำ

งานปริญญาโทฉบับนี้ได้รวบรวมเรื่องต่าง ๆ ของ UPS ไว้ ทั้งในส่วนที่เป็น UPS ที่ทำงานอยู่จริง ซึ่งกล่าวโดยหลักการทั่ว ๆ ไป และ UPS ในงานวิจัย. ซึ่งได้กล่าวโดยรายละเอียดถึงส่วนประกอบแต่ละส่วนซึ่งได้ทำการศึกษา, ค้นคว้า และทดลองขึ้นในการศึกษาวิชา Project I และ Project II ซึ่งงานปริญญาโทนี้ได้แบ่งเนื้อหาออกเป็นแต่ละบท ดังนี้

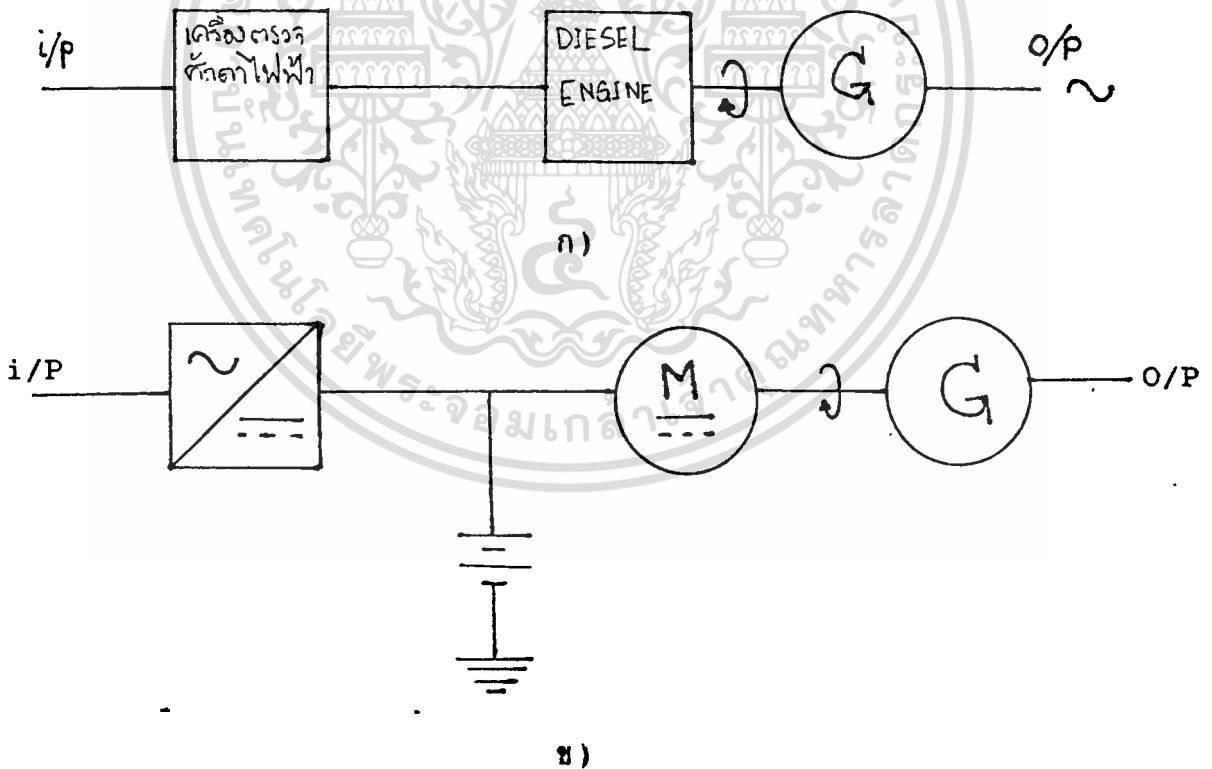
- ส่วนที่ 1 เกี่ยวกับส่วนประกอบทั่วไปของ UPS
- ส่วนที่ 2 เป็นส่วนประกอบและหลักการของ BATTERY
- ส่วนที่ 3 INVERTER และ การวิเคราะห์ฮาร์มอนิกส์ รวมทั้ง วงจรกรองความถี่
- ส่วนที่ 4 ทฤษฎี MOSFET
- ส่วนที่ 5 วงจรควบคุม (ส่วนสร้างสัญญาณ PWM)
- ส่วนที่ 6 วงจรส่วนย้อนกลับ (Feedback)
- ส่วนที่ 7 Gate Drive Circuit

บทที่ 2

ทฤษฎี UPS

ชนิดของ UPS มีหน้าที่เหมือนแหล่งจ่ายสำรอง คือ จะเริ่มจ่ายไฟเมื่อเกิด
ไฟดับ แบ่งออกเป็น 2 พวกใหญ่ ๆ คือ

1. แหล่งกำเนิดกำลังหมุน (DYNAMIC UPS) ซึ่งเป็นระบบที่เริ่มแรกในการ
สร้างขึ้น โดยจะจ่ายกำลังต่อร่วมกับเครื่องกำเนิดไฟฟ้า ซึ่งต้นกำลังก็มักจะเป็นเครื่อง-
ยนต์ หรือ มอเตอร์ ขึ้นอยู่กับการ DESIGN ซึ่งระบบนี้จะทำงานเมื่อเกิดไฟดับ หรือ
จ่ายโหลดจนกรณีที่ระบบไฟฟ้าเกิดการผิดปกติมาก เช่น การเกิดไฟตกกว่าโหลดจะยอม
รับได้ ซึ่งจะสามารถแสดงได้ดังรูป โดย UPS แบบนี้จะจ่ายให้กับโหลดที่มีความสำคัญ
เท่านั้น เช่น ระบบจ่ายไฟให้กับห้องผ่าตัด หรือ ลิฟต์ ซึ่งอาจเรียกว่า พวกโหลดวิกฤต
(CRITICAL LOAD)



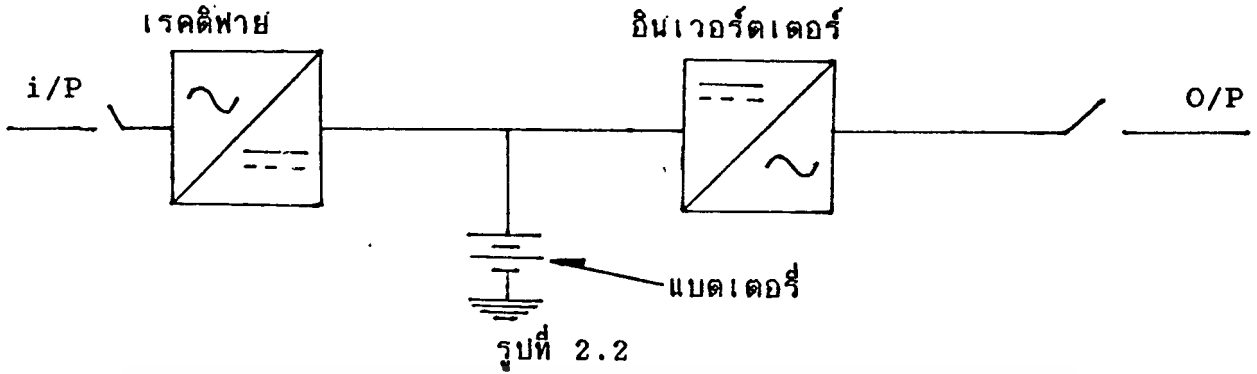
รูปที่ 2.1 ก) ระบบที่จ่ายเครื่องยนต์เป็นต้นกำลัง ข) มอเตอร์เป็นต้นกำลัง

เอกสารนี้เป็นเอกสารที่สงวนไว้สำหรับการใช้งานเพื่อการศึกษาเท่านั้น ไม่อนุญาตให้นำไปใช้ประโยชน์ด้านการค้า
ไม่ว่ากรณีใดๆทั้งสิ้น อีกทั้งห้ามมิให้ตัดแปลงเนื้อหา 2 จะต้องอ้างอิงถึงเจ้าของเอกสารทุกครั้งที่มีการนำไปใช้

ซึ่งงานความจริงแล้วนั้น ระบบที่จ่ายออกมาจาก GEN. นั้น มีความเป็น SINE มาก และ มีความเชื่อถือดีอีกด้วย แต่สภาพของระบบโครงข่ายจะเป็นตัวรบกวน ซึ่งอาจเกิดจากการเปลี่ยนแปลงโหลดในระบบ หรือการเกิดผิดปกติ (FAULT) ซึ่งถ้าเป็นอุปกรณ์พวกอิเล็กทรอนิกส์หรือคอมพิวเตอร์ต่อเข้ากับระบบที่ผิดปกติ นั้น ก็จะทำให้เกิดปัญหาการปฏิบัติงานขึ้นมา ซึ่งอาจแก้ไขโดยใช้อุปกรณ์ปรับสภาพงานสาย (LINE CONDITIONER) แต่ก็จะแก้ไขได้เฉพาะที่เกิดการรบกวนสแปด (SPIKE) , โฟดก , โฟเกิน (ปัญหาในระบบไฟฟ้าของไทยที่สำคัญคือ NOISE, SPIKE, SURGE, FAILURE) ซึ่งจะมีวิธีการแก้ไขในแต่ละตัวที่แตกต่างกันออกไป แต่ถ้าเกิดปัญหาโฟดกขึ้นมา เครื่องปรับสภาพงานสายจะช่วยอะไรไม่ได้เลย โดยเฉพาะอย่างยิ่งถ้าอุปกรณ์ไฟฟ้าที่ใช้อยู่เป็นพวกคอมพิวเตอร์ จะทำให้เกิดปัญหาต่าง ๆ มากมาย ซึ่งถ้าเป็นระบบธุรกิจหรือเศรษฐกิจที่อาศัยคอมพิวเตอร์สื่อสารเป็นตัวหลักด้วยแล้วจะเกิดปัญหาย่างมาก ซึ่งอาจทำให้เกิดความเสียหายทางเศรษฐกิจ หรือเกิดการหยุดชะงักของเศรษฐกิจขึ้นได้

ดังนั้นเพื่อมาให้เกิดปัญหาโฟดก หรือ เกิดกระพริบของไฟซึ่งมีผลต่อคอมพิวเตอร์ จึงออกแบบให้เกิด UPS (UNINTERRUPTIBLE POWER SUPPLY) เพื่อเข้ามาแก้ไขปัญหาดังกล่าว

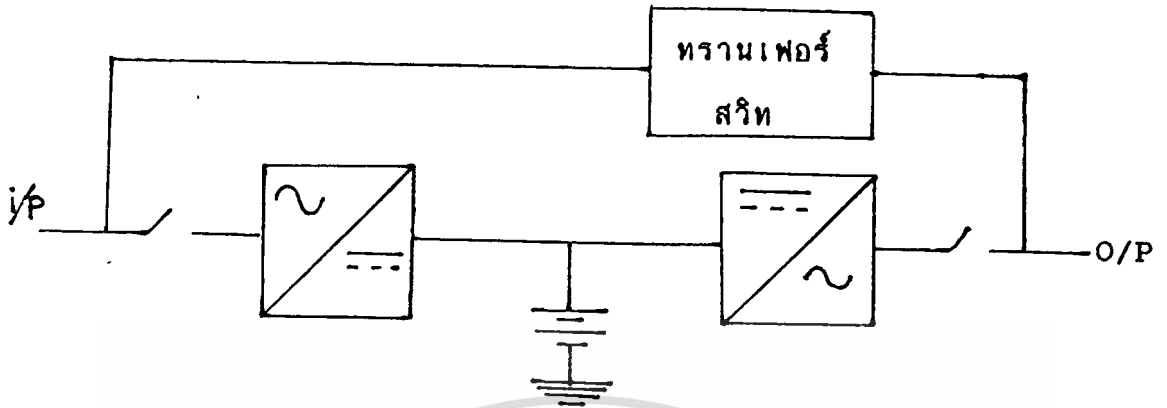
2. ระบบสแตติก UPS (STATIC UPS) จะมีลักษณะต่างจากแบบแรกคือ แทนที่จะใช้พวกเครื่องจักรกลไฟฟ้า เป็นตัวกำเนิดไฟฟ้าจ่ายให้กับโหลดกรณีในระบบไฟฟ้าเกิดมีปัญหา ก็จะใช้พวก อิเล็กทรอนิกส์ คอนเวอร์เตอร์ เข้ามาเป็นอุปกรณ์ประกอบหลักร่วมกับแบตเตอรี่ โดยจะไม่มีเครื่องกำเนิดไฟฟ้าเข้ามาเกี่ยวข้อง แต่จะใช้อุปกรณ์อิเล็กทรอนิกส์เข้ามาเป็นตัวกำเนิดไฟฟ้าแทน ดังนั้นระบบนี้จะไม่มีส่วนที่ต้องหมุนเคลื่อนที่เลย และจัดว่าเป็นระบบที่มีความเร็วและความเชื่อถือได้สูง จึงเป็นที่นิยมกันอยู่จนปัจจุบัน ซึ่งกลายเป็น UPS แบบใหม่ (MODERN UPS) ซึ่งระบบหลัก ๆ นั้นจะแสดงได้ดังรูปที่ 2.2



ซึ่งอินเวอร์เตอร์จะจ่ายกำลังไฟฟ้าที่ถูกปรับทั้งความถี่และแรงดันให้คงที่ แล้วออกป้อนให้โหลดโดยจะไม่มีผลของ NOISE ไปหาโหลดเลย และไฟตรงที่จะจ่ายให้กับอินเวอร์เตอร์นั้นจะต้องผ่านวงจรเรียงกระแสจากกระแสไฟฟ้าสลับให้เป็นกระแสตรง ซึ่งส่วนหนึ่งจะต้องนำไปอัดไฟฟ้าให้แบตเตอรี่ และอีกส่วนจ่ายให้กับอินเวอร์เตอร์เพื่อเปลี่ยนแรงดันกระแสตรงให้เป็นแรงดันกระแสสลับ เพื่อจ่ายให้กับโหลดต่อไป

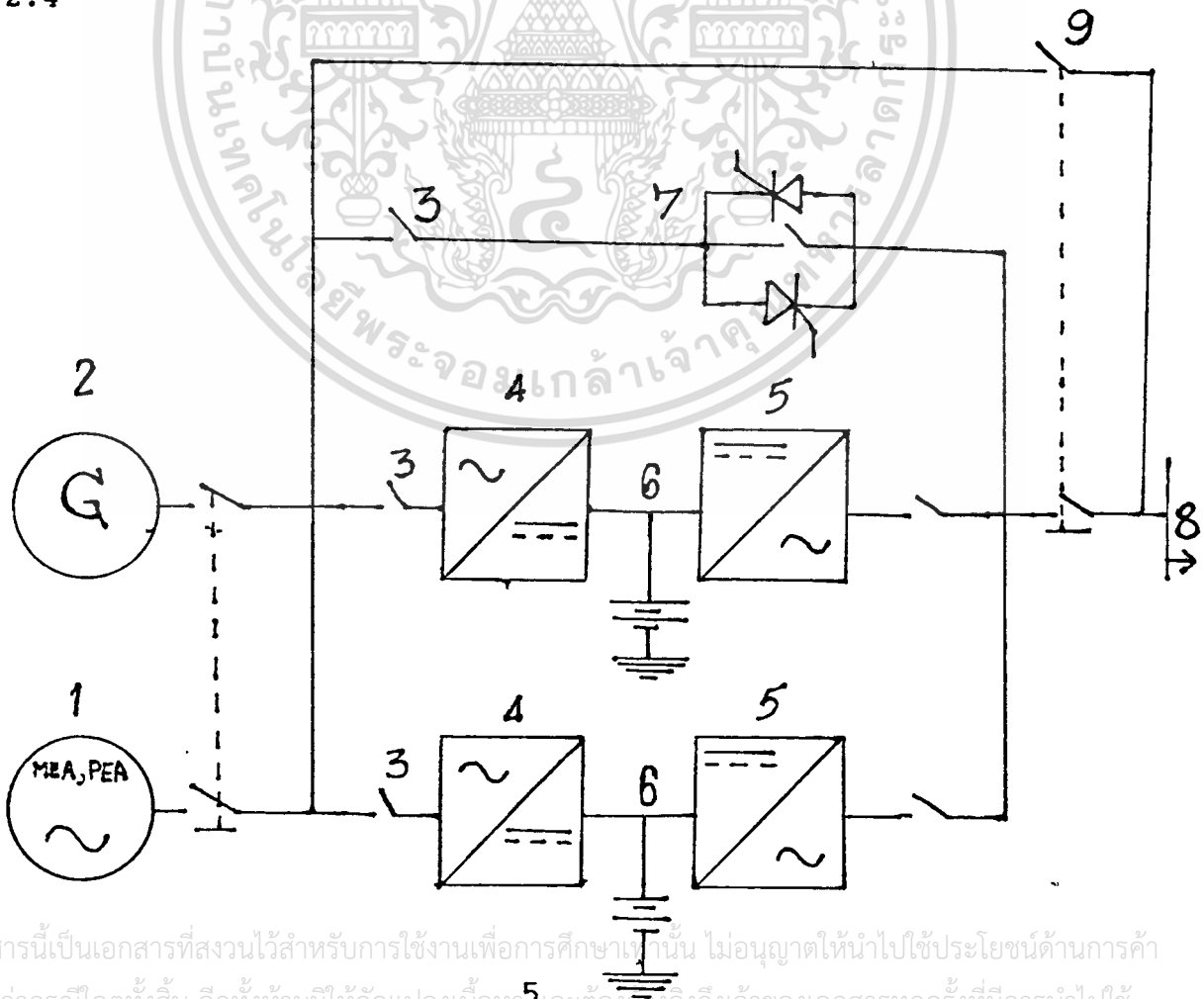
ภายใต้สภาวะที่เกิดไฟดับ (FAILURE) ของระบบไฟฟ้าหลักของการไฟฟ้า หรือเกิดจากเรกติฟายผิดปกติ คือไม่สามารถจ่ายกระแสตรงออกมาได้นั้น แบตเตอรี่จะเป็นตัวจ่ายแรงดันไฟฟ้ากระแสตรงให้กับอินเวอร์เตอร์อย่างอัตโนมัติ ซึ่งโหลดที่อาศัยอยู่นั้นจะเป็นตัวกำหนดขนาดของแบตเตอรี่ ซึ่งโดยทั่วไปจะถูกออกแบบให้จ่ายได้นานประมาณ 10 - 30 นาที ที่พิกัดกำลัง คือ ยิ่งพิกัดกำลังมีค่ามากขึ้นเท่าไร ขนาดของแบตเตอรี่ก็จะต้องใหญ่มากขึ้นเท่านั้น แต่ราคาของแบตเตอรี่สูงมาก ดังนั้น เพื่อการประหยัดบางทีก็ต้องใช้แหล่งกำเนิดกำลังหมุนเข้ามาร่วมกับระบบ STATIC UPS เช่น การจ่ายไฟให้กับระบบปรับอากาศที่ระบบคอมพิวเตอร์บางระบบจำเป็นต้องใช้

ถ้าต้องการเอา UPS ไปจ่ายไฟให้กับระบบที่อาศัยความถี่เดียวกันก็มักจะติดตั้งทรานเฟอร์สวิต เอาไว้ด้วย หรืออาจเรียกว่า บายพาสสวิต ก็ได้ ซึ่งอาจแสดงให้เห็นดังรูปที่ 2.3



รูปที่ 2.3

ลักษณะการนำพาใช้งานของ UPS นั้น จะขึ้นอยู่กับการทำงานที่แตกต่างกัน ออกไป ซึ่งขึ้นอยู่กับขนาดของพิกัดกำลังและตัวแปรต่าง ๆ ที่ต้องการ เช่น ถ้าขนาดของพิกัดกำลังมากก็จะเอา UPS ย่อยมาขนานกันเพื่อเพิ่มขนาดพิกัดที่จะไปจ่ายโหลด ดังรูปที่ 2.4



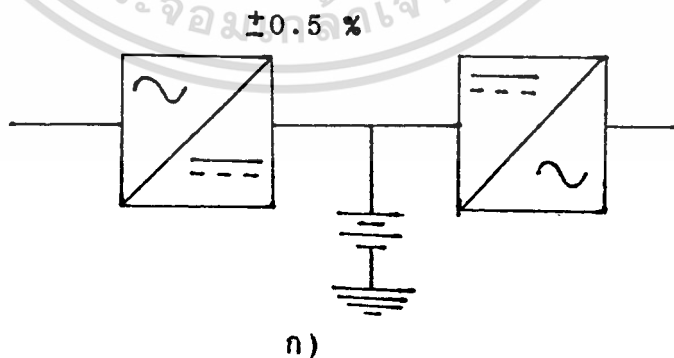
เอกสารนี้เป็นเอกสารที่สงวนไว้สำหรับการใช้งานเพื่อการศึกษาเท่านั้น ไม่อนุญาตให้นำไปใช้ประโยชน์ด้านการค้า ไม่ว่าจะกรณีใดๆทั้งสิ้น อีกทั้งห้ามมิให้ตัดแปลงเนื้อหา 5 และต้องอ้างอิงถึงเจ้าของเอกสารทุกครั้งที่มีการนำไปใช้

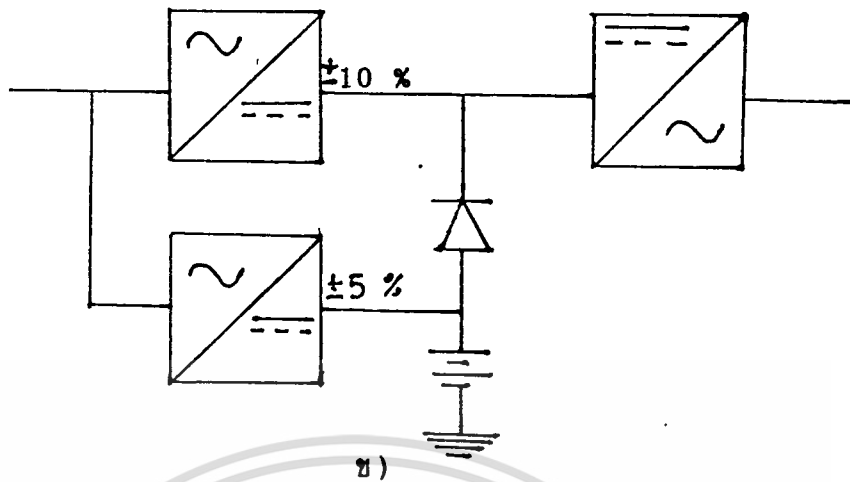
- | | |
|---------------------------------------|--------------------------------------|
| 1) ระบบ (NETWORK) | 2) ระบบแหล่งจ่ายไฟสำรอง |
| 3) ตัวตัดวงจร (DISCONNECTOR) | 4) เรกติฟาย |
| 5) อินเวอร์เตอร์ | 6) แบตเตอรี่ |
| 7) อิเล็กทรอนิกส์ | 8) ระบบจำหน่าย (LOAD DISTRIBUTION) |
| 9) ทรานเฟอร์สวิต สำหรับบำรุงรักษาระบบ | |

รูปที่ 2.4 แสดงถึง UPS ที่นำมาขนานกัน

ส่วนประกอบของ UPS ส่วนประกอบของ UPS ที่จะกล่าวถึงจะเป็นแบบสเตตติค UPS เท่านั้น โดยสามารถแบ่งเป็นอุปกรณ์หลัก ๆ ได้ดังนี้

1. เรกติฟาย/เครื่องรีดไฟ ในการออกแบบเรกติฟายจะต้องหาที่จ่ายไฟกระแสตรงจากลิ้นกับอินเวอร์เตอร์ และในขณะที่เดียวกันก็ต้องรีดไฟให้กับแบตเตอรี่ที่ระดับศักดาไฟฟ้าที่ถูกต้องด้วย ซึ่งจะเกิดปัญหาตามมา นั่นก็คือ ค่าเรกกูเรชัน (REGULATION) ของอินเวอร์เตอร์มีค่าเท่าไร ซึ่งเรกติฟายจะต้องช่วยปรับด้วยเพื่อให้ระดับแรงดันขาออกคงที่ แต่ค่าเรกกูเรชันไม่ดีทำให้แรงดันที่รีดไฟให้กับแบตเตอรี่มากเกินไปจนแบตเตอรี่พังได้ ดังนั้นจึงได้ขจัดปัญหาเรื่องนี้โดยใช้เรกติฟาย 2 ชุด ดังรูปที่ 2.5





ข)

รูปที่ 2.5 ก) ระบบที่จ่ายให้กับอินเวอร์เตอร์และแบตเตอรี่

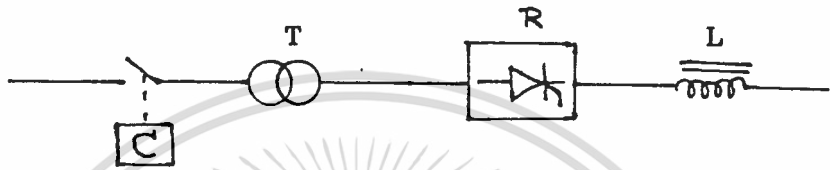
ข) แสดงการแยกชุดเรกติฟายออกเป็น 2 ชุด ที่มีแรงดันต่างกัน
ทำให้แรงดันของระบบดีขึ้น

งานชุดที่ทำการอัดไฟให้กับแบตเตอรี่นั้น เราต้องการความถูกต้องของแรงดันไฟฟ้า จึงทำให้มีแรงดันที่ต่ำ เพราะจะทำให้อายุการใช้งานของแบตเตอรี่ยาวนาน และทำงานอย่างเต็มประสิทธิภาพ โดยที่ไดรูดตามรูปที่ 2.5 ข) จะทำหน้าที่เป็นสวิตช์กันจนสภาวะปกติซึ่งอาจจะใช้ทรานซิสเตอร์แทนก็ได้ แต่ก็ต้องเพิ่มวงจรจุดขนานอีก ซึ่งจะเป็นการเพิ่มความยุ่งยากให้กับวงจร

สวิตช์จะทำงานจนกรณีที่เกิดสภาวะวิกฤตเท่านั้น เช่น กรณีที่เกิดไฟดับ ก็จะมีการเปิดวงจรโดยไดรูดอย่างอัตโนมัติ นอกจากนี้ไดรูดยังมีหน้าที่กันการกระเพื่อมที่ป้อนกลับมาจากวงจรอินเวอร์เตอร์ ที่เกิดจากการไหลของแบตเตอรี่อีกด้วย ซึ่งส่วนประกอบของเรกติฟายจะประกอบด้วย

- 1) เซอร์กิตเบรกเกอร์ หรือ สวิตคอนแทคแม่เหล็ก
- 2) หม้อแปลงไฟฟ้า
- 3) บริดจ์เรกติฟาย
- 4) วงจรกรองกระแส (FILTER)

ซึ่งแสดงดังรูปที่ 2.6



C : สวิตคอนแทคแม่เหล็ก

T : หม้อแปลงไฟฟ้า

R : บริดจ์เรกติฟาย

L : ตัวเหนี่ยวนำ

รูปที่ 2.6 แสดงถึงส่วนประกอบหลักของ เรกติฟายและ เครื่องอัดไฟ

หม้อแปลงแบบ 2 ขด สามารถแทนด้วย ออโตทรานฟอร์มเมอร์ได้ ซึ่งหมายความว่า ไม่มีการแยกออกจากด้านอินพุท แต่ในด้านดีของออโตทรานฟอร์มเมอร์ก็คือ จะปรับค่าประสิทธิภาพของวงจรคอนเวอร์เตอร์ และยังลดเนื้อที่ หน้าหนักของ UPS ด้วย

การเกิดกระเพื่อม (RIPPLE) ขึ้นนั้น จะส่งผลกระทบต่อการใช้งานของแบตเตอรี่ให้สั้นลง ดังนั้นจึงจำเป็นต้องใส่วงจรกรอง (FILTER) เพื่อลด RIPPLE ให้น้อยลง

วงจรบริดจ์เรกติฟาย มักจะต้องประกอบด้วย 4 ทรานซิสเตอร์ ถ้าต้องการให้ค่าฮาร์โมนิคส์ที่จะจ่ายกลับเข้าระบบ (ที่เกิดจากการสวิต) และ 4 กระแสดีซีออกมาเรียบ ก็จะทำให้ได้โดยการเพิ่มจำนวนพัลส์ (PULSE) ซึ่งก็คือการเพิ่มจำนวนของอุปกรณ์อิเล็กทรอนิกส์กำลัง



(SCR) นั่นเอง โดยที่ฮาร์โมนิคส์และพัลส์มีความสัมพันธ์คือ $n = kp + 1$ โดยที่ n คืออันดับของฮาร์โมนิคส์, k คือเลขจำนวนเต็ม, p คือ จำนวนพัลส์ และ ขนาดแอมพลิจูดของฮาร์โมนิคส์จะมีความสัมพันธ์เป็นส่วนกลับของอันดับ คือ ยิ่งอันดับต่ำค่าแอมพลิจูดก็จะมาก ซึ่งก็คือ ค่าฮาร์โมนิคส์ของเรคตีฟายที่ 12 พัลส์จะน้อยกว่า 6 พัลส์

ลักษณะการทำงานของเรคตีฟายนั้นจะทำงานเป็นทั้งเครื่องอัดไฟ และ ตัวจ่ายไฟให้กับอินเวอร์เตอร์ ซึ่งลักษณะการอัดไฟมีการทำงานง่าย ๆ คือ เรคจูเลชันของแรงดันที่ต้องการควบคุมที่ลักษณะการชาร์จแบบฟลอยท์ (FLOAT) คือ 2.23 V/เซลล์ สำหรับแบตเตอรี่แบบกรด-ตะกั่ว หรือ 1.4 V/เซลล์ สำหรับแบตเตอรี่แบบนิเกิล-แคดเมียม ซึ่งการชาร์จแบบนี้จะทำงานสภาวะปกติทั่วไป และการชาร์จไฟภายหลังจากการจ่ายไฟไปแล้วนั้นก็จะต้องทำการชาร์จจะสูงกว่าแบบฟลอยท์ชาร์จ

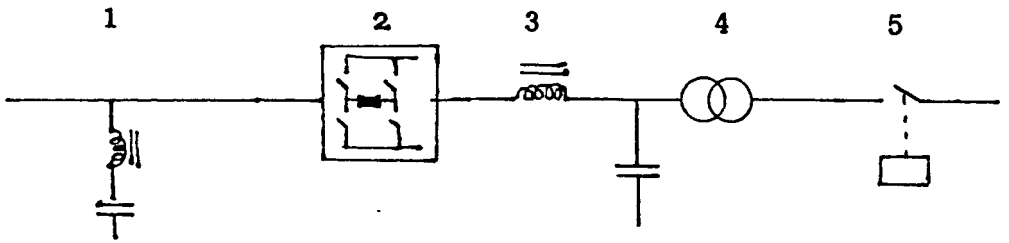
2. อินเวอร์เตอร์ จะเป็นตัวเปลี่ยนแรงดันไฟที่ได้รับจากแบตเตอรี่ หรือ เรคตีฟายให้เป็นแรงดันไฟสลับ ซึ่งแรงดันด้านนอกจะต้องทำให้เป็นแรงดันรูปร่างไซน์ ซึ่งอาจเป็นแบบ 3 เฟส หรือ 1 เฟส ก็ได้โดยมีส่วนประกอบหลัก ๆ คือ

1. วงจรกรองด้านอินพุท
2. วงจรอินเวอร์เตอร์แบบบริดจ์
3. วงจรกรองด้านเอาต์พุท
4. หม้อแปลงทางเอาต์พุท
5. เซอร์คิตเบรกเกอร์ หรือ คอนแทคแม่เหล็ก

ซึ่งวงจรทางด้านอินพุทจะเป็นตัวจำกัดการเกิดริบเปิล การเกิดริบเปิลที่ป้อนกลับไปยังแบตเตอรี่ หรือ วงจรทางด้านอินพุท และวงจรอินเวอร์เตอร์แบบบริดจ์นั้นจะเป็นตัวเปลี่ยนแรงดันไฟตรงเป็นแรงดันไฟสลับ โดยมักจะใช้พวก SCR เป็นอุปกรณ์สวิตช์งานขนาดพิกัดใหญ่ ๆ และใช้ทรานซิสเตอร์กำลัง เป็นอุปกรณ์สวิตช์งานขนาดพิกัดเล็กลงมา ซึ่งเอาต์พุทที่ออกมาจะผ่านวงจรกรองทางด้านเอาต์พุท ซึ่งจะเป็นตัวลดฮาร์โมนิคส์ให้ได้อเอาต์พุทออกมาเป็นคลื่นรูปร่างไซน์จริง ๆ โดยมีหม้อแปลงทางเอาต์พุทเป็นตัวแยกไหลออกจากแบตเตอรี่ และวงจรอินเวอร์เตอร์ พร้อมทั้งยังแปลงระดับแรงดันให้ผู้นาระดับที่ใช้งานอีกด้วย โดยแสดงดังรูปที่ 2.7

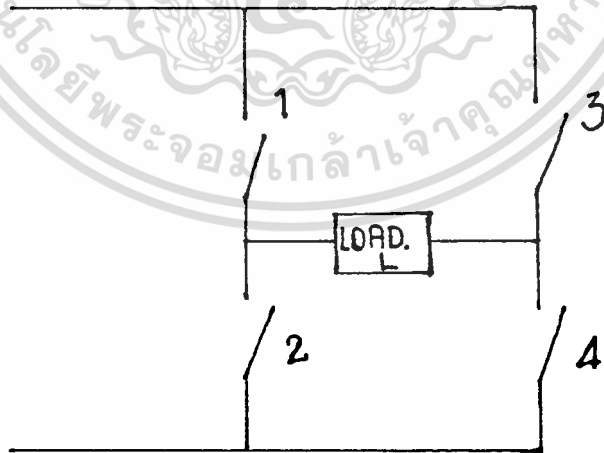
เอกสารนี้เป็นเอกสารที่สงวนไว้สำหรับการใช้งานเพื่อการศึกษาเท่านั้น ไม่อนุญาตให้นำไปใช้ประโยชน์ด้านการค้า

ไม่ว่ากรณีใดๆทั้งสิ้น อีกทั้งห้ามมิให้คัดแปลงเนื้อหา และต้องอ้างอิงถึงเจ้าของเอกสารทุกครั้งที่มีการนำไปใช้

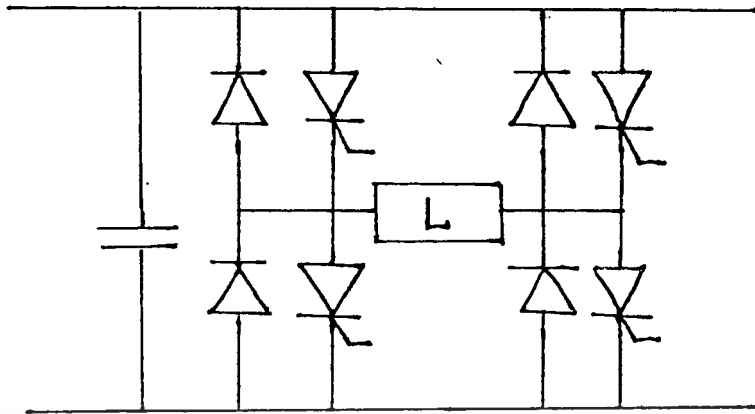


- 1) วงจรกรองทางอินพุท 2) วงจรอินเวอร์เตอร์แบบบริดจ์
 3) วงจรกรองทางเอาต์พุท 4) หม้อแปลง 5) สวิตคอนแทคแม่เหล็ก

ซึ่งแรงดันไฟสลับทางด้านเอาต์พุทจะเกิดการสวิงกลับขั้วมาของขั้วบวก และขั้วลบของแบตเตอรี่ ซึ่งตามรูปที่ 2.8 แสดงถึงวงจรอินเวอร์เตอร์แบบ 1 เฟส ที่ใช้สวิตแบบกล(พื้นฐาน) ซึ่งงานความจริงแล้วไม่นิยมใช้กัน เพราะเกี่ยวกับความถี่และอายุการใช้งานของสวิต แต่จะใช้อุปกรณ์พวกเซมิคอนดักเตอร์แทน ซึ่งได้แก่ พวกอิเล็กทรอนิกส์ทั้งหลาย แสดงจากรูป ปรากฏคลื่นของแรงดันไฟฟ้าที่เทอร์มินัลด้านเอาต์พุทเกิดจากการเลือกคู่สวิตโดยมีไดโอดคอยทาคหน้าที่เป็นคอมมิวเตตติ้งไดโอด(COMMUTATING DIODE) เพื่อคอยนากระแสให้กับโหลดที่เป็นพวกโหลดความเหนียวนา(INDUCTIVE LOAD) ซึ่งการใส่คาปาซิเตอร์เข้าไปด้วยรูปที่ 2.9 นั้นก็เพื่อทำให้ค่าอิมพีแดนซ์ของแหล่งจ่ายนั้นน้อยลง



รูปที่ 2.8

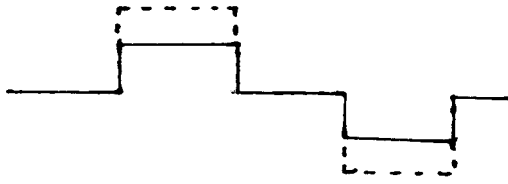


รูปที่ 2.9

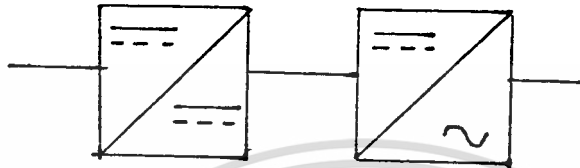
ซึ่งถ้าเป็นกรณีที่เลือกใช้อุปกรณ์สวิตเป็นพวกSCR ก็จำเป็นต้องมีวงจรคอมมิวเตชัน เพื่อทำให้ SCR หยุดนำกระแสโดยการสร้างแรงดันกลับข้ามไปตกคร่อม SCR หรืออาจใช้วิธี GTO (GATE TURN THYRISTOR) โดยการนำกระแสเกทกลับทางซึ่งเป็นวิธีการหยุดนำกระแสอย่างหนึ่ง

เพื่อชดเชยแรงดันของแบตเตอรี่ที่เปลี่ยนแปลงไปเนื่องจากการจ่ายกระแสและค่าของแรงดันตก ที่เกิดจากการเปลี่ยนแปลงของกระแสไหล เพื่อต้องการรักษาระดับแรงดันให้คงที่ จึงต้องมีอุปกรณ์ที่จะเข้ามาช่วยควบคุมให้ระดับแรงดันนั้นคงที่ ซึ่งก็มีอยู่หลายวิธี ดังนี้

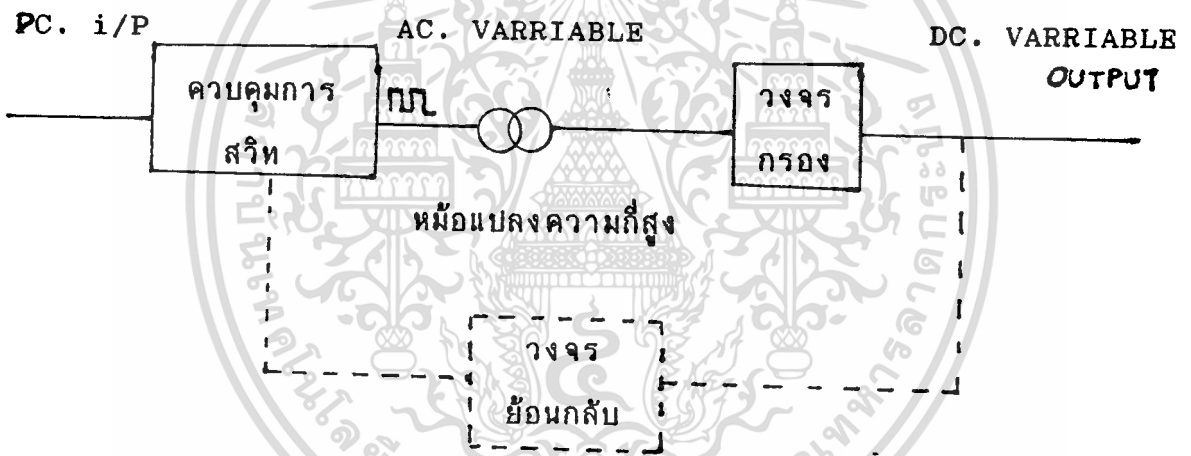
ก) การควบคุมระดับแรงดันโดยตรงที่จะเข้าอินเวอร์เตอร์ให้เปลี่ยนแปลงได้ โดยมักจะใช้วิธีการพวกชอปเปอร์ (CHOPPER) หรือไม่ก็ใช้วิธีสวิตชิงเพาเวอร์ซัพพลาย (SWITCHING POWER SUPPLY) เข้ามาเปลี่ยนแรงดัน โดยการเปลี่ยนค่าแรงดันเฉลี่ย เพราะลักษณะการเกิดชอปเปอร์ หรือการสวิตชิงเพาเวอร์ซัพพลายจะมีการตัดแรงดันโดยตรงเป็นลูกคลื่น แล้วแรงดันโดยตรงก็คือ ค่าเฉลี่ยของแรงดันที่เกิดจากการตัด ซึ่งแสดงดังรูปที่ 2.10 ในกรณีที่แรงดันไฟดีจันเอาท์พุทของอินเวอร์เตอร์ตกลงซึ่งต้องการแรงดันด้านอินพุทสูงขึ้น วงจรชอปเปอร์หรือสวิตชิงเพาเวอร์ซัพพลายก็จะเป็นตัวเปลี่ยนระดับแรงดันโดยตรงด้านอินพุทของอินเวอร์เตอร์ให้สูงขึ้น โดยการเปลี่ยนความกว้างของพัลส์ ซึ่งก็จะทำให้แรงดันด้านเอาท์พุทของอินเวอร์เตอร์สูงขึ้น ซึ่งอาจแสดงได้ดังรูปที่ 2.11 และรูปที่ 2.12



รูปที่ 2.10

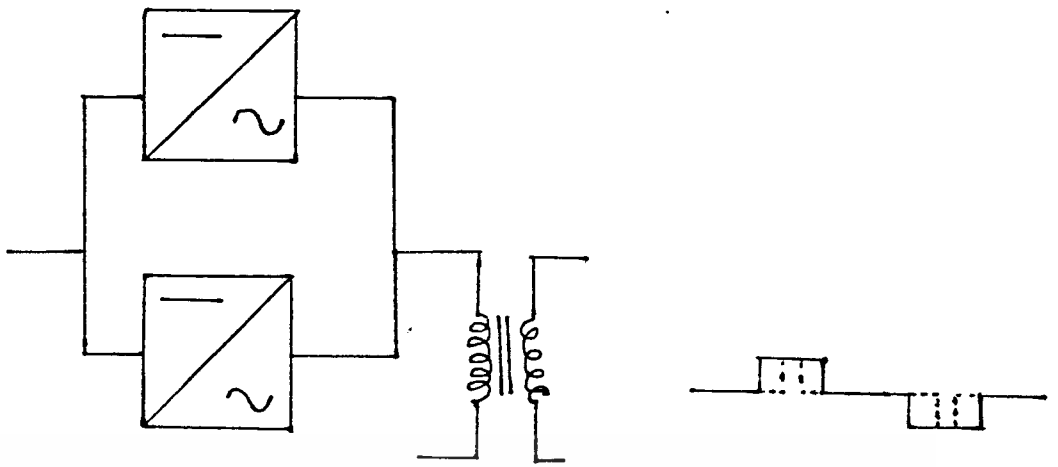


รูปที่ 2.11 โดอะแกรมของ CHOPPER



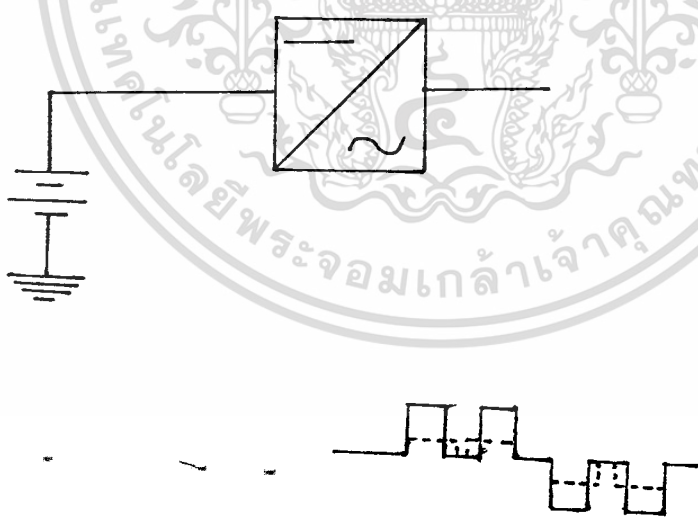
รูปที่ 2.12 โดอะแกรมของสวิตชิงเพาเวอร์ซีพหลาย

ข) การเปลี่ยนแปลงเฟส (PHASE DISPLACEMENT) ระหว่างอินเวอร์เตอร์ 2 ตัว โดยการควบคุมความกว้างพัลส์ของแรงดันด้านเอาต์พุตที่แสดงดังรูปที่ 2.13 ซึ่งลักษณะการเพิ่มขึ้นของแรงดันทางด้านเอาต์พุตนั้น เกิดจากการรวมกันของแรงดันเอาต์พุตของแต่ละวงจร โดยที่แรงดันกระแสตรงที่จ่ายให้กับอินเวอร์เตอร์ยังคงที่อยู่ โดยค่าความถี่ของแรงดันทางด้านเอาต์พุตยังคงที่อยู่



รูปที่ 2.13 การควบคุมแบบ PHASE DISPLACEMENT

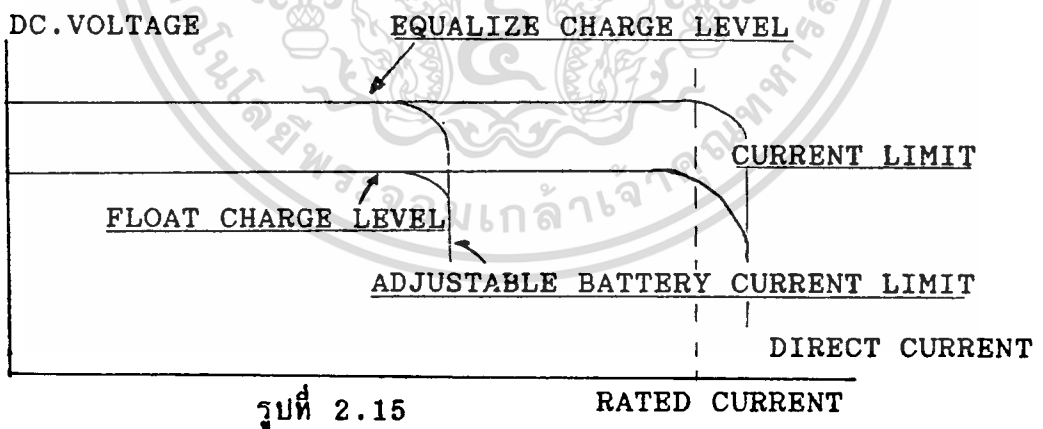
ค) แบบ PWM (PULSE WIDTH MODULATION) ซึ่งค่าแรงดันจะเปลี่ยนแปลงไปโดยขึ้นกับการเปลี่ยนความกว้างของพัลส์ที่เกิดขึ้นหลายพัลส์ใน 1 ไซเคิล ทั้งนี้ขึ้นอยู่กับอัตราส่วนของการมอดูเลชัน (MODULATION) หรือ m_r ซึ่งการควบคุมแบบนี้มาใช้ในการเปลี่ยนแปลงอัตราส่วนของการมอดูเลชัน แต่จะไปเพิ่มหรือลดความกว้างของพัลส์ ซึ่งแสดงไว้ดังรูปที่ 2.14



รูปที่ 2.14 การควบคุมแบบ PWM

ผลดีของการควบคุมแต่ละแบบก็มีอยู่ คือ แบบ ก) ถัดดับฮาร์โมนิกส์ที่ออกมาจะไม่เปลี่ยนแปลง เพราะเป็นการเพิ่มของแรงดันไฟตรงโดยที่ความกว้างของพัลส์ไม่เปลี่ยนแปลง ซึ่งก็คือแอมพลิจูดของฮาร์โมนิกส์ก็จะเปลี่ยนไป แต่ถัดดับที่ออกมาไม่เปลี่ยนแปลง ซึ่งก็ผิดกับวิธีที่ 2 และ 3 ซึ่งถัดดับของฮาร์โมนิกส์ที่ปนออกมาจะเปลี่ยนไปด้วย ซึ่งขึ้นอยู่กับ การควบคุม

3. กลุ่มของแบตเตอรี่ จะเป็นส่วนที่ทาหน้าทีสะสมพลังงานในรูปแบบของเคมีแล้วจ่ายออกมาในรูปแบบของพลังงานไฟฟ้า ซึ่งแบบที่นิยมใช้กันก็คือ แบตเตอรี่แบบตะกั่ว-กรด (LEAD-ACID) ซึ่งมักจะพบเห็นทั่วไปในชีวิตประจำวันก็คือแบตเตอรี่ที่ใส่กับรถยนต์ทั่วไป อีกแบบก็คือ แบตเตอรี่แบบนิเกิล-แคดเมียม (Ni-Cd) ซึ่งจะต่างกันอยู่ตรงแรงดันไฟฟ้าต่อเซลล์คือแบบ Pb-ACID จะให้แรงดันประมาณ 2.2V/ เซลล์ แต่แบบ Ni-Cd จะให้แรงดันประมาณ 1.4V/เซลล์ ดังที่กล่าวมาแล้วคือ ลักษณะการชาร์จแบตเตอรี่มีอยู่ 2 ลักษณะคือ โวลท์ชาร์จ และ อีควอลไรซ์ชาร์จ ซึ่งระดับแรงดันก็จะต่างกัน โดยที่โวลท์ชาร์จจะเป็นการชาร์จทั่วไปตามปกติเช่น แบตเตอรี่แรงดัน 48 V ก็จะมีโวลท์ชาร์จที่แรงดันประมาณ 51.6 V ส่วนการอีควอลไรซ์ชาร์จนั้นจะใช้แรงดันที่สูงกว่า คือประมาณ 54 V ซึ่งลักษณะการชาร์จทั้ง 2 จะแตกต่างกัน คือ อีควอลไรซ์ชาร์จจะต้องการภายหลังจากการดิสชาร์จจ่ายไฟให้กับโหลดไปแล้ว ดังนั้นเพื่อเป็นการประหยัดระยะเวลาในการชาร์จ จึงต้องชาร์จที่ระดับแรงดันสูงกว่าปกติ ซึ่งลักษณะการชาร์จจะแสดงดังรูปที่ 2.15

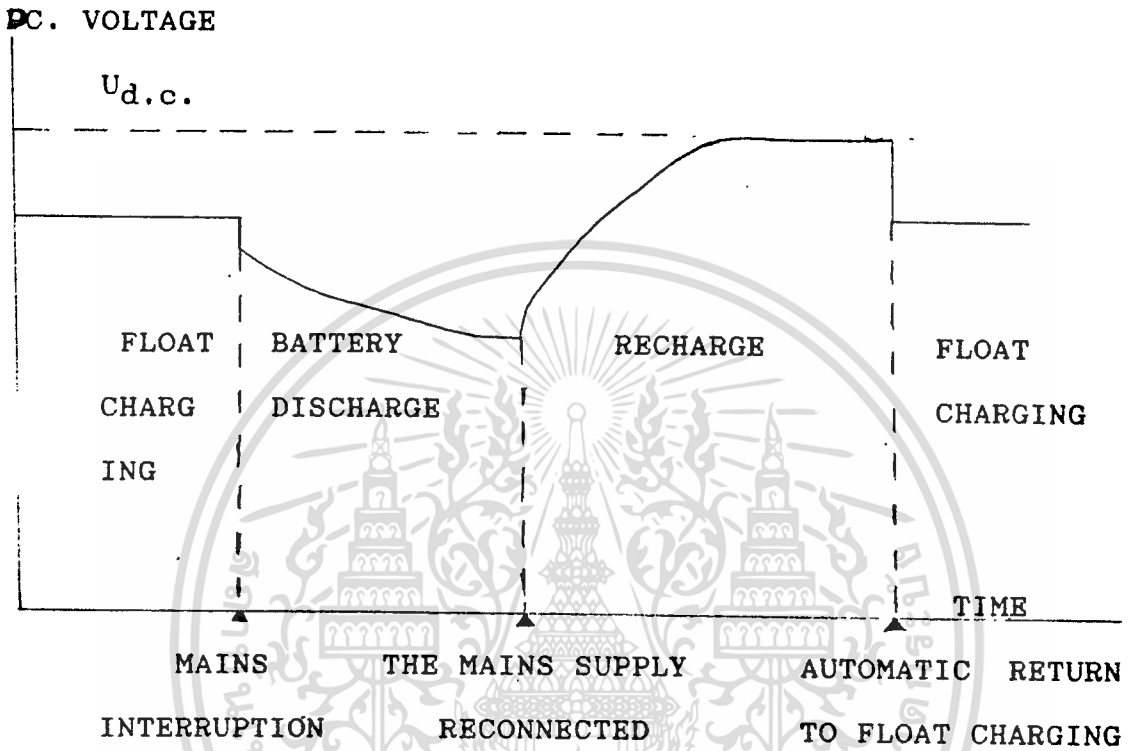


รูปที่ 2.15

RATED CURRENT

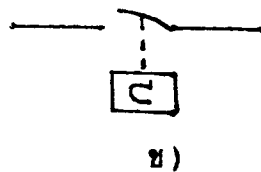
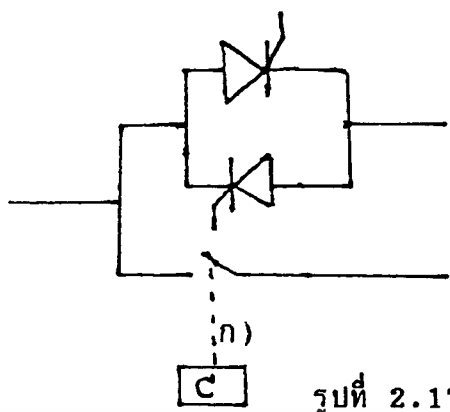
โดยที่อันตรายที่จะเกิดกับแบตเตอรี่ก็เช่น การชาร์จเกิน (กระแสเกิน) ดังนั้นภายในตัวเรคติไฟายจึงต้องมีตัวจำกัดกระแสโดยจะไหลระดับแรงดันไฟฟ้าถ้ากระแสเกิน แต่ในขณะที่เกิดไฟดับแล้วแบตเตอรี่จ่ายกระแสให้กับโหลด ค่าศักย์ไฟฟ้าที่ขั้วของแบตเตอรี่

จะค่อย ๆ ลดลง ซึ่งถ้าต้องการแรงดันเอาต์พุตที่คงที่ ก็จะต้องอาศัยอุปกรณ์ควบคุมแรงดันเป็นตัวช่วย ซึ่งลักษณะวัฏจักรของการชาร์จและดิสชาร์จจะแสดงไว้ดังรูปที่ 2.16 ซึ่งถึงค่าระดับแรงดันโดยตรงกับเวลาที่เข้าไปในสภาวะการต่าง



รูปที่ 2.16 แสดงลักษณะต่าง ๆ ของแบตเตอรี่

4. บายพาสสวิตหรือทรานเฟอร์สวิต ลักษณะของสวิตอาจเป็นคอนแทคแม่เหล็กหรือแบบอิเล็กทรอนิกส์ (SCR) โดยที่พวก SCR จะเป็นตัวควบคุมการปิดเปิดทางเดินกระแสไฟฟ้า ซึ่งทำงานได้งาย รวดเร็ว และมีประสิทธิภาพสูงกว่า เนื่องจากมีความเร็วสูง ดังนั้นเมื่อเกิดเหตุการณ์ผิดปกติขึ้นมาแล้ว สวิตอิเล็กทรอนิกส์จะไม่มีการขาดตอน โดยจะทำงานทันทีที่เกิดเหตุการณ์ผิดปกติขึ้นที่ส่วนต่าง ๆ ของ UPS ซึ่งลักษณะของวงจรก็จะเป็นตามรูป 12.7 ก) โดยที่จะมีสวิตต่อร่วมด้วย



รูปที่ 2.17

ส่วนอีกแบบนั้นจะใช้สวิตช์แบบกลอย่างเดี่ยว เช่น พวกคอนแทคแม่เหล็ก ดังรูปที่ 2.17ข) ซึ่งสวิตช์ประเภทนี้จะทำงาน โดยอาศัยคุณสมบัติของแม่เหล็กไฟฟ้าเป็น ตัวหน่วงที่จะเปิดปิด

วงจรเมื่อเกิดการผิดปกติของ UPS แต่การทำงานจะช้ากว่าแบบอิเล็กทรอนิกส์มาก แต่ทว่า มีความหน่วงสูงกว่าแบบอิเล็กทรอนิกส์ คือ หน้อเวอ์โรลตได้นานกว่า

ซึ่งการทำงานของบายพาสสวิตช์จะเกิดขึ้น เช่น านสภาวะที่การทำงานของอิน-เวอ์โรตเตอร์ไม่เข้ากับระบบไฟฟ้า (SYNCRONIZED กับ SYSTEM) อุปกรณ์พวกเรคตีฟายอินเวอ์โรตเตอร์เสียหรือเกิดความถี่ผิดเพี้ยน ซึ่งการที่บายพาสสวิตช์จะทำงานนั้นขึ้นอยู่กับค่าจำกัดที่ติดตั้งไว้ในการตรวจจับ ซึ่งเมื่อเกินกว่าค่าที่ยอมรับได้นั้น โรลตก็จะถูกย้ายจากการจ่ายด้วย UPS ไปต่อเข้าโดยตรงกับสายหลัก (MAIN LINE)

นอกจากนี้เมื่อการผิดปกติได้หายไปแล้ว ทรานเฟอร์สวิตช์ก็ต้องตัดวงจรกลับคืนให้ UPS เป็นตัวจ่ายไฟให้กับโหลด

บทที่ 3

แบตเตอรี่

แบตเตอรี่ เป็นแหล่งสะสมพลังงานทางไฟฟ้าชนิดหนึ่ง ซึ่งจะจ่ายพลังงานออกมาในรูปไฟฟ้ากระแสตรง แบตเตอรี่ในความหมายทางไฟฟ้าจะต้องประกอบด้วยเซลล์ที่นำมาต่ออนุกรมกัน

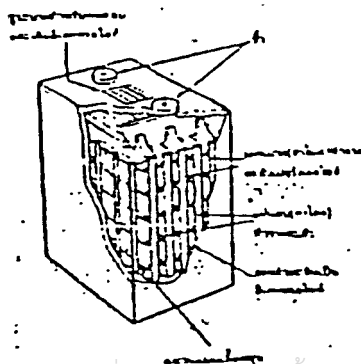
เซลล์ของแบตเตอรี่แบ่งได้เป็น

1. เซลล์ปฐมภูมิ (PRIMARY CELL) เซลล์ชนิดนี้เมื่อสร้างเสร็จก็สามารถนำไปใช้งานได้ทันที และเมื่อนำไปใช้แล้วพลังงานไฟฟ้าที่จ่ายออกมาก็จะหมดไป จะไม่สามารถนำเซลล์นี้ออกมาใช้ได้อีก

2. เซลล์ทุติยภูมิ (SECONDARY CELL) เซลล์ชนิดนี้เมื่อสร้างขึ้นมาแล้วจะต้องนำไปทำการประจุไฟฟ้าหรือชาร์จไฟเสียก่อน จึงจะจ่ายกระแสไฟออกมาได้ และเมื่อใช้กระแสไฟฟ้าไป (DISCHARGE) จนกระทั่งกระแสอ่อนลง ก็สามารถนำไปประจุไฟใหม่เพื่อนำไปใช้ได้อีก

จากคุณสมบัติของเซลล์ทุติยภูมิที่กล่าวมาว่า เมื่อเซลล์ถูกใช้จนไฟหมดแล้วสามารถจะนำไปประจุไฟใหม่เพื่อจะนำใช้ต่อไป ด้วยคุณสมบัติอันนี้ เราจึงนำเซลล์ของแบตเตอรี่ชนิดทุติยภูมิมาใช้เป็นแหล่งจ่ายไฟกระแสตรงให้กับบางจรภาค INVERTER ได้

เซลล์ทุติยภูมิที่จะใช้เป็นเซลล์แบบตะกั่ว-กรด (LEAD-ACID) ซึ่งใช้ทั่วไปในรถยนต์ ดังแสดงในรูป 3.1

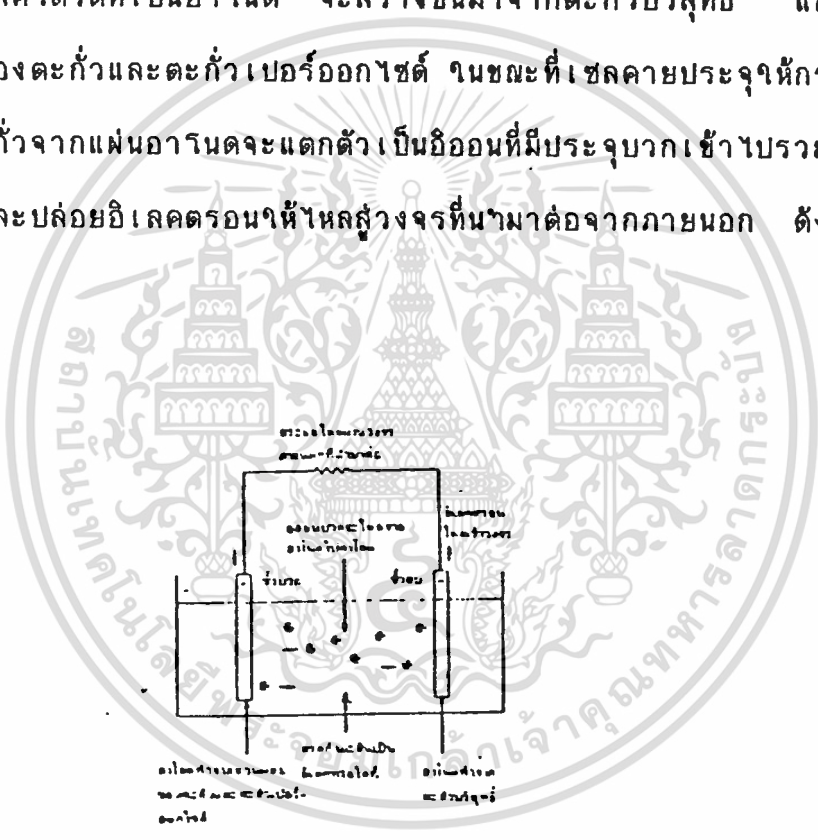


เอกสารนี้เป็นเอกสารที่สงวนไว้สำหรับการใช้งานเพื่อการศึกษาเท่านั้น ไม่อนุญาตให้นำไปใช้ประโยชน์ด้านการค้า
ไม่ว่ากรณีใดๆทั้งสิ้น อีกรูปที่ 3.1 แสดงโครงสร้างของเซลล์แบบตะกั่ว-กรดครั้งที่มีการนำไปใช้

เซลล์แบบตะกั่ว-กรด จะประกอบไปด้วยแผ่นคาร์บอนและแผ่นอาร์โนดวางสลับกัน โดยจะจุ่มอยู่ในสารอิเล็กโทรไลต์ ซึ่งทำมาจากสารละลายกรดกำมะถัน แผ่นเพลทจะวางสลับกันเพื่อจะได้มีพื้นที่ผิวสัมผัสกับสารอิเล็กโทรไลต์ได้มาก โดยที่มีปริมาตรน้อยที่สุดเท่าที่จะเป็นไปได้ และการที่มีพื้นที่ผิวสัมผัสระหว่างแผ่นอิเล็กโทรด และ สารอิเล็กโทรไลต์มากเท่าไร ปฏิริยาเคมีที่จะเกิดก็มากขึ้นเท่านั้น นอกจากนี้ค่าความต้านทานภายในเซลล์ก็จะมีค่าน้อยลงด้วย ดังนั้นเราจึงใช้แบบที่เป็นแผ่นบาง ๆ และคั้นด้วยฉนวนแบบมีรูพรุน

อิเล็กโทรดที่เป็นอาร์โนด จะสร้างขึ้นมาจากตะกั่วบริสุทธิ์ และคาร์บอนจะสร้างจากส่วนผสมของตะกั่วและตะกั่วเปอร์ออกไซด์ ในขณะที่เซลล์คายประจุห้กระแสไฟฟ้าออกมา อะตอมของตะกั่วจากแผ่นอาร์โนดจะแตกตัว เป็นอิออนที่มีประจุบวกเข้าไปรวมอยู่ในสารอิเล็กโทรไลต์ และปล่อยอิเล็กตรอนให้ไหลสู่วงจรที่นำมาต่อจากภายนอก ดังแสดงในรูปที่

3.2

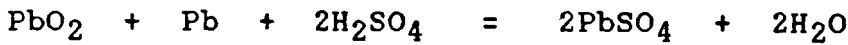


รูปที่ 3.2

ที่คาร์บอน ตะกั่ว เปอร์ออกไซด์จะแตกตัว เป็นอิออนของตะกั่ว ซึ่งจะมีทั้งอิออนประจุบวกและอิออนประจุลบ อิออนที่มีประจุบวกจะดึงเอาอิเล็กตรอนจากวงจรจากภายนอกมารวมตัวกลายเป็นอิออนของตะกั่วที่มีประจุบวก ซึ่งเป็นชนิดเดียวกับที่อาร์โนด หากให้กระแสไหลจากคาร์บอนไปยังวงจรภายนอก ไม่ว่าจะเกิดอิออนของตะกั่วจากแผ่นอิเล็กโทรดทั้งสอง ก็จะทำปฏิกิริยากับกรดกำมะถันซึ่งเป็น

อิเล็กโตรไลต์ กลายเป็นตะกั่วซัลเฟตและกาซไฮโดรเจน (ซึ่งจะรวมกับอิออนของออก-
-ซิเจนจากคาโรตกลายเป็นน้ำ)

เราสามารถเขียนสูตรของปฏิกิริยาเคมีที่เกิดขึ้นได้ดังนี้



ซึ่งแสดงว่าปฏิกิริยานี้เป็นปฏิกิริยาที่ผันกลับได้ ดังนั้นจึงสามารถที่จะประจุเซลล์
ใหม่ได้ โดยการต่อวงจรซึ่งจะจับอิเล็กตรอนที่ไหลจากคาโรตกลับไปสู่อานด

สูตรทางเคมีแสดงให้เห็นว่าสารละลายอิเล็กโตรไลต์จะเจือจางลง โดยโมเลกุล
ของน้ำที่เกิดขึ้น ซึ่งเป็นขณะเดียวกับที่เซลล์คายประจุ ทำให้เราสามารถใช้เป็นวิธีหาสถานะ
การประจุและการคายประจุของเซลล์ได้ โดยวัดความต่างศักย์ของอิเล็กโตรไลต์ ซึ่ง
จะบอกว่าเซลล์จะถึงสถานะที่คายประจุจนหมดหรือยัง เพื่อที่จะได้ทำการประจุไฟเข้า
ใหม่ โดยค่าความต่างศักย์ของเซลล์ที่มีประจุเต็มที่จะมีค่าประมาณ 1.25 และค่าความ
ต่างศักย์ของเซลล์ที่คายประจุจนหมดจะมีค่าประมาณ 1.2 โดยเราจะใช้ไฮโดรมิเตอร์
ในการวัดแรงดันของเซลล์ซึ่งโดยปกติมีค่าเท่ากับ 2 โวลต์

การประจุเซลล์แบบตะกั่ว-กรด โดยการป้อนกระแสกลับทางเข้าขั้วลบแต่เดอรี
เพื่อบังคับให้ปฏิกิริยาเคมีเกิดขึ้น โดยจะเกิดจากทางขั้วลบไปทางขั้วลบ ซึ่งจะเปลี่ยน
ตะกั่วซัลเฟตให้กลับเป็นตะกั่วและกรดกำมะถันตามเดิม วิธีการป้อนกระแสกลับทางทำได้โดย
การต่อคาโรตและอานดเข้ากับขั้วบวกและขั้วลบของแหล่งจ่ายไฟภายนอก ซึ่งจะมีแรงดัน
ของแหล่งจ่ายไฟภายนอกอยู่ในช่วง 1.1-1.25 ของแรงดันเซลล์ปกติ

กระแสที่ป้อนเข้าขั้วลบเมื่อประจุไฟหมดนั้นจะขึ้นอยู่กับแรงดันที่ป้อนเข้าขั้วลบ นอกจากนี้
ยังขึ้นอยู่กับสถานะของเซลล์อีกด้วยว่าคายประจุหรือยัง ถ้าแรงดันที่ป้อนเข้าขั้วลบมีค่าสูง
และเซลล์คายประจุหมดเต็มที่แล้ว ก็จะหาให้กระแสที่ไหลเข้าประจุเซลล์มีค่ามากตามไปด้วย
หรือถ้าเซลล์ถูกชาร์จแบบเป็นวงรอบ คือจากสถานะประจุเต็มไปสู่สถานะหมดประจุเต็มที่แล้ว
จึงค่อยประจุใหม่อีกครั้งหนึ่ง ในการประจุจะใช้กระแสมาก แต่ถ้าเซลล์ถูกใช้งานพร้อมกับ
ประจุไฟเข้าตลอดเวลาก็จะหาให้กระแสที่ใช้งานการประจุจะมีค่าต่ำของเอกสารทุกครั้งที่มีการนำไปใช้

วงจรที่ใช้งานการประจุแบตเตอรี่แบบตะกั่ว-กรดจะแสดงดังรูป 3.3ก



รูปที่ 3.3ก

รูปที่ 3.3ข

ซึ่งแสดงให้เห็นแหล่งจ่ายไฟที่มีแรงดันคงที่ต่ออยู่กับแบตเตอรี่ วงจรสมมูลย์ของรูป 3.3ก จะแสดงให้เห็นในรูป 3.3ข ซึ่งเราจะเห็นได้ว่า แบตเตอรี่จะเปรียบเสมือนว่าประกอบด้วยตัวต้านทาน 2 ตัว โดย R_1 เป็นความต้านทานภายในของแบตเตอรี่ ไม่ว่า จะกำลังประจุหรือคายประจุอยู่ ส่วนตัวต้านทาน R_2 จะมีค่าเปลี่ยนแปลงโดยจะขึ้นอยู่กับสถานะการหมดประจุของแบตเตอรี่ เมื่อแบตเตอรี่คายประจุหมดเต็มที่ ค่าความต้านทานตัวนี้จะมีค่าต่ำ ดังนั้นกระแสการประจุจึงมีค่าสูง อย่างไรก็ตามเมื่อแบตเตอรี่ใกล้ประจุเต็มที่แล้ว ค่าความต้านทาน R_2 จะมีค่าสูงขึ้นทำให้กระแสที่ใช้งานการประจุลดลง เราจะสามารถตรวจสอบสถานะของแบตเตอรี่ได้ โดยสังเกตค่าของกระแสที่ใช้งานการประจุ ซึ่ง จะใช้ได้ก็ต่อเมื่อแรงดันที่ใช้งานการประจุมีค่าคงที่

งานส่วนของวงจรอัดประจุแบตเตอรี่จึงเป็นส่วนที่จำเป็นมากสำหรับ UPS เพราะ LOAD จะใช้กระแสจากแบตเตอรี่ตลอดเวลา นั่นย่อมทำให้โวลเตจของแบตเตอรี่ลดลงเมื่อ ไรลดใช้กระแสมากหรือเป็นเวลานาน เราจึงต้องใช้งานการอัดประจุแบตเตอรี่เพื่อที่จะให้ได้ โวลเตจมีค่าตามต้องการ

หลักการ

งานเครื่องอัดประจุแบตเตอรี่โดยทั่วไปจะมีหลักการใหญ่ ๆ อยู่ 3 ประการคือ ๑. ชี้อัดด้วยแรงดันคงที่ ๒. กระแสคงที่ หรืออัดเป็นจังหวะ หรืออาจจะใช้หลายอย่างผสมกันก็ได้ จากวงจรที่เราออกแบบนี้จะใช้หลักการอัดประจุให้แบตเตอรี่ขนาด 12 โวลต์ โดยจะแบ่งช่วงการอัดประจุออกเป็น 3 ช่วง

งานช่วงแรกของการอัดประจุจะเป็นช่วงซึ่งแบตเตอรี่ถูกใช้งานจนหมดเกลี้ยง จะถูกกำหนดให้อัดประจุด้วยกระแสค่อนข้างน้อย คือมีค่าประมาณ 5% ของค่าแอมแปร์-ชม (Ampere-Hour เป็นค่าความจุสการงานของแบตเตอรี่ว่ามากน้อยเพียงใด) เท่านั้น เพราะว่าเวลาที่เครื่องอัดแบตเตอรี่ยิ่งจ่ายกระแสมากในขณะที่แบตเตอรี่มีแรงดันน้อย กำลังที่สูญเสียไปบนทรานซิสเตอร์งานเครื่องอัดแบตเตอรี่จะยิ่งสูงมาก จึงเป็นการเพิ่มขนาดทนกำลังของทรานซิสเตอร์โดยไม่จำเป็น แรงดันของแบตเตอรี่ในช่วงนี้ จะถูกกำหนดไว้ตั้งแต่ 0-10 โวลต์ และงานทันทีที่แรงดันของแบตเตอรี่มีค่าเพิ่มขึ้นถึง 10 โวลต์ การอัดประจุก็จะเข้าสู่ในช่วงที่สองทันที ซึ่งงานช่วงที่สองของการอัดประจุนี้ จะมีการเพิ่มอัตราการอัดขึ้นทันทีด้วยกระแสที่มีค่าเป็น 20% ของค่าแอมแปร์-ชั่วโมง เมื่อแรงดันของแบตเตอรี่เพิ่มขึ้นไปอีกจนถึง 14.4 โวลต์ (หรือใกล้เคียง) กระแสที่อัดอยู่จะตกลงไปทันที เนื่องจากถือว่าแบตเตอรี่มีค่าเต็มที่แล้ว จึงนับเป็นช่วงที่สามของการอัดประจุ แต่ในช่วงที่สามนี้ก็ยังไม่เลิกอัดประจุเสียทีเดียว เพียงแต่จะอัดค่าน้อย ๆ เท่านั้น และจะค่อย ๆ ลดลงจนกระทั่งเป็นศูนย์เมื่อแรงดันของแบตเตอรี่ขึ้นถึงประมาณ 16.5 โวลต์

บทที่ 4

วงจรอินเวอร์ตเตอร์

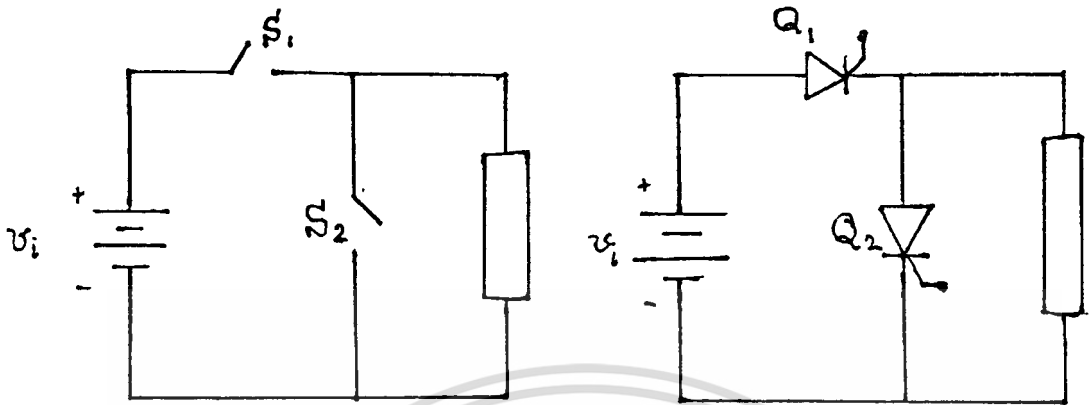
วงจรอินเวอร์ตเตอร์ คือ วงจรที่ทำหน้าที่แปลงพลังงานไฟฟ้าจากไฟตรง (D.C.) ไปเป็นไฟสลับ (A.C.) และสามารถปรับแรงดัน , ความถี่ของไฟสลับได้ การนำวงจรอินเวอร์ตเตอร์ไปประยุกต์ใช้งานได้มีมากมาย ดังตัวอย่าง

- แหล่งจ่ายไฟสลับสำรอง
- แหล่งจ่ายไฟที่ไม่เคยขัดข้อง
- Motor Drive
- Induction Heating

เพื่อประสิทธิภาพในการแปลงพลังงาน การทำงานของอินเวอร์ตเตอร์จะเป็นลักษณะการ switching มีช่แบบเชิงเส้น (linear) ดังนั้นรูปคลื่นของแรงดันไฟสลับมักจะมีลักษณะสี่เหลี่ยมหรือลักษณะอื่นที่ไม่ใช่ช่ชายนี่ (ยกเว้นจะมีการกรอง เพื่อปรับสัณฐานรูปคลื่นให้เกือบเป็นช่ชายนี่) ในลักษณะของการขับนามอเตอร์ จะมีลักษณะการพิจารณามุมจุดชนวน แต่ในแหล่งจ่ายไฟสลับจะใส่วงจรกรองความถี่ (filter) โดยอินเวอร์ตเตอร์จะมีอุปกรณ์หลักคือ อุปกรณ์ switching อาจเป็น Thyristor หรือ Transistor ก็ได้ ในการเลือกใช้งาน Thyristor จะทนกำลังได้สูงกว่าแต่ทำงานที่ความถี่สูงไม่ดี (มากกว่า 10 Mhz) และหยุดนำกระแสได้ยากกว่า

โครงสร้างของอินเวอร์ตเตอร์

อินเวอร์ตเตอร์จะประกอบด้วย แหล่งไฟตรงที่เป็นแหล่งแรงดันและแหล่งกระแส (แต่ในโครงการนี้พิจารณาใช้เป็นแหล่งกระแส) , ตัว switching Device และ โหลด ซึ่งการตัดต่อสวิตช์ทำให้เกิดการสลับทิศทางหรือขั้วของกระแสหรือแรงดันที่โหลด ก็คือเกิดการแปลงพลังงานจากไฟตรงเป็นไฟสลับนั่นเอง



รูปที่ 4.1 อินเวอร์เตอร์พื้นฐาน

ดังรูป ลักษณะ Voltage ที่ปรากฏคร่อมโหลดจะเป็นไปตามการ switching ของ S_1, S_2 ซึ่งจะถูกควบคุมจากวงจรควบคุมที่ gate ของตัวสวิตช์ ซึ่งรูปแบบที่นิยมก็ดังเช่น



(ก)



(ข)



(ค)

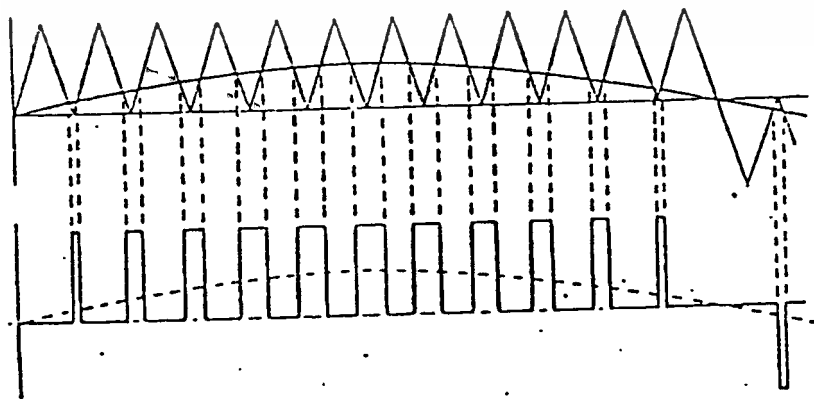
เอกสารนี้เป็นเอกสารที่สงวนไว้สำหรับการใช้งานเพื่อการศึกษาเท่านั้น ไม่อนุญาตให้นำไปใช้ประโยชน์ด้านการค้า ไม่ว่าจะกรณีใดรูปที่ 4.2 ก) แบบ step ข) แบบ quasi ค) แบบ PWM สารทุกครั้งที่มีการนำไปใช้

รูปแบบการสวิตช์แบบต่าง ๆ มีความเหมาะสมแตกต่างกันออกไป คือ แบบควอดร็ (Quasi Square) จะสามารถใช้งานได้เฉพาะโหลดบางอย่าง เพราะเอาต์พุตจะมีความถี่ ฮาร์โมนิกส์อยู่มาก คือมีฮาร์โมนิกส์ที่ 3 และ 5 ออกมา จึงสามารถเข้ากับโหลดพวก Machine แบบขั้น (Step) ทำให้อัตราการสวิตช์ของเอาต์พุตคล้ายกับชานัน้ อดยการใช้การสวิตช์อุปกรณ์ ำให้ได้อัตราการสวิตช์เป็นขั้น ๆ จะเห็นจนวนอินเวอร์เตอร์กำลังสูง (มากกว่า 5 KVA)

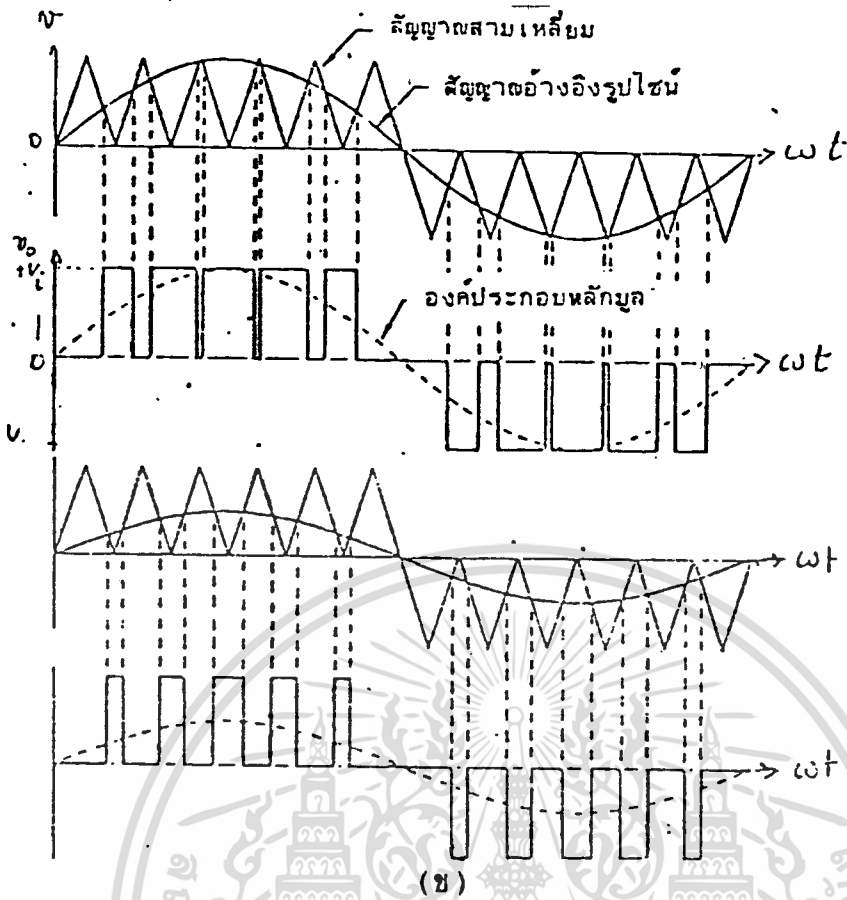
แบบการมอดูเลตแบบตามความกว้าง (Pulse Width Modulation ; PWM) เป็นการสวิตช์ที่มีฮาร์โมนิกส์มาปะบนน้อยที่สุด เกิดจากการนำสัญญาณสามเหลี่ยมมาเปรียบเทียบ (compare) กับสัญญาณชานัน้

งานวิจัยนี้ เลือกใช้รูปแบบการ switching แบบ PWM ก็จะมาพิจารณาที่ PWM ซึ่งจะถูกแบ่งเป็น แบบ 3-Level และ 2-Level

แบบ 3-Level จะให้รูปคลื่นที่มีพัลส์บวกครึ่งวัฏจักร (cycle) และพัลส์ลบครึ่ง วัฏจักร ความกว้างของพัลส์จะไม่คงที่ แต่จะแปรเปลี่ยนไปอย่างเหมาะสม เพื่อำให้ได้องค์ประกอบหลักมูลตามที่ต้องการ อดยที่ฮาร์โมนิกส์มีอยู่น้อย การมอดูเลตแบบนี้มักจะได้ มาโดยการเทียบ (compare) สัญญาณสามเหลี่ยมความถี่สูง เรียกว่า carrier กับสัญญาณ ชานัน้ อ้างอิงที่ความถี่หลักมูล (fundamental)

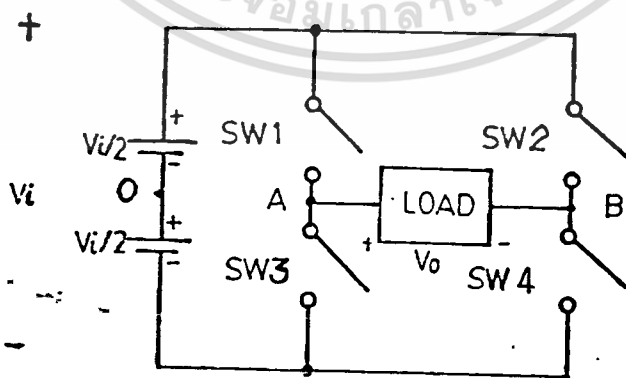


เอกสารนี้เป็นเอกสารที่สงวนไว้สำหรับการใช้งานเพื่อการศึกษาเท่านั้น ไม่อนุญาตให้นำไปใช้ประโยชน์ด้านการค้า ไม่ว่ากรณีใดๆทั้งสิ้น อีกทั้งห้ามมิให้ดัดแปลงแก้ไข (ก) และต้องอ้างอิงถึงเจ้าของเอกสารทุกครั้งที่มีการนำไปใช้



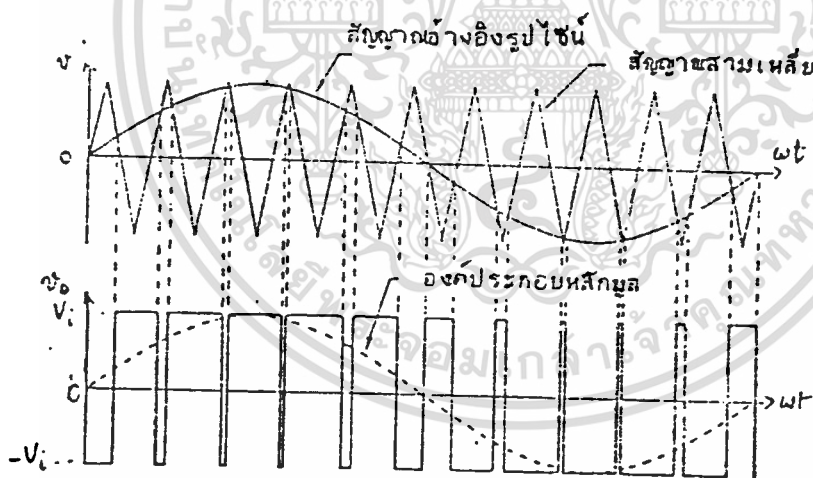
รูปที่ 4.3ก) รูปคลื่น PWM 3-level

ข) รูปคลื่น PWM ที่ยอดของไซน์อ้างอิงเปลี่ยนแปลง



เอกสารนี้เป็นเอกสารที่สงวนไว้สำหรับการใช้งานเพื่อการศึกษาเท่านั้น ไม่อนุญาตให้นำไปใช้ประโยชน์ด้านการค้า
ไม่ว่ากรณีใด รูปที่ 4.4 single phase bridge inverter

การทำงานของ inverter ดังรูปที่แสดงไว้นี้ อาศัยการทำงานของสวิตช์ จะใช้การตัดต่อของ SW_1, SW_4 ในครึ่งวัฏจักรบวก และ SW_2, SW_3 ในครึ่งวัฏจักรลบ การมอดูเลตแบบพัลส์-ชามันชนิด 2-Level จะเป็นการต่อแหล่งไฟโดยตรงक्रम ะหลดสลับไปมาตลอดเวลา ะโดยช่วงที่แรงดันคร่อมไหลดเป็นศูนย์ สามารถทำได้โดย ะให้ SW_1, SW_4 ทำงานพร้อมกัน และ SW_2, SW_3 ทำงานพร้อมกันอีกคู่หนึ่ง ะโดยสวิตช์ทั้งสองคู่ ทำงานแบบประกอบ คือ คู่หนึ่งต่อวงจรในขณะที่อีกคู่ตัดวงจร ะการกำหนดระยะเวลาของการสวิตช์ ะก็ใช้การเทียบระหว่างสัญญาณสามเหลี่ยมกับสัญญาณชามันอ้างอิง ะแต่สัญญาณสามเหลี่ยมที่เป็น carrier ต่างกับของแบบ 3-Level ดังรูป 4.5



รูปที่ 4.5 แสดงการกำหนดการสวิตช์และรูปคลื่นของแรงดันขาออก

งานกรณีการมอดูเลตแบบพัลส์-ชามัน 2-level

เอกสารนี้เป็นเอกสารที่สงวนไว้สำหรับการใช้งานเพื่อการศึกษาเท่านั้น ไม่อนุญาตให้นำไปใช้ประโยชน์ด้านการค้า ไม่ว่าจะกรณีใดๆทั้งสิ้น อีกทั้งห้ามมิให้ดัดแปลงเนื้อหา และต้องอ้างอิงถึงเจ้าของเอกสารทุกครั้งที่มีการนำไปใช้

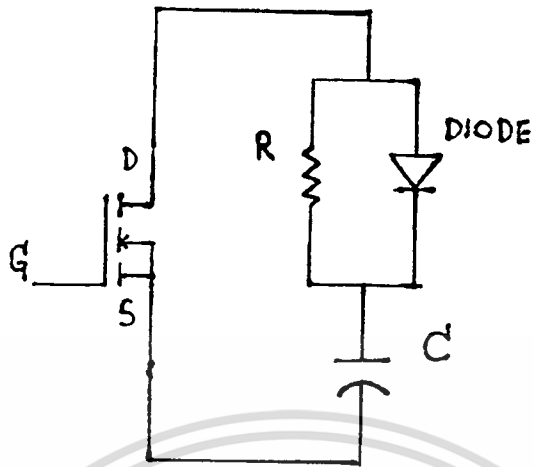
อินเวอร์ตเตอร์ที่ใช้งานในปัจจุบันมีหลายชนิด เช่น แบบ Bridge , Push-Pull

, Mc Murray-Bedford , ๒-ขั้วอินเวอร์ตเตอร์

แต่ในงานวิจัยนี้เป็นแบบ Single-phase Bridge ที่มี Power MOSFET 4 ตัว เป็นสวิตช์ และมีไดโอดเป็น free wheeling ซึ่งความจริงแล้วต้องมีวงจร snubber ช่วยลดการ spike เนื่องจาก dv/dt ขณะเกิดการสวิตช์ ซึ่งแต่ก่อนการทดลองปรากฏ spike น้อย จึงไม่ได้ทำการต่อ

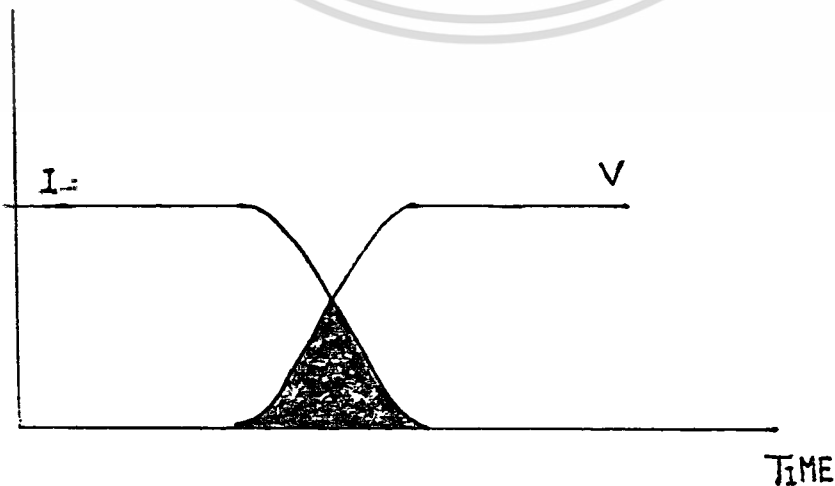
วงจร snubber

วงจร snubber มีหลักการทางานคือ เมื่อเพาเวอร์มอสเฟตเกิดการสวิตช์ จะทำให้มีค่า dv/dt (เป็น Switching loss) ขึ้นมา การแก้ไขก็คือ เพิ่มคาปาซิเตอร์เข้าไปลด dv/dt จะเปลี่ยนรูปของ I เข้าไปชาร์จคาปาซิเตอร์ ซึ่งก็คือการช่วยลดค่า dv/dt นั้นเอง ทั้งนี้ก็จะรวมถึงการเกิดสไปค์ (spike) ด้วย การประจุคาปาซิเตอร์จะดำเนินไปอย่างต่อเนื่อง ในขณะที่เพาเวอร์มอสเฟตยังนำกระแส โดยการประจุผ่านไดโอดแทนการผ่านความต้านทาน และในกรณีที่เพาเวอร์มอสเฟตหยุดนำกระแส จะทำให้คาปาซิเตอร์คายประจุที่ไดโอดเก็บเอาไว้ออกมาในรูปของฟังก์ชันเอ็กซ์โปเนนเชียล (exponential) ทั้งนี้ขึ้นอยู่กับค่าเวลาคงที่ (time constant) ที่สอดคล้องกับการทางาน นอกจากค่าความ-
-ต้านที่จะเป็นตัวกำหนดค่าเวลาคงที่แล้ว ยังมีหน้าที่ช่วยจำกัดกระแสที่ไหลผ่านคาปาซิเตอร์ด้วย โดยค่า R และ C จะขึ้นกับ แรงดันที่ป้อนวงจร และ ขนาดของสไปค์ (dv/dt)



รูปที่ 4.6 วงจร snubber

การออกแบบวงจรสับเบอ์ เรารู้อแล้วว่าเมื่อมอสเฟตนำกระแส ตัวเก็บประจุ C จะทำการชาร์จประจุโดยผ่านไดโอด โดยค่าแรงดันที่ทำการชาร์จคือ $V_{CC} - V_d$ เมื่อมอสเฟตหยุดนำกระแส ตัวเก็บประจุก็จะคายประจุออกมาโดยผ่านตัวต้านทาน ดังนั้นสับเบอ์จะทำหน้าที่คอยรับพลังงานช่วงที่เกิดการสวิตช์ ในการออกแบบจะต้องคำนึงถึงพลังงานในช่วงเวลาหยุดนำกระแส



เอกสารนี้เป็นเอกสารที่สงวนไว้สำหรับการใช้งานรูปที่ 4.7 ไม่อนุญาตให้นำไปใช้ประโยชน์ด้านการค้า ไม่ว่าจะกรณีใดๆทั้งสิ้น อีกทั้งห้ามมิให้ตัดแปลงเนื้อหา 28 จะต้องอ้างอิงถึงเจ้าของเอกสารทุกครั้งที่มีการนำไปใช้

งานพื้นที่แรงแจจะ เป็นพลังงานจลน์ที่เป็นโผลดของตัวเหนี่ยวนำ ซึ่งพลังงานคือ

$$E = 1/2 CV_{ds}^2 = [IdV_{ds} (T_r + T_f)] / 2$$

โดยกำหนด I_d = ค่ากระแสที่ขาเดรนสูงสุด

V_{ds} = ค่าแรงดันระหว่างขา เดรน และ ซอร์ส สูงสุด

T_f = Fall time

T_r = Rise time

ได้ว่า $C = Id (T_r + T_f) / V_{ds}$

โดยมีค่าแรงดันตกคร่อมเป็น

$$V_c = V_{ds} * \exp - (T_{on} / RC)$$

ตัวเก็บประจุจะทำการประจุในช่วงเวลาหยุดนำกระแสได้หมดนั้น เราจะต้องเลือกค่า RC เพื่อทำให้ค่า $\exp - (T_{on} / RC)$ เท่ากับ 1 และในขณะที่เดียวกัน เราก็จะต้องเลือกค่า RC เพื่อที่จะคายประจุหมดในช่วงเวลาที่มอสเฟตนำกระแส เราจะกำหนดให้เวลานั้นคือ 5 เท่าของค่าเวลาคงที่ (time constant, 5T) สำหรับตัวเก็บประจุที่คายประจุให้หมดผ่านความต้านทานนั้น กำหนดเป็น 3 เท่าของค่าเวลาคงที่ (3T)

ดังนั้นจะหาค่าตัวต้านทานนี้ได้

$$R = T_{on} / 3C$$

ค่า R ที่คำนวณได้นี้ต้องนำไปเทียบกับค่ากระแสชาร์จ โดยผ่านมอสเฟตในช่วงเวลาการนำกระแส

$$I_{dis} = V_{Ds} / R$$

ถ้าค่าความต้านทานค่ามากจนกระแสชาร์จมากกว่า 25 % ของกระแสเดรน เราต้องปรับความต้านทาน ให้ให้ค่ากระแสชาร์จมีค่า 25 % ของกระแสเดรน หาค่ากำลังของความต้านทาน

เอกสารนี้เป็นเอกสารที่สงวนไว้สำหรับการใช้งานเพื่อการศึกษาเท่านั้น ไม่อนุญาตให้นำไปใช้ประโยชน์ด้านการค้า

ไม่ว่ากรณีใดๆทั้งสิ้น อีกทั้ง Pr มีให้คือ $1/2 CV_{ds}^2 f$ ต้องอ้างอิงถึงเจ้าของเอกสารทุกครั้งที่มีการนำไปใช้

ลักษณะของฮาร์โมนิกส์จากเครื่องแปลงผันกำลังแบบสถิต

เครื่องแปลงผันกำลังแบบสถิต (static power converter) เป็นอุปกรณ์ทางอิเล็กทรอนิกส์กำลัง (power electronics) นั้น ส่วนมากจะผลิตเป็นรูปแรงดันออกมาไม่เป็นแบบอุดมคติ กล่าวคือ แรงดันออกแบบทิศทางเดียวจะมีคลื่นพริ้ว (ripple) ซึ่งมีการเปลี่ยนแปลงเป็นคาบ ๆ รวมอยู่ด้วย แรงดันแบบนี้จึงไม่ราบเรียบสนิทแบบแรงดันกระแสตรงในทฤษฎีและแรงดันออกที่เป็นแบบสลับ ซึ่งมีการเปลี่ยนแปลงทิศทางกลับไปกลับมาเป็นคาบ ๆ นั้น โดยมากจะมีรูปคลื่นที่ไม่เป็นแบบไซน์ซุซอยด์ (sinusoid) ความหมายก็คือรูปคลื่นทั้งหลายนี้มีส่วนประกอบที่เป็นฮาร์โมนิกส์ปนอยู่นั่นเอง ซึ่งฮาร์โมนิกส์เหล่านี้ จะมีผลกระทบต่อโหลดที่เครื่องแปลงผันกำลังแบบสถิตนี้จ่ายกำลังให้ด้วย

งานวิจัยนี้ จะพิจารณาเพียงส่วนของฮาร์โมนิกส์อินเวอร์เตอร์เท่านั้น

การวิเคราะห์ฮาร์โมนิกส์

โดยทั่วไปรูปคลื่นของแรงดันและกระแส ที่เกี่ยวข้องกับเครื่องแปลงผันกำลังแบบสถิตจะมีลักษณะเป็นคาบ ไม่ว่าเอาท์พุทของวงจรอินเวอร์เตอร์ที่ใช้การควบคุมทั้งชนิดควอซีสแควร์ , PWM หรือ แบบ STEP ก็ตาม จะมีฮาร์โมนิกส์ออกมาด้วยทั้งสิ้น ขึ้นอยู่กับว่าชนิดไหนจะให้ฮาร์โมนิกส์อันดับต่ำออกมามากกว่ากัน ฮาร์โมนิกส์อันดับต่ำจะมีผลต่อความถี่มูลฐานมากกว่าฮาร์โมนิกส์อันดับสูง ดังนั้นจะต้องทำการวิเคราะห์ฮาร์โมนิกส์โดยใช้เครื่องมือที่เรียกว่า waveform analyser หรือ วิเคราะห์โดยใช้อุปกรณ์ฟูรีเยร์ก็ได้

อนุกรมฟูรีเยร์ของฟังก์ชันเป็นคาบ $f(x)$ ซึ่งนิยามในช่วง $c \leq x \leq c + 2L$

โดย c และ L เป็นค่าคงตัว ($L > 0$) จะได้เป็น

$$f(x) = a_0/2 + \sum_{n=1}^{\infty} [a_n \cos(n\pi x/L) + b_n \sin(n\pi x/L)]$$

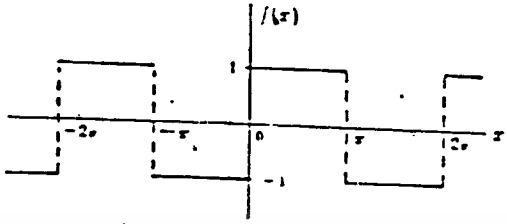
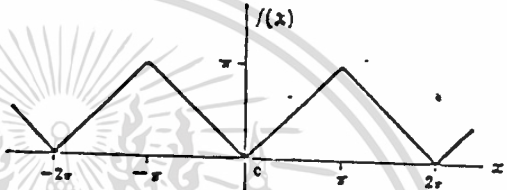
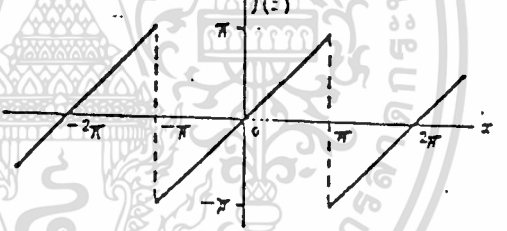
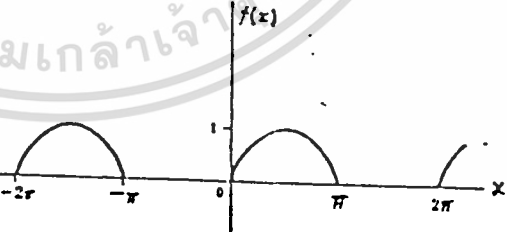
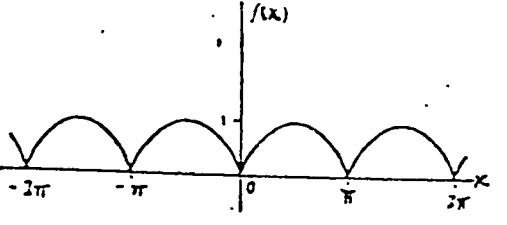
$$a_n = (1/L) \int_c^{c+2L} f(x) \cos(n\pi x/L) dx$$

$$b_n = (1/L) \int_c^{c+2L} f(x) \sin(n\pi x/L) dx$$

เอกสารนี้เป็นเอกสารที่สงวนไว้สำหรับการใช้งานเพื่อการศึกษาเท่านั้น ไม่อนุญาตให้นำไปใช้ประโยชน์ด้านการค้า

ไม่จะแสดงตัวอย่างอนุกรมฟูรีเยร์ของฟังก์ชันคาบ $f(x)$ บางฟังก์ชันในตารางที่การนำไปใช้

ตารางที่ 4-1 ตัวอย่างอนุกรมฟูรีเยร์ของฟังก์ชันเป็นคาบบางฟังก์ชัน

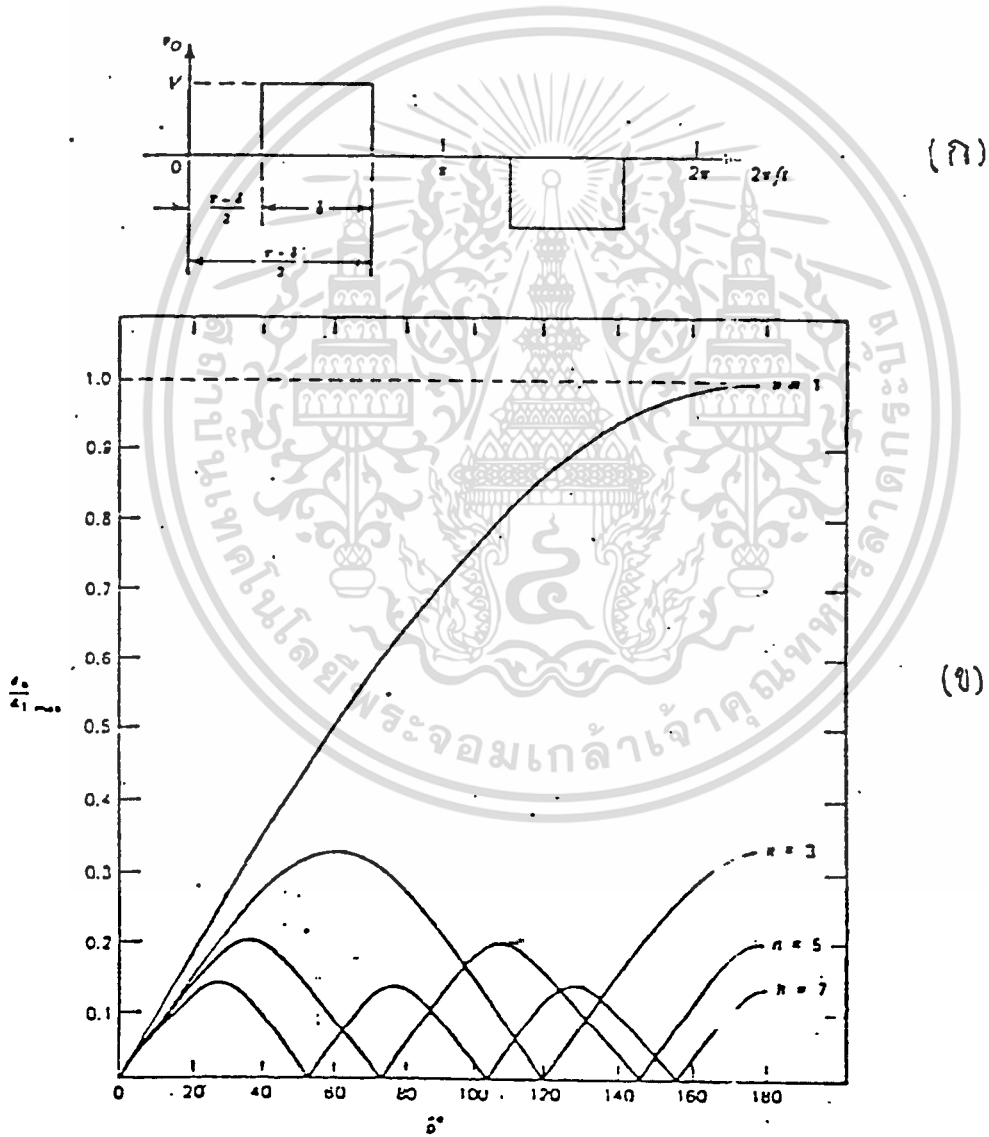
<p>1. $f(x) = \begin{cases} 1 & 0 < x < \pi \\ -1 & -\pi < x < 0 \end{cases}$</p> <p>$\frac{4}{\pi} \left(\frac{\sin x}{1} + \frac{\sin 3x}{3} + \frac{\sin 5x}{5} + \dots \right)$</p>	
<p>2. $f(x) = x = \begin{cases} x & 0 < x < \pi \\ -x & -\pi < x < 0 \end{cases}$</p> <p>$\frac{\pi}{2} - \frac{4}{\pi} \left(\frac{\cos x}{1^2} + \frac{\cos 3x}{3^2} + \frac{\cos 5x}{5^2} + \dots \right)$</p>	
<p>3. $f(x) = x, -\pi < x < \pi$</p> <p>$2 \left(\frac{\sin x}{1} - \frac{\sin 2x}{2} + \frac{\sin 3x}{3} - \dots \right)$</p>	
<p>4. $f(x) = \begin{cases} \sin x & 0 < x < \pi \\ 0 & \pi < x < 2\pi \end{cases}$</p> <p>$\frac{1}{\pi} + \frac{1}{2} \sin x - \frac{2}{\pi} \left(\frac{\cos 2x}{1 \cdot 3} + \frac{\cos 4x}{3 \cdot 5} + \frac{\cos 6x}{5 \cdot 7} + \dots \right)$</p>	
<p>5. $f(x) = \sin x , -\pi < x < \pi$</p> <p>$\frac{2}{\pi} - \frac{4}{\pi} \left(\frac{\cos 2x}{1 \cdot 3} + \frac{\cos 4x}{3 \cdot 5} + \frac{\cos 6x}{5 \cdot 7} + \dots \right)$</p>	

เอกสารนี้เป็นเอกสารที่สงวนไว้สำหรับการใช้งานเพื่อการศึกษาเท่านั้น ไม่อนุญาตให้นำไปใช้ประโยชน์ด้านการค้า
ไม่ว่ากรณีใดๆทั้งสิ้น อีกทั้งห้ามมีให้ดัดแปลงเนื้อห 3 1 และต้องอ้างอิงถึงเจ้าของเอกสารทุกครั้งที่มีการนำไปใช้

ฮาร์มอนิกส์แรงดันด้านออกของอินเวอร์เตอร์

สำหรับรูปคลื่นแรงดันออกที่เป็นคลื่น square ตามรูป 4.8 เราจะสามารถหาอนุกรมฟูริเยร์จากตารางได้เป็น

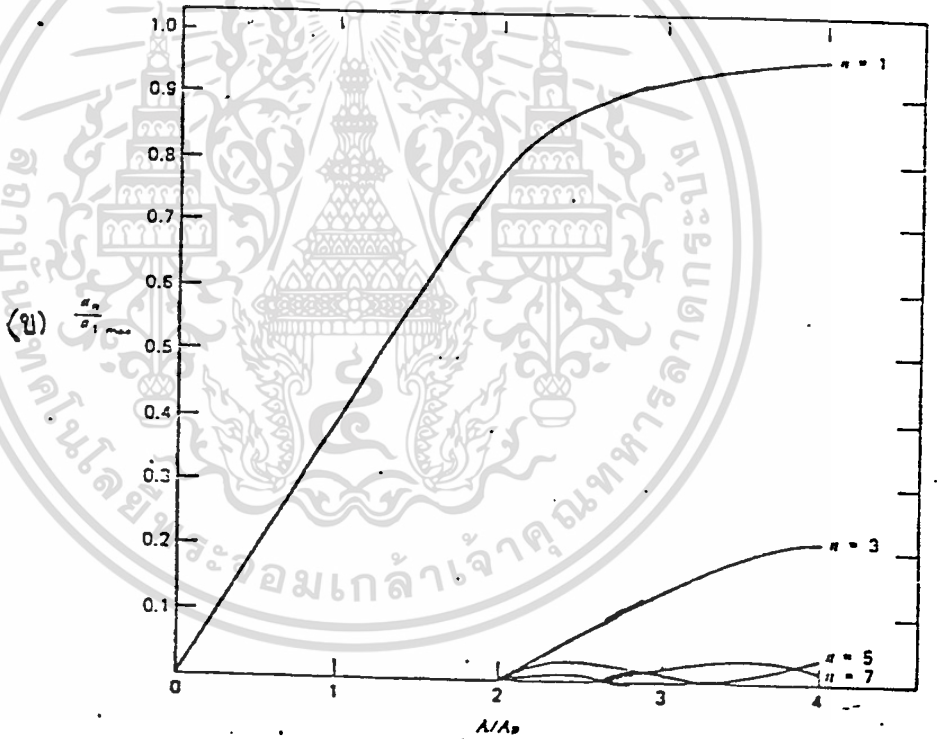
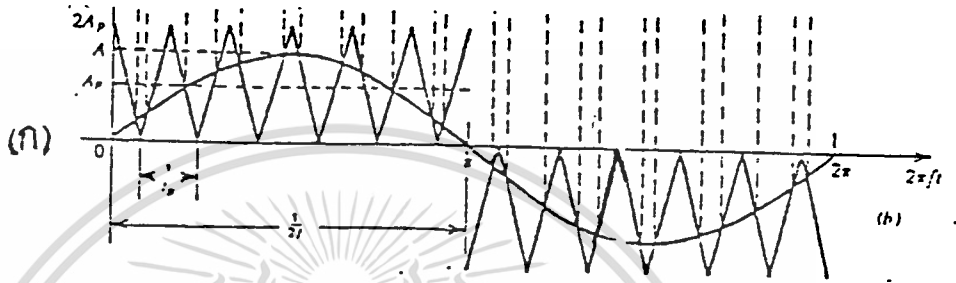
$$v_o = \sum_{N=1, 3, 5, \dots} (4V/n\pi) \sin(n\omega t)$$



รูปที่ 4.8 (ก) พัลส์คู่เดียวที่แปรความกว้างได้ใน 1 รอบ
(ข) ปริมาณฮาร์มอนิกในรูปคลื่นพัลส์คู่เดียว

รูปนี้แสดงถึงรูปคลื่น square และการแปรค่าฮาร์โมนิกส์ตามพหุนามเดอริของสัญญาณนี้ a_{1max} คือ แอมพลิจูดขององค์ประกอบหลักมูล เมื่อความกว้างพัลส์ $\sigma = \pi$ เรเดียน

สำหรับการวิเคราะห์ฮาร์โมนิกส์จากการมอดูเลตตามความกว้างพัลส์ (PWM) ได้แสดงไว้ดังรูป 4.9



รูปนี้แสดงรูปคลื่นแรงดันด้านออกจากอินเวอร์เตอร์ ในลักษณะของพัลส์ที่มีการมอดูเลตความกว้างพัลส์ให้เป็นฟังก์ชันไซน์ของตำแหน่งเชิงมุมของพัลส์ ดังที่แสดงไว้ในรูป 4.9 โดย A เป็นแอมพลิจูดของคลื่นไซน์ที่เป็นตัวมอดูเลต ส่วน A_p เป็นครึ่งหนึ่งของค่ายอดของรูปคลื่นสามเหลี่ยมที่ติดกับคลื่นไซน์ดังกล่าว การแปรค่าของฮาร์โมนิกส์ต่าง ๆ ในรูปคลื่นตามรูปดังกล่าวเทียบกับ A/A_p มีแสดงไว้ในรูปที่ 4.9 ข ในรูปนี้ a_{1max} หมายถึงแอมพลิจูดของส่วนประกอบหลักมูล

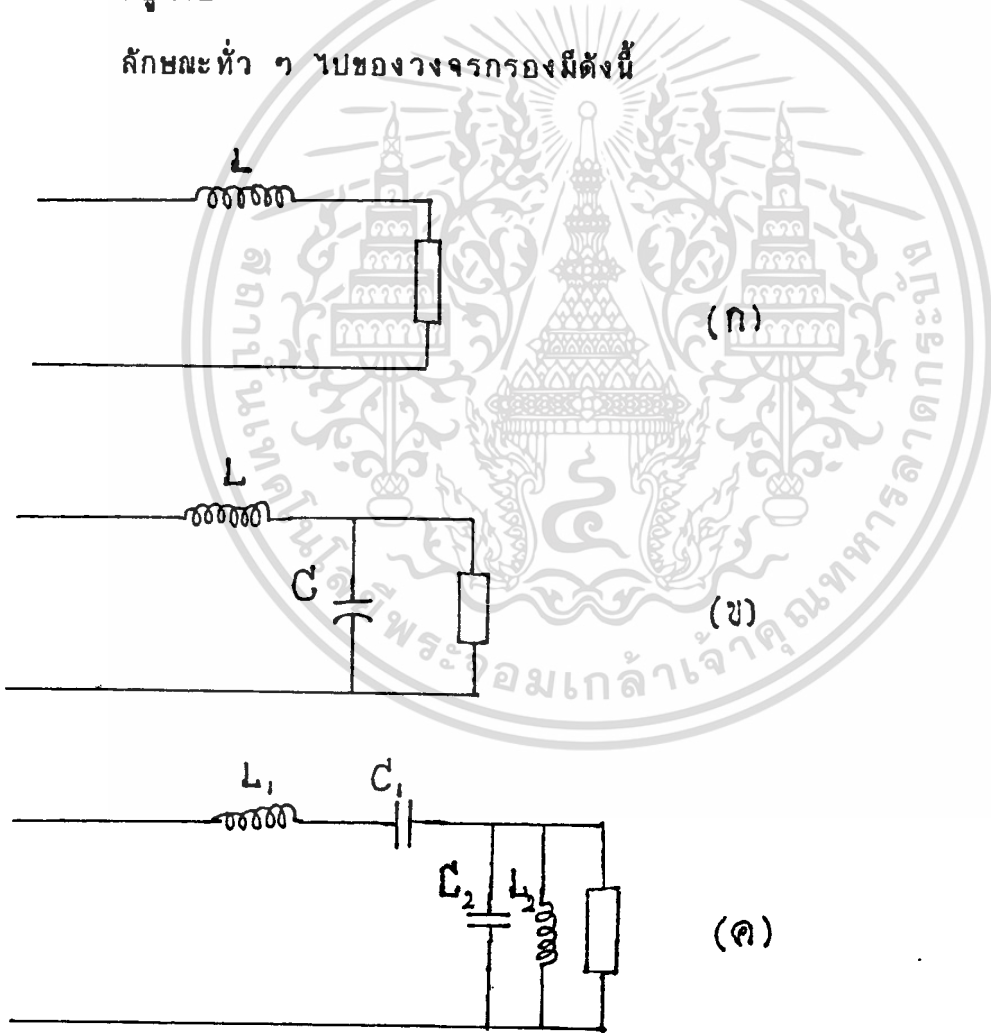
ถ้าเมื่อคลื่นในรูปที่ 4.9 ก กลายเป็นรูปคลื่น square ประโยชน์ด้านการคำนวณ

ไม่ว่ากรณีใดๆทั้งสิ้น อีกทั้งห้ามมิให้ตัดแปลงเนื้อหา และต้องอ้างอิงถึงเจ้าของเอกสารทุกครั้งที่มีการนำไปใช้

วงจรความถี่และการออกแบบ

เนื่องจากอุปกรณ์ทางอิเล็กทรอนิกส์ที่เกิดจากการสวิตช์นั้นย่อมทำให้เกิดฮาร์โมนิกส์ ออกมารบกวนระบบไฟฟ้าที่เป็นโหลด เช่น านคอมพิวเตอร์ที่ใช้ UPS ต่อ Back up ไว้ นั้น ลักษณะของไฟที่เข้าไปเลี้ยงวงจร CPU ของคอมพิวเตอร์ต้องมีลักษณะใกล้เคียงไซน์มากที่สุด จึงต้องการการต่อวงจรกรองความถี่ไว้ด้วย เพราะเรารู้แล้วว่า แม้ลักษณะคลื่น PWM ที่ออก จากอินเวอร์เตอร์จะมีฮาร์โมนิกส์อันดับต่ำออกมา น้อยก็ตาม แต่ก็ยังมีความจำเป็นต้องมี วงจรกรองอยู่ด้วย

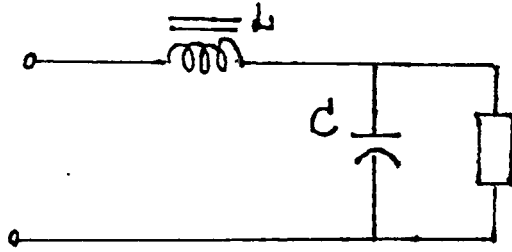
ลักษณะทั่ว ๆ ไปของวงจรกรองมีดังนี้



รูปที่ 4.10 ก) Simple output ข) Second order ค) Resonant tap

เอกสารนี้เป็นเอกสารสงวนลิขสิทธิ์หรือการเขียนเพื่อการศึกษาเท่านั้น ไม่อนุญาตให้ทำซ้ำหรือใช้ประโยชน์ด้านการค้า
ไม่ว่ากรณีใดๆทั้งสิ้น อีกทั้งห้ามมิให้ตัดแปลงเนื้อหา 34 ต้องอ้างอิงถึงเจ้าของเอกสารทุกครั้งที่มีการนำไปใช้

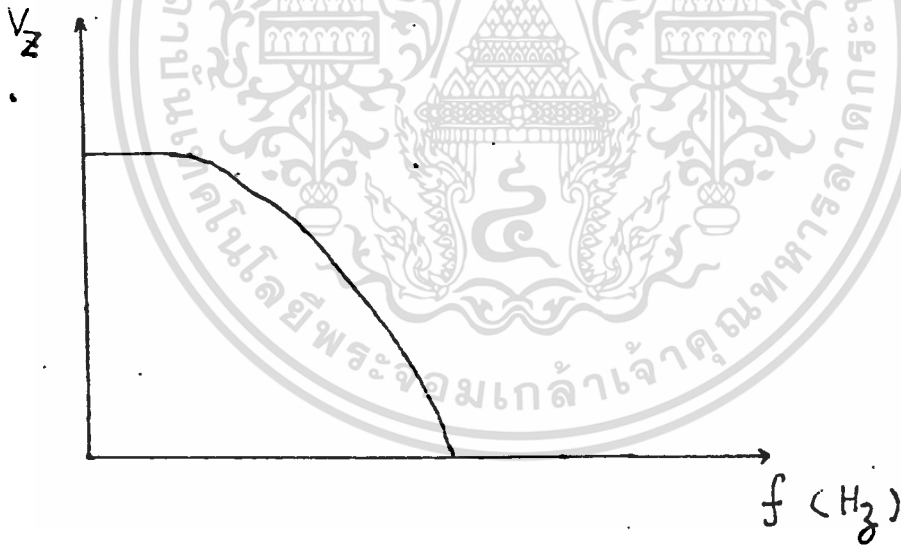
งานวิจัยนี้จะเลือกใช้แบบ LOW-PASS เพราะไม่ซับซ้อน และมีค่าอุปกรณ์ที่ค่อนข้างธรรมดาเพียงค่า L และ C ตามวงจร



จากสมการความสัมพันธ์

$$2\pi f_c = 1/(LC)^{1/2}$$

ค่า f_c ที่ใช้ควรเลือกที่มีค่าสูงกว่าความถี่ ของความถี่หลักมูล อธิบายได้จาก กราฟในรูป



เพราะลักษณะของกราฟในรูปจะเห็นว่าถ้าเรากำหนด f_c ต่ำเกินไป จะมีผลทำให้แรงดันตกคร่อมวงจรกรองสูงเกินไป จึงต้องเลือกที่เหมาะสม แม้ว่าในทางทฤษฎีเราต้องการกรองความถี่ที่สูงกว่าความถี่สัญญาณออกไปก็ตาม

$$(1 \times 10^{-3} \text{ cm} \times 10^3)$$

ตัวอย่างจากการทดลอง

ความถี่สัญญาณ (f_0) = 50 Hz

$f_c = 200 \text{ Hz}$

$le = \frac{1}{(2\pi f)^2}$

จากสมการ (1) ได้ค่า

$C = 7 \times 10^{-6} \text{ F}$

$L = \frac{1}{4\pi^2} * (250)^2 * 7 * 10^{-6}$

$= 90.25 \text{ mH}$

$289 = 290 \text{ mH}$

เนื่องจากข้อกำหนดของวงจร C ต้องไม่มีขั้วและทนแรงดันได้มากกว่า 250 VAC และ L ที่ใช้ ต้องเป็น L จากแกนเหล็ก E-I เพราะการพัน L จากแกนเหล็ก จะใช้ค่า L ที่มากและจำนวนรอบต่ำ รวมทั้งยังสามารถปรับค่าได้จากความกว้างของ air gap

จากความสัมพันธ์

$L = \frac{\mu N^2 A_C}{g}$

$\mu = 4 \times 10^{-7}$

$A_C =$ พื้นที่หน้าตัดแกนเหล็ก (m^2)

$g =$ ความกว้างช่องอากาศ (m)

$\frac{2 \times 10^{-4} \times 4 \pi \times 10^{-7} \times 2}{10^{-4}} =$

290 m

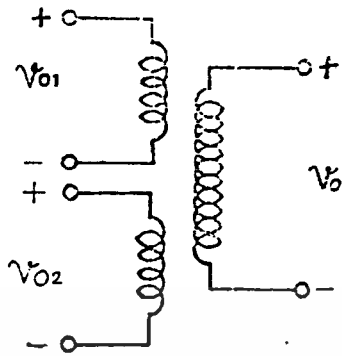
*** หมายเหตุ ***

ในการออกแบบวงจรกรองโดยการคำนวณข้างต้นจะได้ค่า L,C แล้วก็ตาม แต่ในทางปฏิบัติจริง จำเป็นต้องลองปรับค่า L,C ให้เหมาะสมตามความเป็นจริง

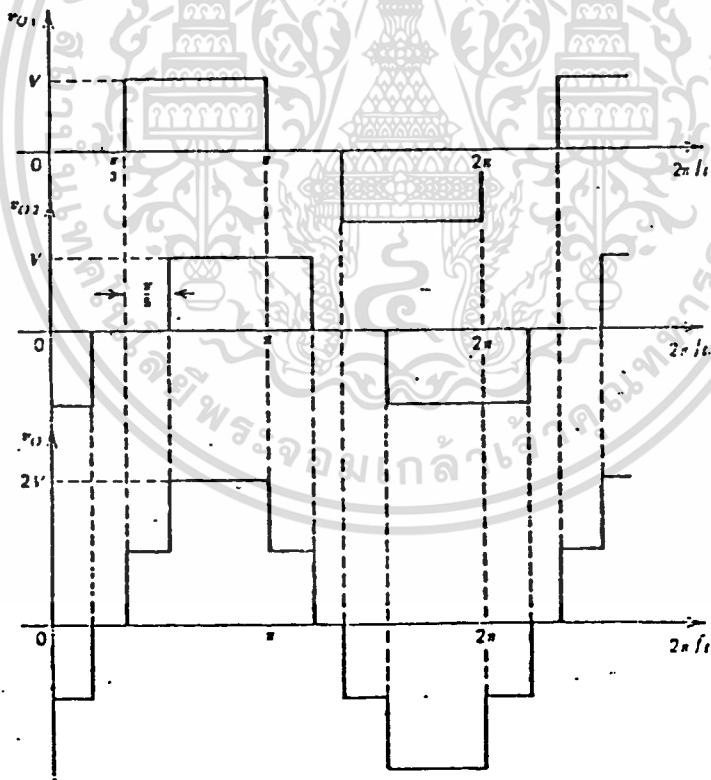
การลดฮาร์มอนิกส์นั้นมีความจำเป็นมากน้อยต่างกันไปตามสภาวะการนำอินเวอร์ตเตอร์ไปประยุกต์ใช้งานต่าง ๆ กัน และวิธีการลดฮาร์มอนิกส์ก็มีวิธีการหลายแบบ เช่น การใช้ PWM ในส่วนควบคุมการสวิตชิง , ใช้วงจรกรองความถี่ , การบวกสัญญาณรบกวน หรือ การใช้เทคนิคการสวิตชิงที่มุมจุดขนวนของอุปกรณ์สวิตชิง ซึ่งเป็นแบบที่นิยมใช้ในงานควบคุมความเร็วของมอเตอร์กระแสสลับ

การบวกสัญญาณรบกวนใช้หม้อแปลง

วิธีนี้ รูปคลื่นที่นำมาบวกกันก็มักจะมีเฟสเหมือนกัน และเราก็จะปรับเฟสที่เหมือนกันนี้ให้เหมาะสม ดังตัวอย่างเช่น ถ้าเราเอารูปคลื่นเก็บบัสที่เชื่อม V01 และ V02 ซึ่งเหมือนกันสองรูปมาบวกกันโดยใช้หม้อแปลงดังรูป เราจะสามารถกำจัดฮาร์มอนิกส์ค่าหนึ่งออกไปได้



ก. แสดงการคอดมแปลงเพื่อลคขารโมนิกส



ข. การกำรลคขารโมนิกสที่หาโดยล้การคอดมแปลง

รูป 4.11

เอกสารนี้เป็นเอกสารที่สงวนไว้สำหรับการใช้งานเพื่อการศึกษาเท่านั้น ไม่อนุญาตให้นำไปใช้ประโยชน์ด้านการค้า
ไม่ว่ากรณีใดๆทั้งสิ้น อีกทั้งห้ามมิให้ดัดแปลงเนื้อหา 38 ต้องอ้างอิงถึงเจ้าของเอกสารทุกครั้งที่มีการนำไปใช้

บทที่ 5

ระบบควบคุม



เอกสารนี้เป็นเอกสารที่สงวนไว้สำหรับการใช้งานเพื่อการศึกษาเท่านั้น ไม่อนุญาตให้นำไปใช้ประโยชน์ด้านการค้า
ไม่ว่ากรณีใดๆทั้งสิ้น อีกทั้งห้ามมิให้ดัดแปลงเนื้อหา 39 ต้องอ้างอิงถึงเจ้าของเอกสารทุกครั้งที่มีการนำไปใช้

ทฤษฎีพื้นฐานของ FET

Field-Effect Transistor หรือที่เรียกย่อ ๆ ว่า FET เป็นอุปกรณ์สารกึ่งตัวนำที่ค่อนข้างจะใหม่สำหรับวงการอิเล็กทรอนิกส์ในประเทศไทย ถ้าพูดถึงลักษณะการทำงานแล้ว FET มีลักษณะการทำงานคล้ายกับทรานซิสเตอร์มาก แต่ก็มีข้อแตกต่างอยู่บ้าง ข้อแตกต่างที่สำคัญที่ทำให้ FET แตกต่างจากทรานซิสเตอร์คือ FET มีความต้านทานทางด้าน input สูงมาก นั่นหมายความว่า การควบคุมขา gate ของ FET ใช้เพียงแต่ความต่างศักย์ เท่านั้น โดยต้องการกระแสเพียงเล็กน้อยเท่านั้น จึงทำให้การควบคุมขา gate ของ FET โดยเฉพาะวงจร gate driver ง่ายมาก เนื่องจากใช้กำลังงาน (Low power level)

จากลักษณะการควบคุม FET ดังกล่าว ทำให้ FET มีลักษณะคล้าย หลอดสุญญากาศ ซึ่งควบคุมด้วยความต่างศักย์อย่างเดียว ในขณะที่ทรานซิสเตอร์จะต้องควบคุมด้วยกระแส จากเหตุผลข้างต้นทำให้ FET มีข้อดีกว่าทรานซิสเตอร์ ในด้านการควบคุมทางด้าน input และดีกว่าหลอดสุญญากาศ ในด้านขนาดและการสูญเสียในด้านความร้อน

ชนิดของ FET

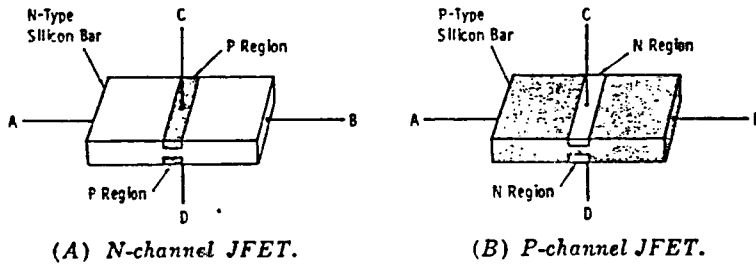
FET สามารถแบ่งออกเป็นประเภทใหญ่ ๆ ได้ 2 ประเภท คือ

1. Junction FET (JFET)
2. Metal-Oxide Semiconductor FET (MOSFET)

แบ่งตามลักษณะการใช้งานเป็น 2 ประเภท คือ

1. N-channel FET
2. P-channel FET

ลักษณะโครงสร้างของ P-channel และ N-channel JFET แสดงไว้ในรูปที่ 1

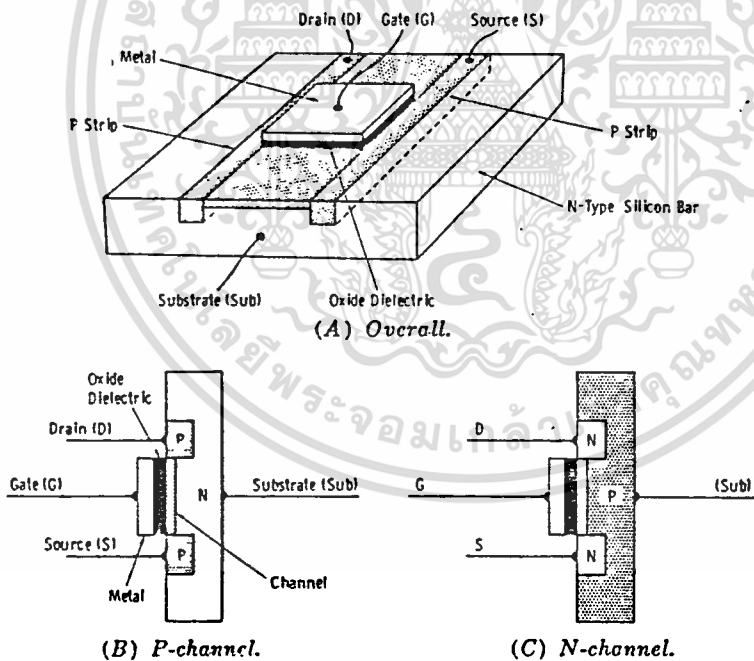


รูปที่ 1 แสดงโครงสร้างของ P-channel และ N-channel JFET

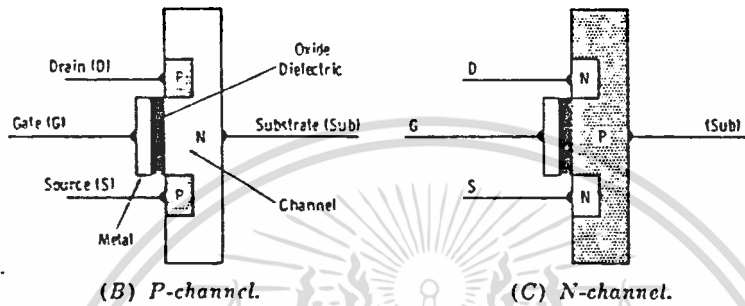
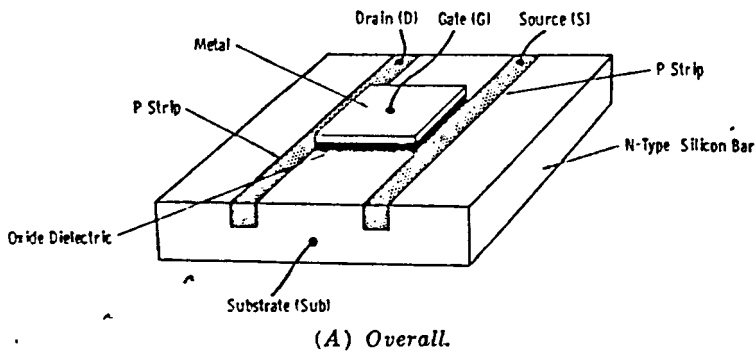
แบ่งตามลักษณะการทำงานของ FET ออกเป็น 2 ประเภท คือ

1. Depletion mode
2. Enhancement mode

ลักษณะโครงสร้างของ Depletion mode และ Enhancement mode ของ MOSFET แสดงไว้ในรูปที่ 2(ก) และ 2(ข) ซึ่งรายละเอียดของ Depletion mode และ Enhancement mode นั้น จะได้อธิบายต่อไปดังนี้



รูปที่ 2(ก) แบบ Enhancement



รูปที่ 2(ข) แบบ Depletion

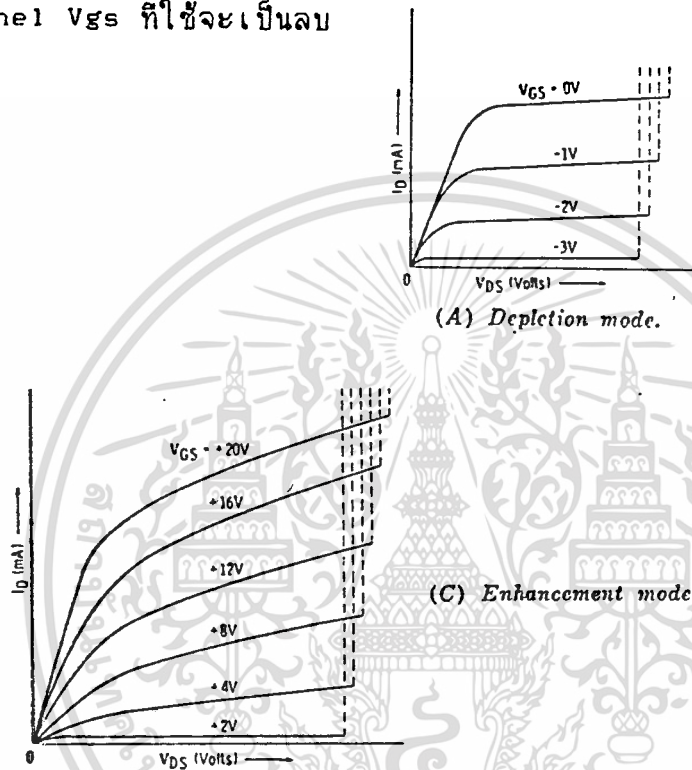
Depletion mode

การทำงานของ FET ใน mode นี้คือ ในสภาวะปกติ ตัว FET จะนำกระแส ถ้าไม่ให้ bias (V_{gs}) ที่ขา gate ซึ่งการนำกระแสในขณะที่ไม่ให้ bias FET จะทำหน้าที่เหมือนไดโอด คือจะยอมให้กระแสไหลในทิศทางเดียวเท่านั้น เมื่อป้อน bias ที่ ขา gate จะทำให้การนำกระแสของ FET ลดลง จะลดลงมากหรือน้อยขึ้นอยู่กับขนาดของ V_{gs} ที่ bias ตัว FET อยู่

ตัวอย่างความสัมพันธ์ระหว่าง V_{gs} และ กระแส Drain (I_d) แสดงไว้ในรูปที่ 4 และตัวอย่างการทำงานของ Depletion N-channel JFET แสดงไว้ในรูปที่ 5

Enhancement mode

ลักษณะการทำงานของ FET แบบ Enhancement mode นี้ มีลักษณะการทำงานเหมือนกับทรานซิสเตอร์ คือ ในสภาวะปกติจะไม่นำกระแส เมื่อมี bias V_{GS} จึงเริ่มนำกระแส ส่วน V_{GS} ที่ใช้จะเป็นบวกหรือลบ ขึ้นอยู่กับว่า FET นั้นเป็นแบบ N-channel หรือ P-channel ถ้าเป็นแบบ N-channel V_{GS} ที่ใช้จะเป็นบวก ถ้าเป็น P-channel V_{GS} ที่ใช้จะเป็นลบ



รูปที่ 4 แสดงความสัมพันธ์ระหว่าง I_d และ V_{ds} ที่ค่า V_{GS} ต่าง ๆ

เราสามารถเขียนแผนผังการแบ่งประเภท, ลักษณะการทำงานและลักษณะการใช้งานของ FET ได้ดังรูปที่ 6 จากแผนผังจะเห็นว่า JFET นั้น จะทำงานเป็น Depletion mode เท่านั้น

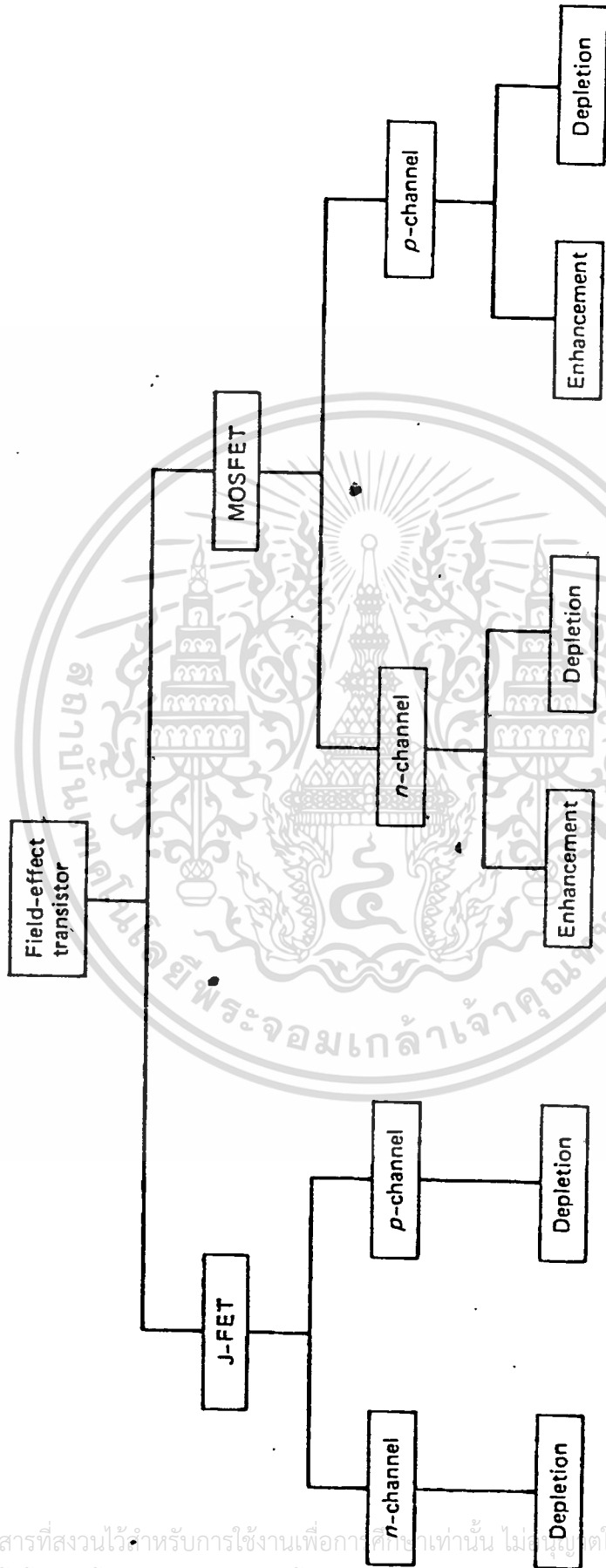


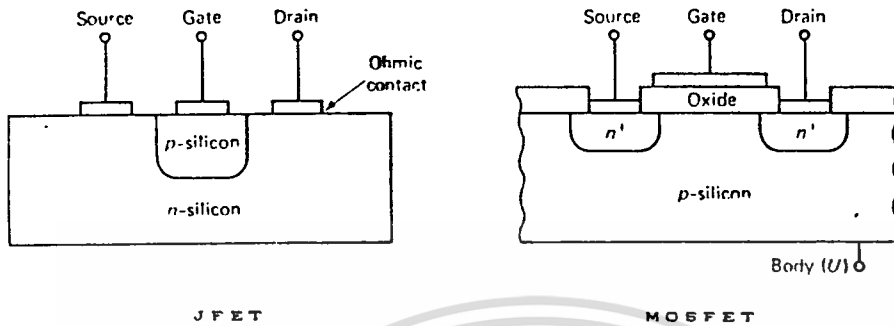
Figure 1.1 Family tree of field-effect transistors, showing the various classifications possible.

5/1

รูปที่ 6 แผนผังการแบ่งประเภทของ FET

ข้อแตกต่างระหว่าง JFET และ MOSFET

1. ความแตกต่างด้านโครงสร้างของตัว FET ซึ่งเป็นไปตามรูปที่ 7

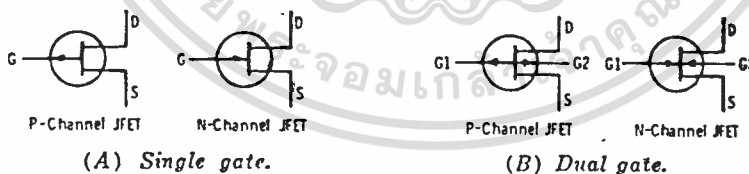


รูปที่ 7 แสดงโครงสร้างของ JFET และ MOSFET

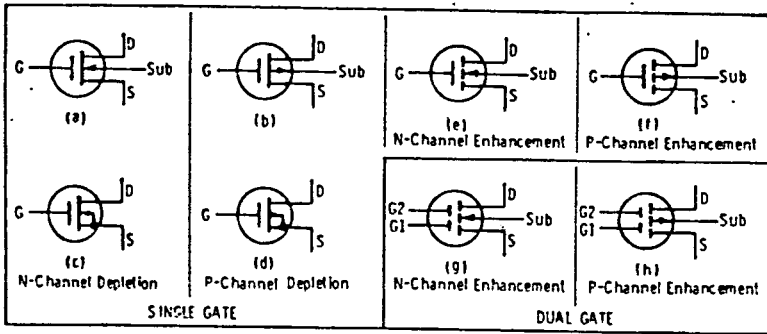
2. ขาเกตของ JFET นั้น ติดกับเนื้อสารกึ่งตัวนำโดยตรง แต่ใน MOSFET นั้น ขา gate จะถูกแยกออกจากเนื้อสารด้วยฉนวน ซึ่งโดยทั่วไปจะเป็นออกไซด์ของโลหะ
3. JFET นั้นมีแต่ Depletion mode แต่ MOSFET มีทั้ง Depletion mode และ Enhancement mode

สัญลักษณ์ของ JFET และ MOSFET

สัญลักษณ์ของ JFET และ MOSFET แบบต่าง ๆ แสดงไว้ในรูปที่ 8 (ก) และ 8 (ข)



8 (ก) JFET



(A) Single gate.

(B) Dual gate.

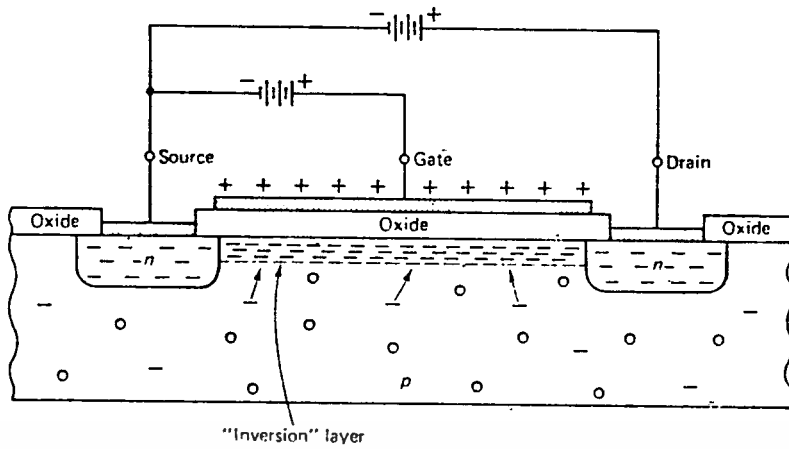
8 (ข) MOSFET

รูปที่ 8 แสดงของ JFET และ MOSFET

ในโครงการนี้ ใช้ MOSFET ชนิด N-channel แบบ Enhancement ดังนั้น จึงขออธิบายเกี่ยวกับ MOSFET แบบ Enhancement เท่านั้น

1. N-channel, enhancement-mode MOSFET

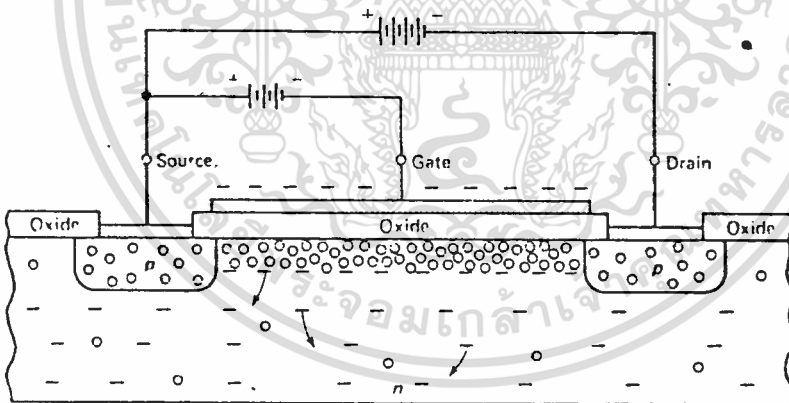
ลักษณะโครงสร้างและการ bias แสดงไว้ในรูปที่ 9 ซึ่งสามารถอธิบายการทำงานได้ ดังนี้ คือ ในสภาวะปกติที่ไม่มี การ bias นั้น ที่ channel ของ FET ตรงส่วนที่ติดกับออกไซด์จะไม่มีอิเล็กตรอนอิสระอยู่เลย หรือถ้ามีก็น้อยมาก ในสภาวะนี้ FET จะไม่สามารถนำกระแสได้ แต่เมื่อมีการ bias ที่เป็นบวกให้ที่ขาคาทอดของ MOSFET ศักย์ไฟฟ้าที่เป็นบวกจะดึงเอาอิเล็กตรอนมาที่ channel ตรงส่วนที่ใกล้กับออกไซด์ ในสภาวะเช่นนี้ FET จะสามารถนำกระแสได้เมื่อป้อนแรงดันคร่อม drain และ source (V_{ds})



รูปที่ 9 แสดงการทำงานและการ bias MOSFET ชนิด N-channel

2. P-channel, enhancement-mode MOSFET

ลักษณะโครงสร้างและการ bias แสดงไว้ในรูปที่ 10 การทำงานนั้นมีลักษณะคล้ายกับแบบ N-channel คือเมื่อมีการ bias ด้วยความต่างศักย์ที่เป็นลบ ก็จะมีการผลักอิเล็กตรอนออกไปจาก channel ภายใน channel จะเหลือแต่ hole เท่านั้น ในลักษณะนี้จะทำให้ FET อยู่ในสภาวะนำกระแส



รูปที่ 10 แสดงการทำงานและการ bias MOSFET ชนิด P-channel

จากการทำงานของ MOSFET จะเห็นว่าที่ gate และ source เสมือนมี capacitor อยู่ เมื่อมีการป้อนศักย์ดาคร่อม gate และ source ก็จะเป็นการ charge capacitor ดังนั้น ความเร็วในการ switching ของ MOSFET จึงขึ้นอยู่กับ ค่า capacitance นี้ คือ ถ้าค่า capacitance นี้ มีค่ามาก ก็จะทำให้การ switching ช้า แต่ปกติแล้วค่า capacitance นี้ จะมีค่าน้อยมาก อยู่ในระดับ pF จึงทำให้ FET ตอบสนองความถี่ ได้สูงมาก การที่ FET สามารถตอบสนองความถี่ได้สูงมากนี้ เป็นข้อได้เปรียบอย่างหนึ่งของ FET ที่มีต่ออุปกรณ์ switching อื่น ๆ

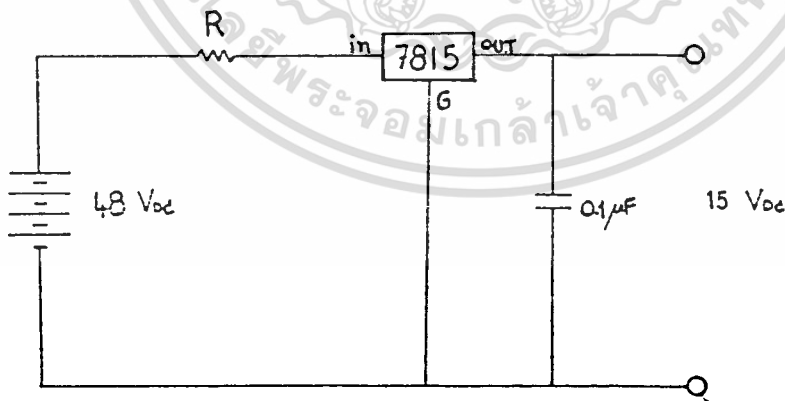


Power Supply และ Switching Power Supply

ในโครงงานนี้ แหล่งจ่ายไฟหลักนั้นใช้แบตเตอรี่ ขนาด 12 V 4 ตัว มาต่ออนุกรมกันเพื่อให้ได้ 48 V การนำแบตเตอรี่ มาต่ออนุกรมเพื่อให้ได้แรงดัน 48 V แทนที่จะนำมาต่อขนานกันให้ได้ 12 V หรือ 24 V นั้น เนื่องจากการใช้แรงดันสูง จะทำให้สามารถลดขนาดกระแสได้ในการจ่ายกำลังที่เท่ากัน การลดขนาดกระแส นั้น มีประโยชน์อย่างมาก เพราะเป็นการลดกระแสที่ผ่านอุปกรณ์ที่นำมาต่อเป็นวงจร Inverter (Switching device) ซึ่งอุปกรณ์เหล่านี้ ถ้ามีพิกัดกระแสสูงแล้ว ราคาจะแพงมาก ทำให้สิ้นเปลืองค่าใช้จ่าย นอกจากค่าใช้จ่ายจะสูงแล้ว อุปกรณ์ที่มีพิกัดกระแสสูงเมื่อนำมาใช้ที่พิกัด จะทำให้เกิดปัญหาการระบายความร้อนอีกด้วย

ด้วยเหตุผลดังกล่าวข้างต้น โครงงานนี้จึงใช้แหล่งจ่ายไฟหลักขนาด 48 V มาเป็นแหล่งจ่ายไฟของโครงงานนี้ทั้งระบบ

ในส่วนของวงจรสร้างสัญญาณ PWM และวงจร Feedback นั้นจำเป็นจะต้องใช้แหล่งจ่ายไฟขนาด +15 V และ -15 V เพราะอุปกรณ์ส่วนใหญ่เป็น IC Op-amp ซึ่งต้องใช้แหล่งจ่ายไฟบวกและลบ สำหรับแหล่งจ่าย +15 V นั้น ทำได้โดยใช้ IC Regulator 15 V เป็นตัวลดขนาดแรงดันให้เหลือ 15 V การที่นำแหล่งจ่ายไฟ 48 V มาผ่าน IC Regulator 15 V จะทำให้มีแรงดันตกคร่อมตัว IC ถึง 33 V ในระดับแรงดันตกคร่อมสูงขนาดนี้ เมื่อมีกระแสไหลผ่านตัว IC เพียงเล็กน้อย ก็จะทำให้มีความร้อนเกิดขึ้นอย่างมากภายในตัว IC ซึ่งจะทำให้ตัว IC เสียหายได้ จึงจำเป็นจะต้องมีความต้านทานมาต่ออนุกรมกับตัว IC เพื่อลดแรงดันที่ตกคร่อมตัว IC ดังวงจรในรูปที่ 11



รูปที่ 11 แสดงการวางวงจร power supply +15 V

จากการวัดกระแสที่ผ่านวงจรทางด้านไฟบวกมีค่าประมาณ 800 mA เนื่องจาก IC Regulate จำเป็นต้องมีแรงดันตกคร่อมประมาณ 5 V ดังนั้น จะต้องให้มีแรงดันตกคร่อมความต้านทาน R 28 V ที่กระแส 800 mA ซึ่งสามารถหาค่า R ได้

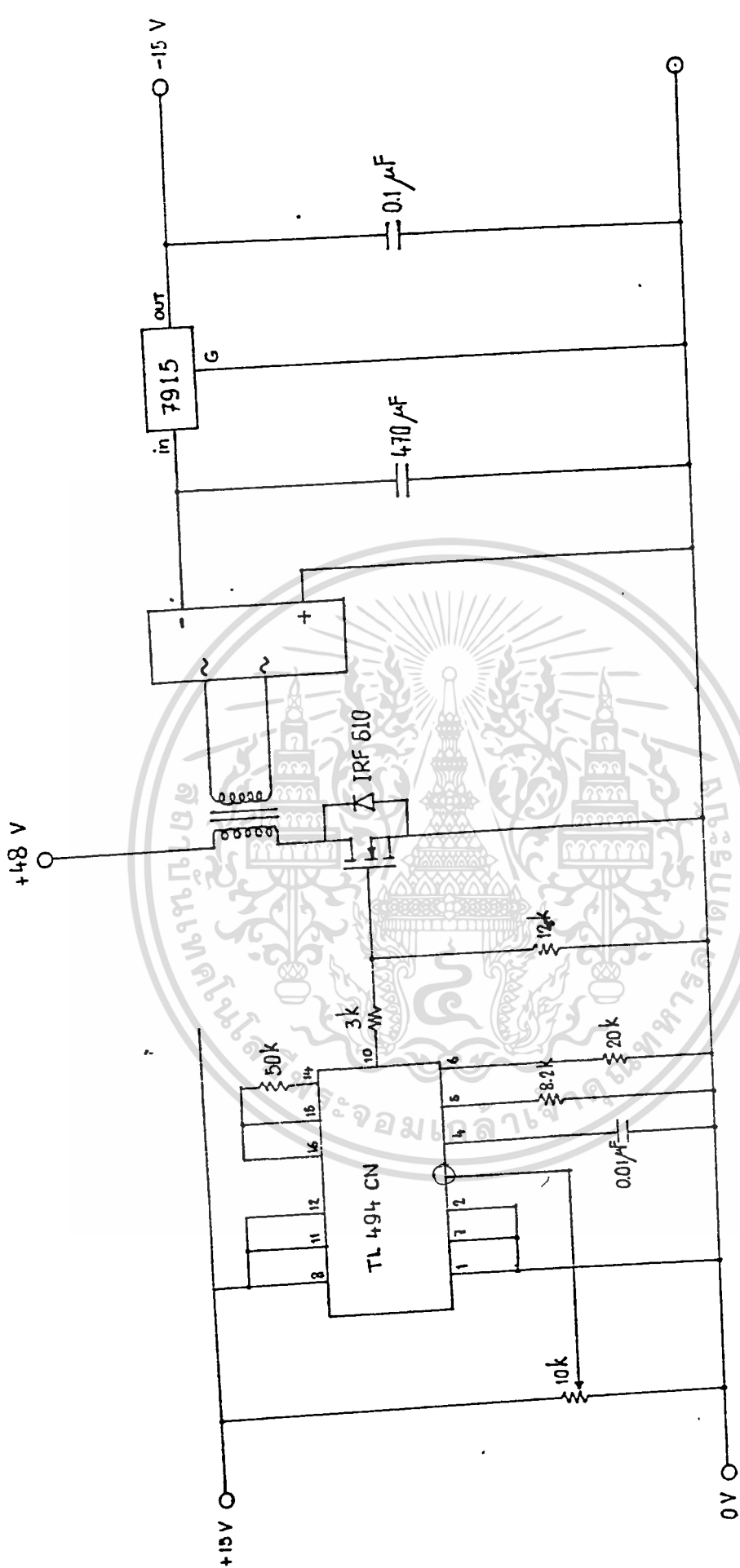
$$R = \frac{28}{0.8} = 35 \text{ โอห์ม}$$

และจะต้องมีพิกัดกำลัง

$$P = (0.8)^2 \times 35 = 22.4 \text{ วัตต์}$$

Switching Power supply

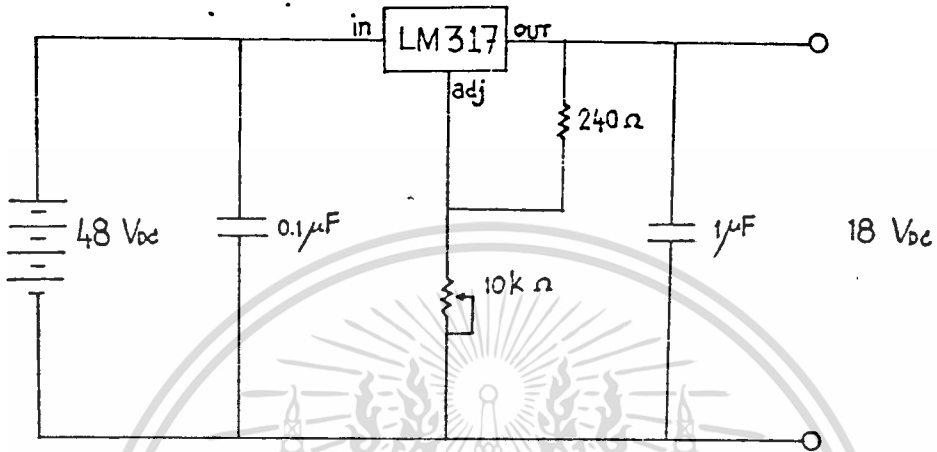
ส่วนของไฟลบนั่นใช้ switching power supply สร้างขึ้น โดยใช้ IC 494 เป็นตัวสร้างความถี่ โดยแหล่งจ่ายไฟที่ป้อนให้กับ IC นั้นเป็น +15 V ซึ่งสร้างโดย วงจรตามรูปที่ 11 สัญญาณที่ได้จาก IC 494 มีความถี่ 25 kHz สาเหตุที่ใช้ความถี่สูงถึง 25kHz นั้น เพื่อให้สูงเกิน ความถี่สูงสุดที่คนเราจะสามารถรับได้ และไม่เกินความถี่สูงสุดที่อุปกรณ์ switching จะทำงานได้ ซึ่งในโครงงานนี้ ใช้ FET เบอร์ IRF 610 เป็นตัว switching โดยใช้แหล่งจ่ายไฟ 48 V ผ่านหม้อแปลงที่ใช้แกนเฟอร์ไรท์ วงจร switching power supply แสดงไว้ในรูปที่ 12



รูปที่ 12 วงจร Switching power supply

เอกสารนี้เป็นเอกสารที่สงวนไว้สำหรับการใช้งานเพื่อการศึกษาเท่านั้น ไม่อนุญาตให้นำไปใช้ประโยชน์ด้านการค้า
ไม่ว่ากรณีใดๆทั้งสิ้น อีกทั้งห้ามมิให้ตัดแปลงเนื้อหา และ 52 อังอิงถึงเจ้าของเอกสารทุกครั้งที่มีการนำไปใช้

นอกจากนี้แล้วยังมีแหล่งจ่ายไฟที่ป้อนให้กับ IC Opto isolate ซึ่งจำเป็นต้องใช้แหล่งจ่ายไฟ 18 V ในการ Drive Power FET แหล่งจ่ายไฟ 18 V นี้ สร้างขึ้นโดยใช้ IC LM317 (adjustable regulator) การต่อวงจรแสดงไว้ในรูปที่ 13



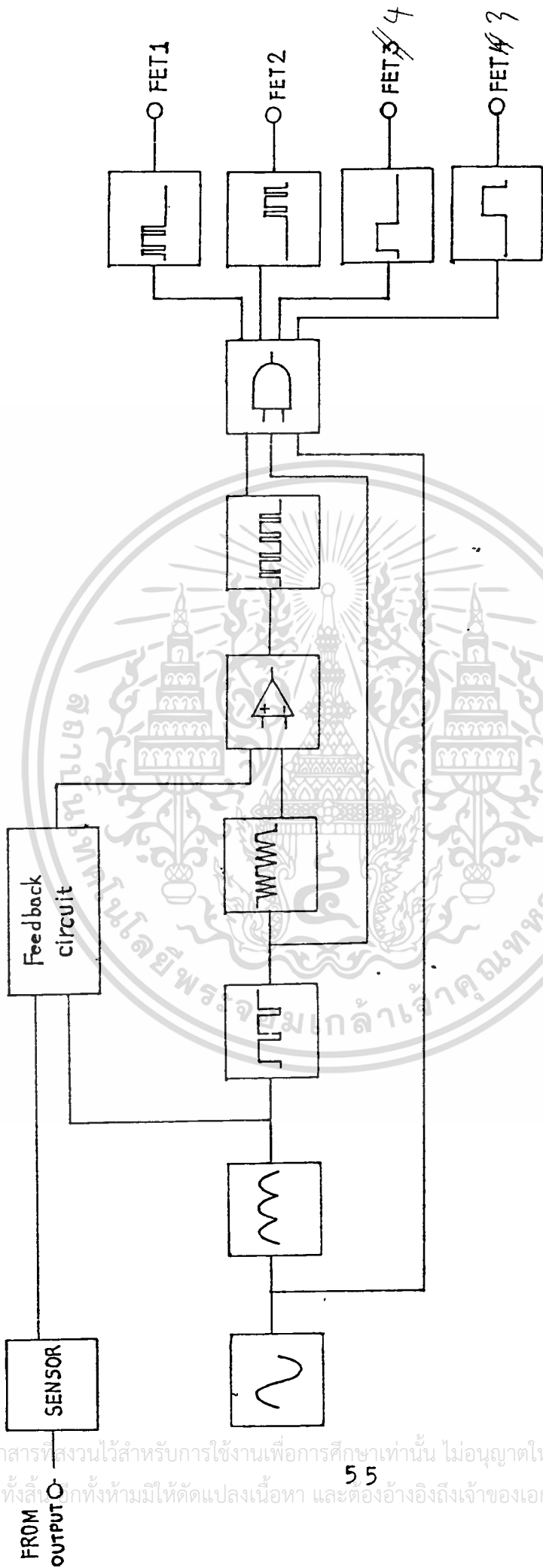
รูปที่ 13 แสดงการต่อวงจร power supply +18 V

วงจรสร้างสัญญาณ PWM

วงจรสร้างสัญญาณ PWM โดยทั่วไปแล้วมักจะสร้างโดยระบบ Digital โดยการใช้ Microprocessor อ่านข้อมูลจากหน่วยความจำ แล้วจึงแปลงจาก Digital เป็น Analog ซึ่งถ้ารวมทั้งระบบแล้ว จะเป็นระบบที่ใหญ่ ด้วยเหตุนี้ การสร้างสัญญาณ PWM ในโครงการนี้ จึงสร้างขึ้นโดยใช้วงจร Analog ทั้งหมด เพื่อลดขนาดของวงจรสร้างสัญญาณ PWM ให้มีขนาดเล็กที่สุดเท่าที่จะเล็กได้ ซึ่งเป็นจุดประสงค์หนึ่งของโครงการนี้

แต่อย่างไรก็ตาม ถ้าจะกล่าวถึงเสถียรภาพของวงจรและสัญญาณแล้ว การสร้างสัญญาณโดยใช้วงจร Digital จะมีเสถียรภาพดีกว่า แต่ทั้งนี้ก็มิได้หมายความว่า การสร้างโดยวงจร Analog จะมีเสถียรภาพต่ำ เสถียรภาพของสัญญาณนั้นจะขึ้นอยู่กับ วงจรที่นำมาสร้างสัญญาณต่าง ๆ ,คุณภาพของอุปกรณ์ เช่น capacitor, transistor, IC เป็นต้น และที่สำคัญคือ เทคนิคการป้องกันสัญญาณรบกวน (noise) ทั้งจากภายนอกและจากภายในวงจรเอง

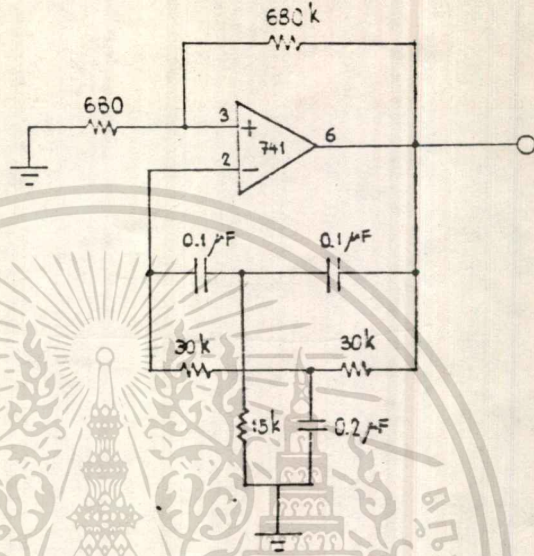
ขั้นตอนการสร้างสัญญาณ PWM ทั้งหมด ในโครงการนี้จะสามารถเข้าใจได้ง่าย โดยดูจาก Block diagram ในรูปที่ 14 ส่วนรายละเอียดการทำงานของวงจรจะอธิบายเป็นลำดับไป ดังนี้



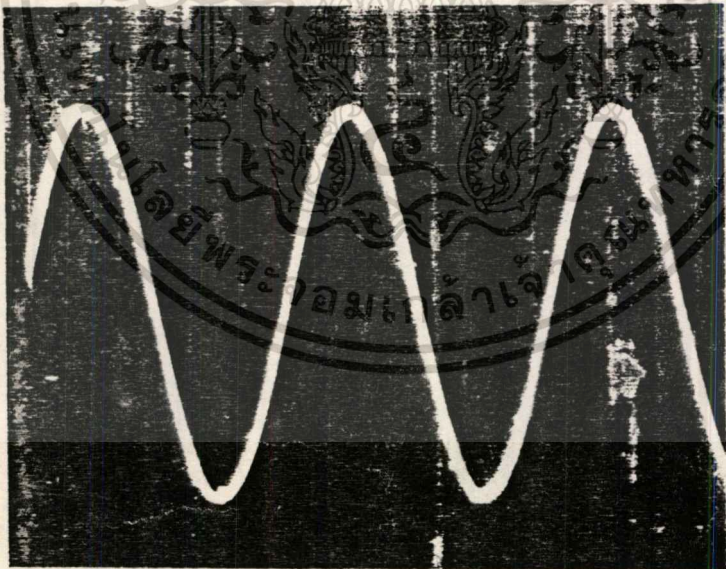
รูปที่ 14 แผนผังของวงจรสร้างสัญญาณ PWM

1. วงจรสร้างสัญญาณ Sine wave 50 Hz

วงจรสร้างสัญญาณ sine wave ในโครงงานนี้ เป็นวงจร Oscillator ให้กำเนิดสัญญาณ sine wave ความถี่ 50 Hz ซึ่งเป็นวงจรที่ใช้กันอยู่ทั่วไป โดยใช้ IC Op-amp เบอร์ 741 เป็นตัวสร้าง ลักษณะการต่อวงจรเป็นไปตามวงจรใน รูปที่ 15 และสัญญาณที่ได้ ดังรูปที่ 16



รูปที่ 15 วงจรกำเนิด sine wave

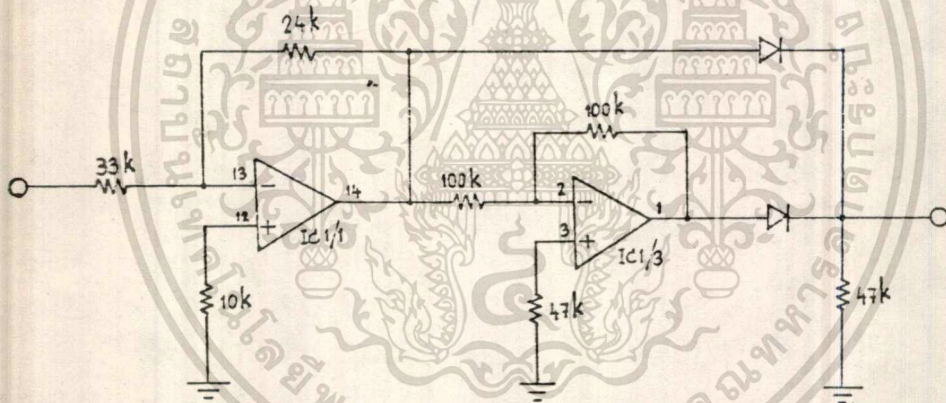


รูปที่ 16 แสดง sine wave ที่ได้จากวงจรในรูปที่ 15

2. วงจรเปลี่ยน sine wave ให้เป็น Full wave rectified

จากวงจรสร้างสัญญาณ sine wave สัญญาณ sine wave ที่ได้ เป็นสัญญาณหลักของวงจรสร้างสัญญาณ PWM เพราะวงจรสร้างสัญญาณอื่น ๆ ที่เหลือจำเป็นต้องทำงานสัมพันธ์ (Synchronize) กับสัญญาณ sine wave นี้

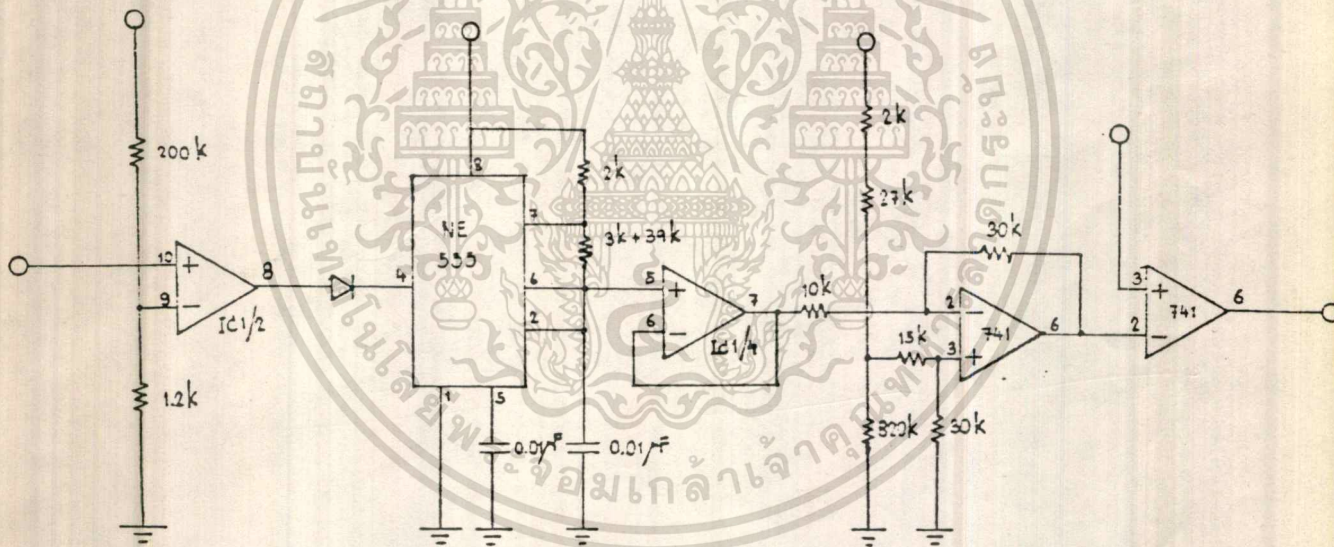
สำหรับวงจรเปลี่ยนสัญญาณ sine wave ให้เป็น Full wave rectified นั้น เริ่มจากการที่ IC1/1 รับสัญญาณ sine wave เข้ามา ตัว IC1/1 ทำหน้าที่เป็น inverting amplifier เพื่อปรับระดับของสัญญาณ sine wave ให้ได้ขนาดที่พอเหมาะและ IC1/1 ยังทำหน้าที่เป็น Buffer ด้วย สัญญาณที่ได้จะผ่านไดโอด เพราะต้องการเฉพาะซีกบวกเท่านั้น ส่วนของสัญญาณอีกครั้งลูกนั้นสร้างได้โดยนำสัญญาณ sine wave จาก IC1/1 มากลับเฟส โดยผ่าน IC1/3 และเลือกแต่ซีกบวกโดยผ่านไดโอด สัญญาณที่ได้ จะถูกส่งไปยังระบบ Feedback และนำไปเป็นฐานเวลาให้กับการสร้าง Triangle wave ต่อไป ลักษณะการต่อวงจร แสดงไว้ในรูปที่ 17



รูปที่ 17 แสดงวงจรเปลี่ยนสัญญาณให้เป็น Full wave rectified

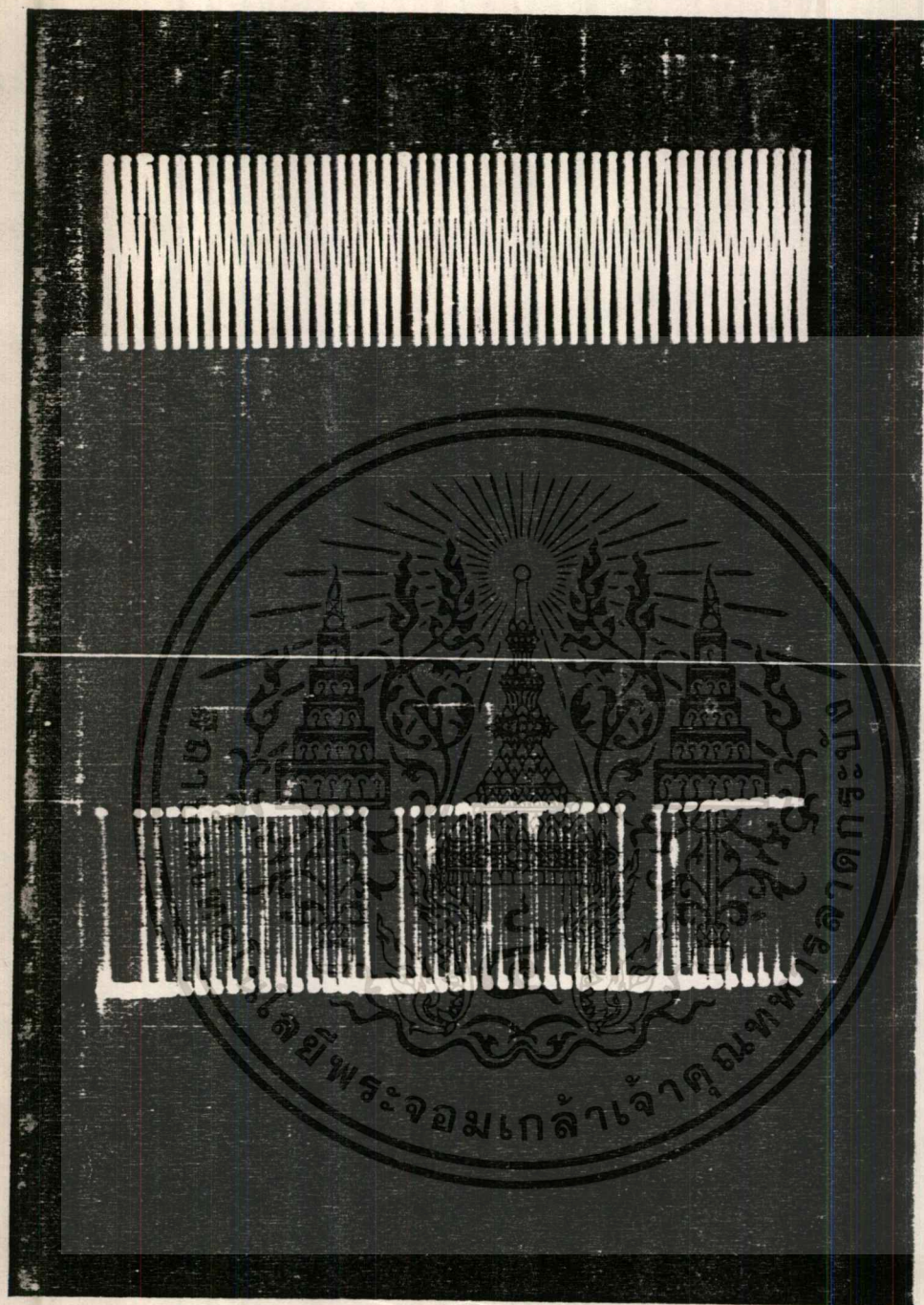
3. วงจรสร้าง Triangle wave

Triangle wave เป็นสัญญาณที่จะนำไปเปรียบเทียบกับ sine wave เพื่อให้ได้สัญญาณ PWM ออกมา ขั้นตอนการสร้าง เริ่มจากการรับสัญญาณ Full wave rectified จากวงจรในรูปที่ 17 นำมาเปรียบเทียบกับสัญญาณ dc ต่ำ ๆ ค่าหนึ่งในวงจรนี้ใช้ 0.08 V เพื่อให้เกิด Dead time 0.6 ms (Dead time เป็นช่วงเวลาระหว่างสัญญาณช่วงสั้น ๆ ที่จำเป็นจะต้องมีไว้เพื่อป้องกันการเหลื่อมกันของสัญญาณทางด้านวงจร Inverter ซึ่งจะทำให้เกิดการลัดวงจรได้) แล้วจึงนำสัญญาณนี้ไป Trig IC 555 ให้สร้างสัญญาณ Triangle ขนาดเล็ก ๆ ออกมา ผ่าน Buffer แล้วจึงนำไปป้อนให้กับวงจร Differential amplifier เพื่อให้ได้ Triangle wave ที่สมบูรณ์ หลังจากนั้นจึงไปเข้า IC 741 ทำหน้าที่เป็น comparator เปรียบเทียบสัญญาณ Triangle กับสัญญาณ Full wave rectified จากระบบ Feedback ลักษณะการต่อวงจรเป็นไปตามรูปที่ 18 โดยสัญญาณ Trig IC 555 และสัญญาณที่ได้ ดังรูปที่ 19



รูปที่ 18 แสดงวงจรสร้าง Triangle wave

เอกสารนี้เป็นเอกสารที่สงวนไว้สำหรับการใช้งานเพื่อการศึกษาเท่านั้น ไม่อนุญาตให้นำไปใช้ประโยชน์ด้านการค้า
ไม่ว่ากรณีใดๆทั้งสิ้น อีกทั้งห้ามมิให้ตัดแปลงเนื้อหา และต้องอ้างอิงถึงเจ้าของเอกสารทุกครั้งที่มีการนำไปใช้

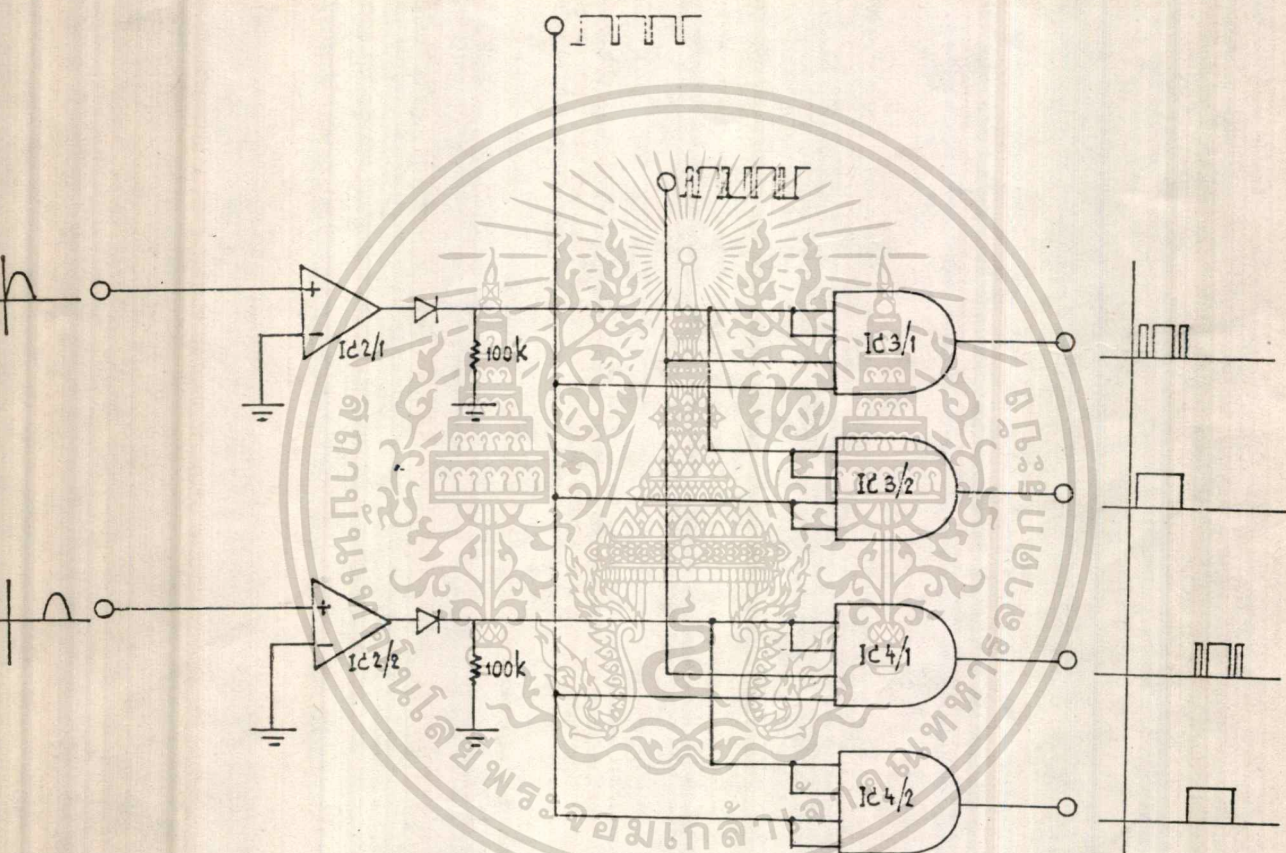


รูปที่ 19 แสดง Triangle wave และสัญญาณ PWM ต่อเนื่อง

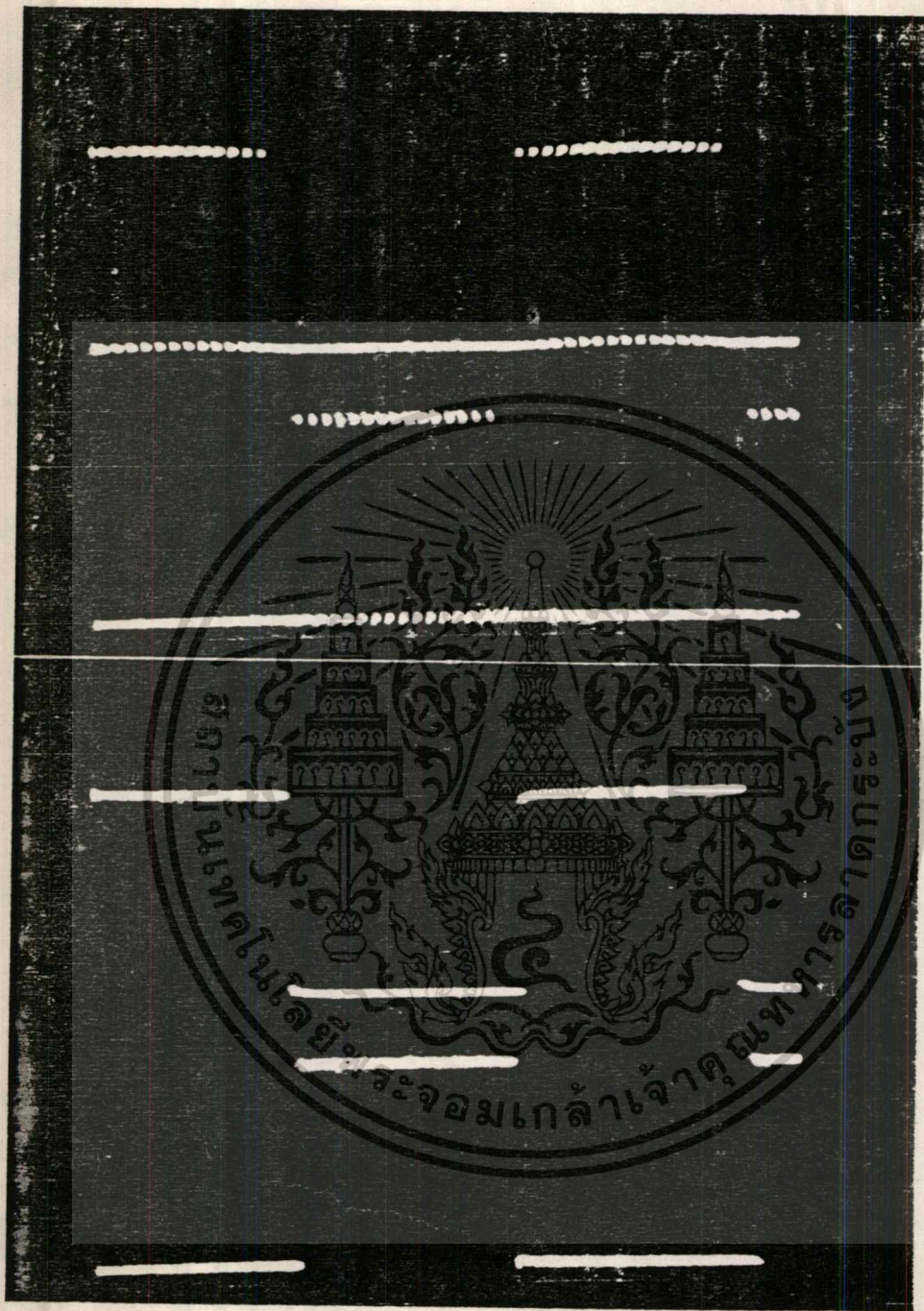
เอกสารนี้เป็นเอกสารที่สงวนไว้สำหรับการใช้งานเพื่อการศึกษาเท่านั้น ไม่อนุญาตให้นำไปใช้ประโยชน์ด้านการค้า
ไม่ว่ากรณีใดๆทั้งสิ้น อีกทั้งห้ามมิให้ดัดแปลงเนื้อหา 59 ละต้องอ้างอิงถึงเจ้าของเอกสารทุกครั้งที่มีการนำไปใช้

4. วงจรแยกสัญญาณ PWM

สัญญาณ PWM ที่ได้จากรูปที่ 18 เป็นสัญญาณ PWM ที่ต่อเนื่อง จำเป็น จะผ่านการแยกสัญญาณออกจากกันก่อนที่จะนำไป Trig FET โดยใช้ AND gate 4 ตัว แยกสัญญาณ PWM ออกเป็น 2 ส่วน และสัญญาณ Square wave 50 Hz ที่มี Dead time อีก 2 ส่วน ซึ่งเป็นไปตาม Block diagram การต่อวงจรดูได้จากรูปที่ 20 และ ลักษณะสัญญาณดูได้จากรูปที่ 21



รูปที่ 20 แสดงวงจรแยกสัญญาณ PWM



รูปที่ 21 สัญญาณ PWM และ Square wave ที่ใช้ควบคุม FET

เอกสารนี้เป็นเอกสารที่สงวนไว้สำหรับการใช้งานเพื่อการศึกษาเท่านั้น ไม่อนุญาตให้นำไปใช้ประโยชน์ด้านการค้า
ไม่ว่ากรณีใดๆทั้งสิ้น อีกทั้งห้ามมิให้ดัดแปลงเนื้อที่ 6.1 และต้องอ้างอิงถึงเจ้าของเอกสารทุกครั้งที่มีการนำไปใช้

ระบบ Feedback

ระบบ Feedback เป็นอีกส่วนหนึ่งที่สำคัญมากใน UPS เนื่องจาก UPS จะต้องแปลงไฟฟ้ากระแสตรงซึ่งมีแรงดันต่ำ ให้มีแรงดันสูง โดยใช้หม้อแปลงเป็นตัวเพิ่มระดับแรงดัน โดยธรรมชาติของหม้อแปลงแล้ว เมื่อมีการเปลี่ยนแปลงของโหลด จะทำให้เกิดการเปลี่ยนแปลงของระดับแรงดันด้วย ซึ่งเกิดจาก Regulation ของตัวหม้อแปลงนั่นเอง ดังนั้น ระบบของ UPS จึงจำเป็นต้องมี ระบบ Feedback เพื่อรักษาระดับแรงดันทางด้าน output ของหม้อแปลงให้คงที่อยู่ตลอดเวลา

ระบบ Feedback ของโครงงานนี้ สามารถอธิบายได้อย่างคร่าว ๆ ดังนี้ คือ เริ่มจากการรับสัญญาณไฟกระแสสลับมาเปลี่ยนเป็นไฟฟ้ากระแสตรง แล้วจึงนำมาเปรียบเทียบกับระดับแรงดันอ้างอิง เพื่อตรวจสอบดูว่า ต่ำกว่าหรือสูงกว่าระดับแรงดันอ้างอิงหรือไม่ ถ้าระดับแรงดันที่รับมาต่ำกว่าหรือสูงกว่าก็จะทำการเพิ่มหรือลดระดับของสัญญาณ sine wave ที่จะนำไปเปรียบเทียบกับสัญญาณ Triangle wave เพื่อให้ความกว้างของสัญญาณ PWM เปลี่ยนไป ซึ่งจะทำให้ระดับแรงดัน output เปลี่ยนแปลงเข้าสู่ระดับที่กำหนดไว้

วงจร Feedback

วงจรโดยสมบูรณ์ของระบบ Feedback แสดงไว้ในรูปที่ 22 ซึ่งสามารถอธิบายการทำงานของวงจรอย่างละเอียดได้ดังนี้

สัญญาณ Feedback จากทางด้าน output ผ่านหม้อแปลงลดระดับแรงดันเหลือ 9 Vrms แล้วจึงผ่าน bridge rectifier และ filter เพื่อแปลงเป็นไฟฟ้ากระแสตรง สำหรับใช้ในการเปรียบเทียบ ส่วน filter นี้ เป็นส่วนสำคัญของระบบ feedback เพราะระบบจะทำงาน ช้าหรือเร็ว ก็ขึ้นอยู่กับขนาดของ C และ R ใน filter ถ้าจะให้ได้ผลตอบสนองที่เร็วแล้ว ขนาดของ C หรือ R จะต้องน้อย แต่ก็มีผลเสีย คือ จะทำให้เกิด ripple voltage สูง ซึ่งจะเป็นอุปสรรคในการนำไปเปรียบเทียบ ฉะนั้น การออกแบบ filter จึงควรให้มีขนาดที่พอเหมาะ เมื่อได้สัญญาณส่วนนี้แล้ว จะนำไปผ่าน buffer คือ IC3/2 สัญญาณส่วนนี้ให้มีค่า V_2

สัญญาณอ้างอิง ใช้ voltage divider ปรับค่าแรงดันให้ได้ระดับประมาณ 12.8 V (เป็นค่า Peak ของ sine wave ที่มีระดับแรงดัน 9 Vrms) สัญญาณส่วนนี้ให้มีค่า V1

แรงดัน V1 และ V2 จะผ่าน IC Op-amp ที่ทำหน้าที่เป็น Differential amplifier สัญญาณ output ที่ได้จะเป็น $(V2 - V1) \mu$ โดยที่ μ คือ อัตราขยายของ differential amp. ซึ่งกำหนดโดยค่า R ภายในวงจร output ออกจาก differential amp. ก็คือ ripple voltage ที่ถูกขยายนั่นเอง สัญญาณที่ได้นี้จะถูกกำหนดให้อยู่ในขอบเขตที่จำกัด คือ +13 V และ -13 V ถ้าสัญญาณนี้เกินจาก +13 V จะเป็นลักษณะของแรงดันเกิน และถ้าต่ำกว่า -13 V จะเป็นลักษณะแรงดันตก การจำกัดขอบเขตนั้นใช้ Op-amp 2 ตัว เป็น comparator ถ้าแรงดันตก output ของ IC3/4 จะเป็น +15 V ถ้าแรงดันเกิน output ของ IC741 จะเป็น +15 V

สัญญาณจาก comparator ทั้งสองตัวจะผ่านไดโอดเพื่อให้ได้ output ที่เป็น +15 V กับ ground เท่านั้นเพื่อที่จะป้อนให้กับ IC 4048 (Tri-state expandable 8-function 8-input gate) สาเหตุที่ใช้ IC ตัวนี้ เนื่องจาก IC 4048 นี้ ให้ output ที่เป็น 3 สถานะ คือ +15 V , ground และ High impedance (ข้อมูลการใช้ IC 4048 อยู่ใน Appendix) ซึ่งจะแยกให้ทราบได้ว่า แรงดันตก , แรงดันเกิน หรือแรงดันเป็นไปตามที่กำหนดไว้แล้ว

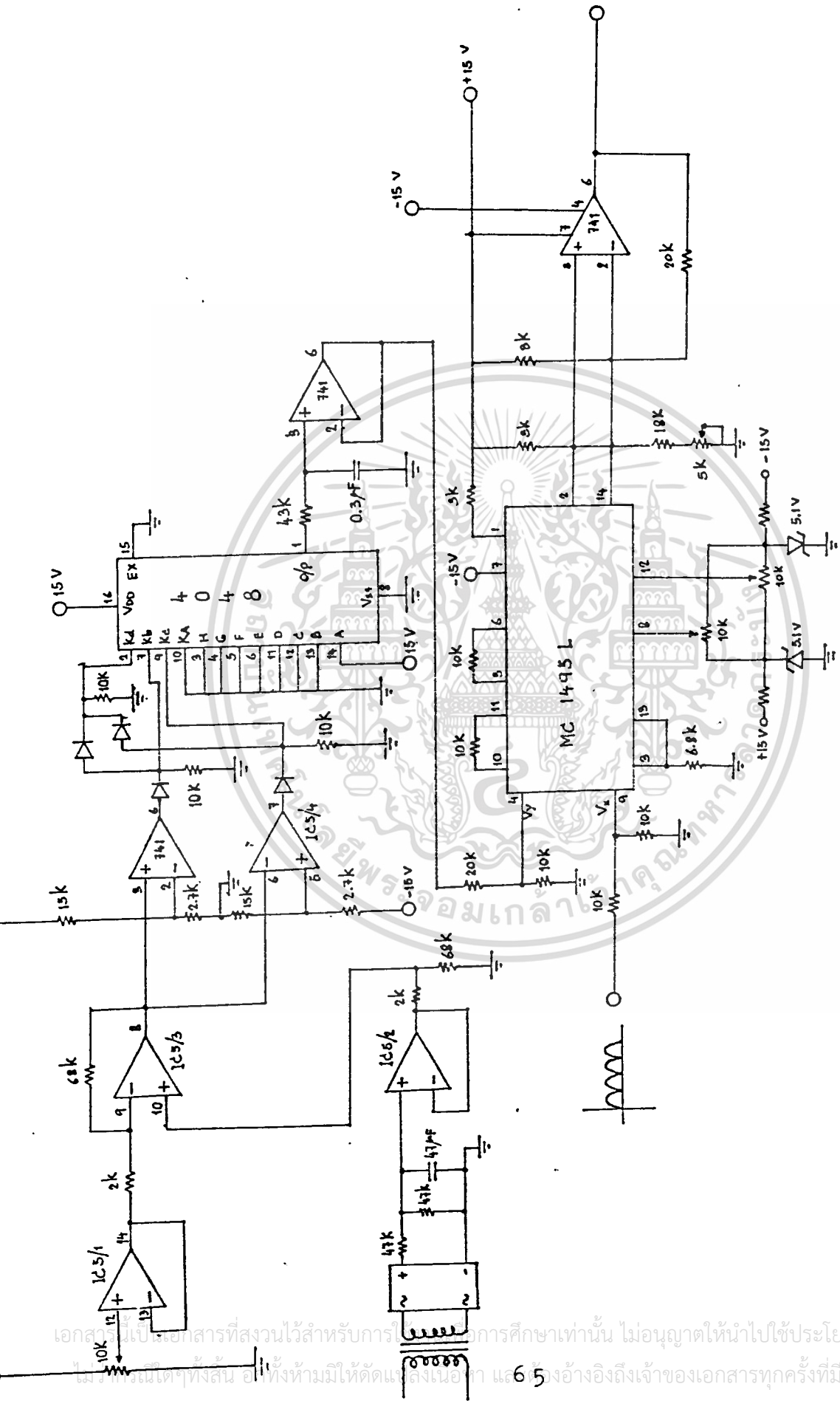
การต่อวงจรของ IC 4048 เพื่อให้ได้ output ที่ต้องการ ทำได้โดยต่อ input ของ IC ให้คงที่ไว้ค่าหนึ่งแล้วจึงใช้สัญญาณจาก comparator มาทำการเปลี่ยน function ของ IC ให้เป็น OR gate หรือ AND gate ซึ่งจะทำได้ output เป็นไปตามตารางดังนี้

control input			output
Kb	Kc	Kd	
0	1	1	1
1	0	1	0
0	0	0	High impedance

output ที่ได้จาก IC 4048 นี้ จะเป็นสัญญาณที่จะนำไป charge ,discharge หรือ คงค่าแรงดันของ C ไว้ การ charge หรือ discharge ค่า C จะผ่านความต้านทานตัวหนึ่ง ซึ่งเป็นตัวกำหนดอัตราการเพิ่มหรือลดระดับแรงดันที่คร่อม C แรงดันที่คร่อม C จะผ่าน buffer โดยใช้ IC 741 ซึ่งมี input impedance สูงมาก

output จาก IC 741 ซึ่งก็คือระดับแรงดันของ C จะถูกส่งเข้า IC 1495 (Linear four-quadrant Multiplier) ซึ่งเป็น IC ที่ทำหน้าที่คูณสัญญาณ dc ที่ได้จาก IC741 กับสัญญาณ Full wave rectified ดังนั้นเมื่อระดับแรงดันที่คร่อม C เปลี่ยนไป ก็จะทำให้ระดับสัญญาณ Full wave rectified เปลี่ยนไปด้วย สัญญาณนี้ก็จะถูกนำไป เปรียบเทียบกับสัญญาณ Triangle wave ต่อไป





รูปที่ 22 วงจร Feedback

เอกสารนี้เป็นเอกสารที่สงวนไว้สำหรับการใช้เพื่อการศึกษาเท่านั้น ไม่อนุญาตให้นำไปใช้ประโยชน์ด้านการค้า
 ไม่ว่ากรณีใดๆทั้งสิ้น อีกทั้งห้ามมิให้คัดลอกเอกสารนี้ และ 555 อย่งอิงถึงเจ้าของเอกสารทุกครั้งที่มีการนำไปใช้

วงจร Gate driver

สัญญาณ PWM ที่ได้จากวงจรสร้างสัญญาณ PWM ไม่สามารถที่จะนำไปป้อนให้กับ FET โดยตรงได้ จำเป็นที่จะต้องมียังวงจรที่แยกระบบ Power และ ระบบ control ออกจากกัน

ในโครงการนี้ การ drive FET คู่บนของวงจร Bridge Inverter: วงจร Bridge inverter แสดงไว้ใน รูปที่ 25) ใช้ Pulse transformer และ FET คู่ล่างใช้ Opto Isolator สาเหตุที่ FET คู่บนต้องใช้ Pulse transformer เนื่องจากปัญหาเรื่องระบบ ground ซึ่งจากวงจร Bridge Inverter ในรูปที่ 25 จะเห็นว่าแรงดันที่จะมา drive FET ซึ่งก็คือ V_{gs} (gate to source voltage) ไม่สามารถที่จะใช้ ground ร่วมกับ ground ของ supply หลักได้ ถ้าจะใช้ Opto-Isolator เป็นตัว drive FET คู่บนแล้ว จำเป็นจะต้องสร้าง supply ขึ้นมาใหม่อีกเพียงเพื่อที่จะแยกระบบ ground ออกจากกัน ดังนั้นการใช้ Pulse transformer จึงเป็นวิธีหนึ่งที่สามารถแก้ปัญหานี้ได้

การออกแบบ Pulse Transformer

Pulse Transformer ที่ใช้ในวงจรนี้ใช้แกนชนิดเฟอร์ไรท์ ซึ่งสามารถทำงานที่ความถี่สูงได้โดยไม่เกิดความร้อนในแกน อย่างที่เกิดขึ้นในแกนเหล็ก

การออกแบบ Pulse transformer ในโครงการนี้ ออกแบบให้สามารถทำงานกับ Pulse ที่กว้างไม่เกิน 1 ms ซึ่งกว้างเป็น 2 เท่าของความกว้างที่กว้างที่สุดของสัญญาณ PWM ที่ใช้อยู่ ขั้นตอนและสมการที่ใช้ในการออกแบบมีดังนี้

แกนเฟอร์ไรท์ ที่ใช้มีพื้นที่หน้าตัด $0.01 \times 0.01 \text{ m}^2$ และมี gap กว้าง 2 mm

ในการออกแบบใช้ค่า $B = 0.1 \text{ T}$ และใช้ supply 15 V

การออกแบบเริ่มจากการหาค่ากระแสทั้งหมดที่ทำให้ได้ค่า $B = 0.1 \text{ T}$

จากสมการ

$$B = \mu H$$

$$= \mu \frac{Ni}{l}$$

ดังนั้น

$$Ni = \frac{Bl}{\mu}$$

โดยที่ $\mu = 4\pi \times 10^{-7}$

N = จำนวนรอบของขดลวด (T)

l = ระยะห่างของ gap (m)

i = กระแสที่ไหลในขดลวดต่อหนึ่งรอบ (A)

แทนค่าในสมการจะได้

$$Ni = \frac{0.1 \times 2 \times 10^{-3} \times 10^7}{4\pi}$$

$$= 159 \text{ A-T}$$

หาค่า Reluctance ของแกน

$$R = \frac{l}{\mu A}$$

$$= \frac{2 \times 10^{-3} \times 10^7}{4\pi \times 0.01 \times 0.01}$$

$$= 16 \times 10^6$$

จากสมการ

$$e = L \frac{di}{dt} \quad ; \quad L = \frac{N^2}{R}$$

$$= \frac{N^2}{R} \frac{di}{dt}$$

$$= \frac{N}{R} \frac{dNi}{dt}$$

$$= \frac{N}{R} \frac{\Delta Ni}{\Delta t}$$

ดังนั้น

$$N = \frac{eR \Delta t}{\Delta Ni}$$

$$= \frac{15 \times 16 \times 10^6 \times 1 \times 10^{-9}}{159} = 1500 \quad T$$

จำนวนรอบที่ได้นำมาหา voltage per turn จะได้

$$\frac{V}{N} = \frac{15}{1500} = 0.01 \quad V/T$$

ทางด้าน output นั้น ต้องการ voltage = 25 V

ดังนั้น สามารถหาจำนวนรอบด้าน secondary ของ Pulse transformer ได้ดังนี้

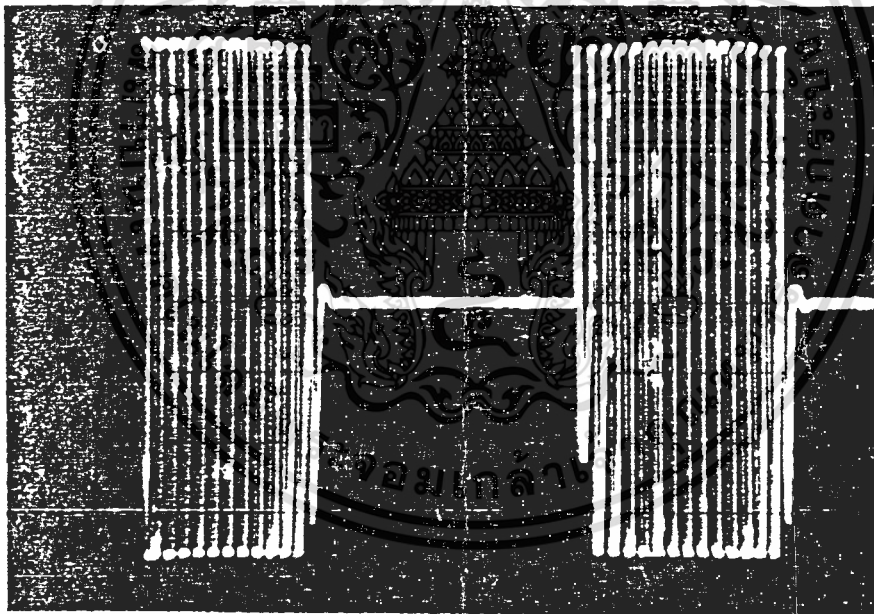
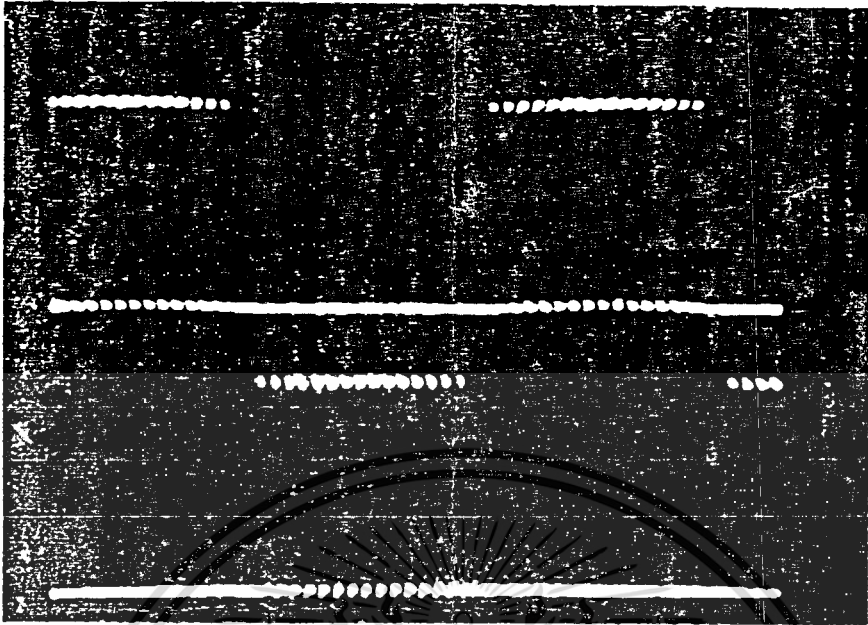
$$N_2 = \frac{25}{0.01} = 2500 \quad T$$

ในโครงงานนี้ เมื่อนำหม้อแปลงที่ออกแบบมาทดสอบ ปรากฏว่าได้ผลใกล้เคียงกับการคำนวณตามทฤษฎี ซึ่ง input ทางด้าน primary และ output ทางด้าน secondary ของ pulse transformer แสดงไว้ในรูปที่ 25

เมื่อนำมาใช้ จะใช้ซีเนอริไดโอด ขนาด 18 V ลดแรงดันให้เหลือ 18 V เพื่อใช้ในการควบคุม FET

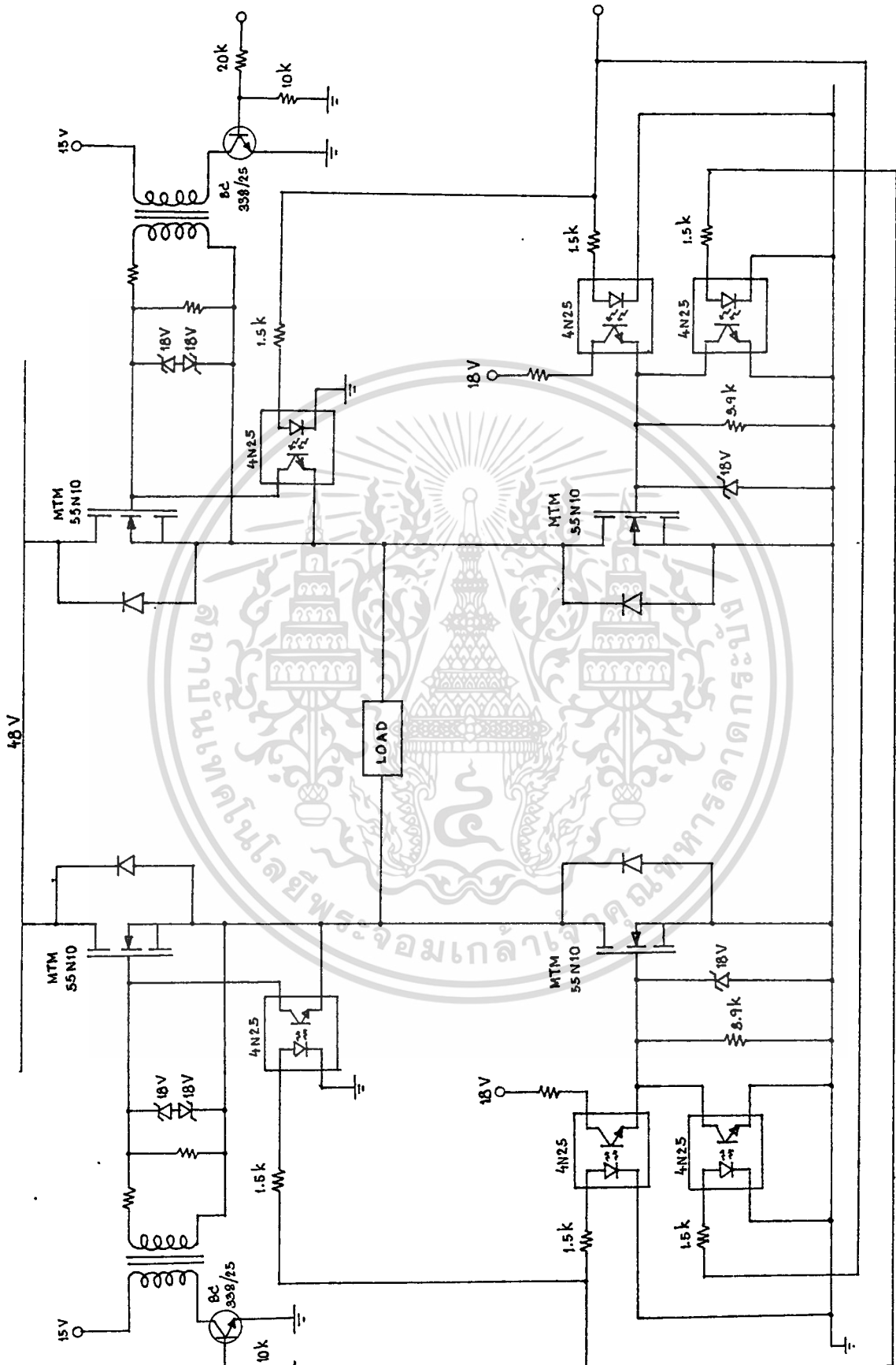
วงจร Drive FET และวงจร Bridge Inverter แสดงไว้ในรูปที่ 26





รูปที่ 25 แสดง Input และ Output ของ Pulse transformer

เอกสารนี้เป็นเอกสารที่สงวนไว้สำหรับการใช้งานเพื่อการศึกษาเท่านั้น ไม่อนุญาตให้นำไปใช้ประโยชน์ด้านการค้า
ไม่ว่ากรณีใดๆทั้งสิ้น อีกทั้งห้ามมิให้ดัดแปลงเนื้อหา และต้องอ้างอิงถึงเจ้าของเอกสารทุกครั้งที่มีการนำไปใช้



รูปที่ 26 วงจร Inverter และ วงจร Gate driver

เอกสารนี้เป็นเอกสารที่สงวนไว้สำหรับการใช้งานเพื่อการศึกษาเท่านั้น ไม่อนุญาตให้นำไปใช้ประโยชน์ด้านการค้า
ไม่ว่ากรณีใดๆทั้งสิ้น อีกทั้งห้ามมิให้ดัดแปลงเนื้อหา และต้องอ้างอิงถึงเจ้าของเอกสารทุกครั้งที่มีการนำไปใช้

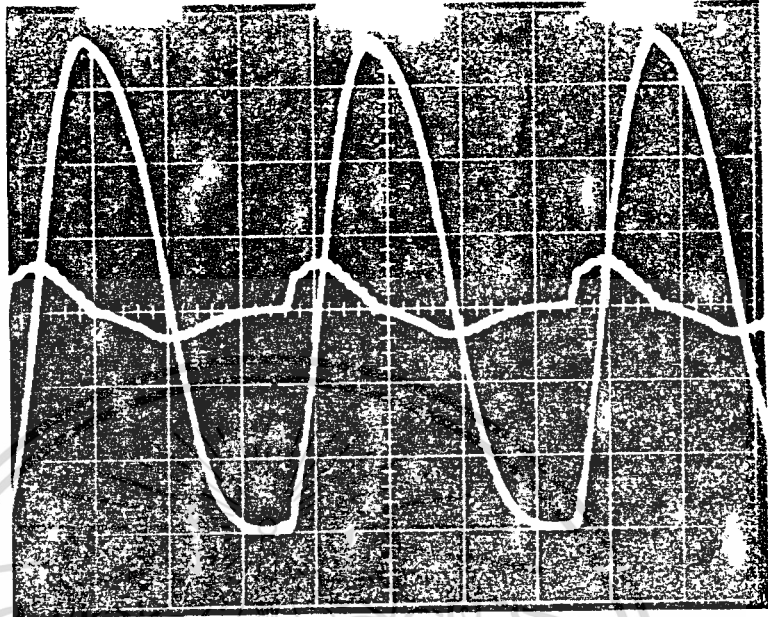
ผลการทดลอง

โหลด (Watt)	Input			Output			ประสิทธิภาพ (%)
	V_{in}	I_{in}	P_{in}	V_L	I_L	P_L	
No load	48	0.6	28	232	0	0	-
100	48	2.6	124	215	0.4	86	69
200	48	5.8	278	220	0.8	176	63
300	48	7.0	336	210	1.2	252	75
400	48	12.1	580	203	1.6	324	55
500	48	14.4	691	185	2.0	370	53

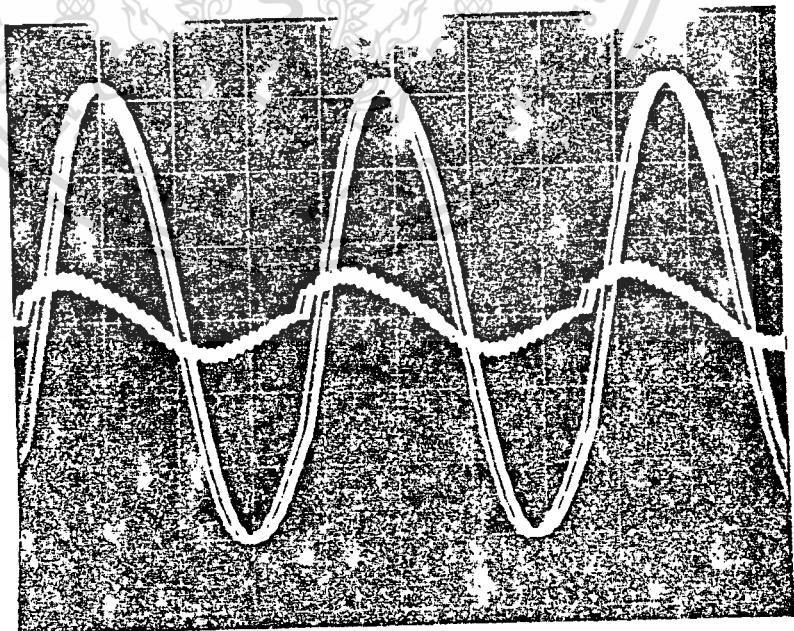
เอกสารนี้เป็นเอกสารที่สงวนไว้สำหรับการใช้งานเพื่อการศึกษาเท่านั้น ไม่อนุญาตให้นำไปใช้ประโยชน์ด้านการค้า

ไปว่ากรณิดังนี้ ลึกทั้งห้าเบิให้ตัดแปลงเนื้อหา และต้องอ้างถึงถึงเจ้าของเอกสารทุกครั้งที่มีการนำไปใช้

ลักษณะรูปคลื่น แรงดัน-กระแส OUTPUT

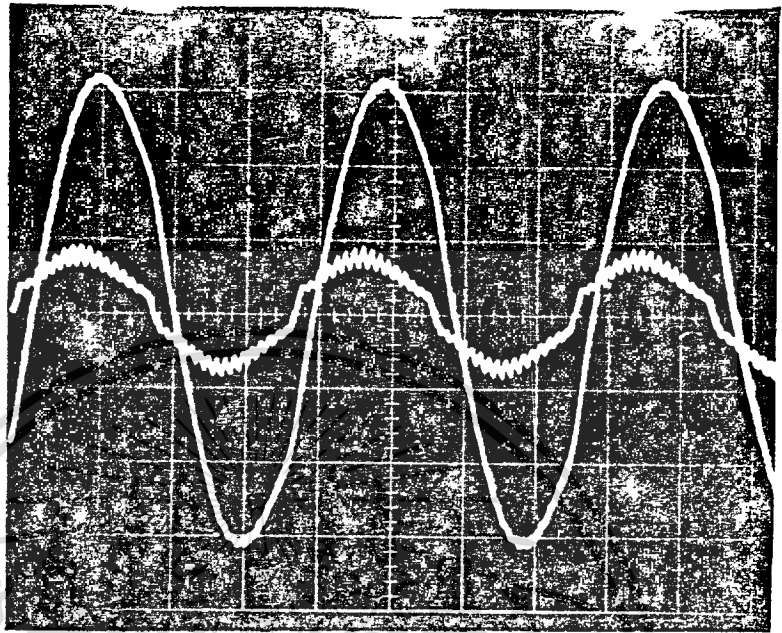


(ก) No-load

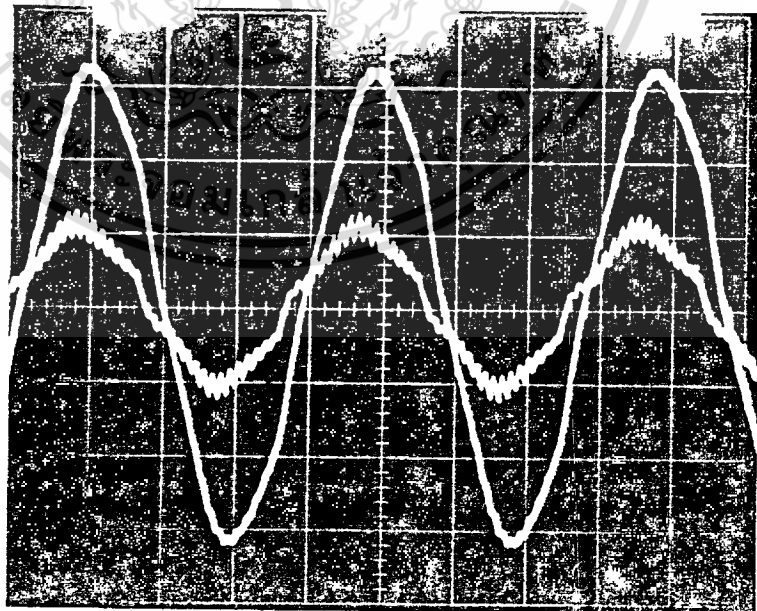


(ข) load ทลวัตไฟ 100 Watt

เอกสารนี้เป็นเอกสารที่สงวนไว้สำหรับการใช้งานเพื่อการศึกษาเท่านั้น ไม่อนุญาตให้นำไปใช้ประโยชน์ด้านการค้า

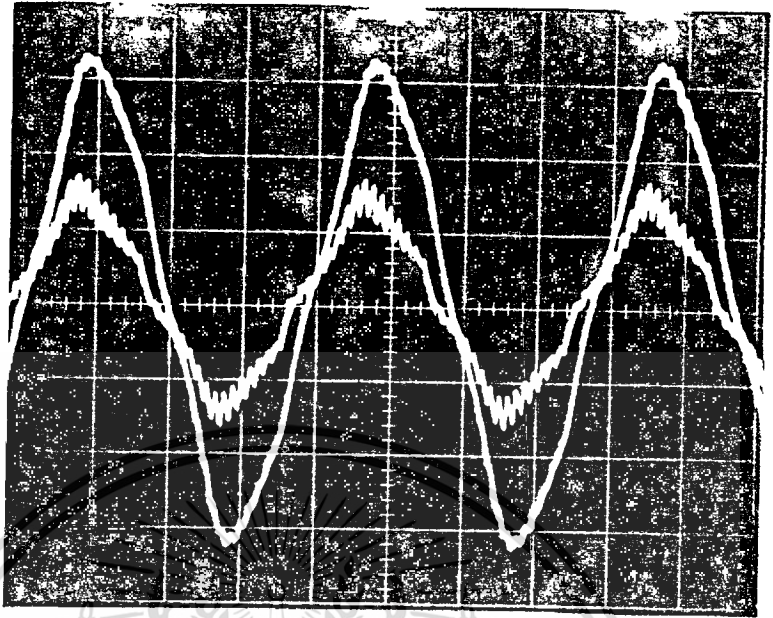


(A) load หลอดไฟ 200 Watt

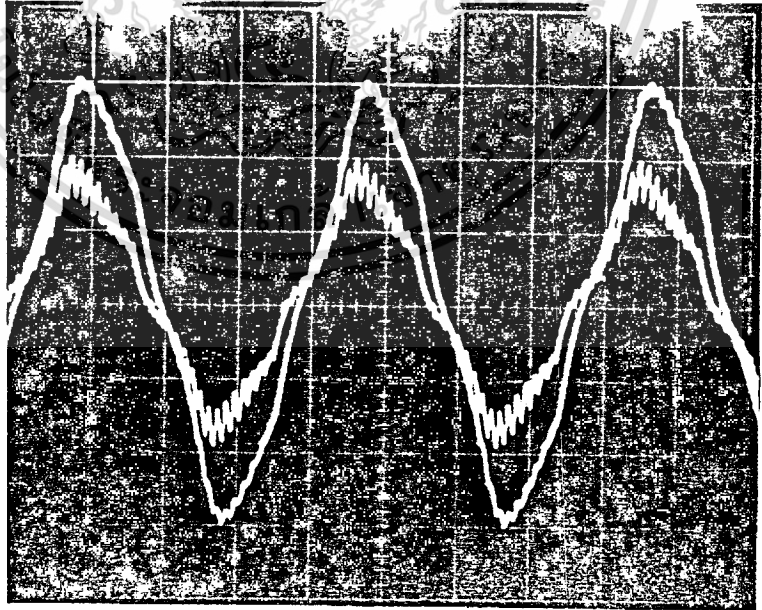


(B) load หลอดไฟ 300 Watt

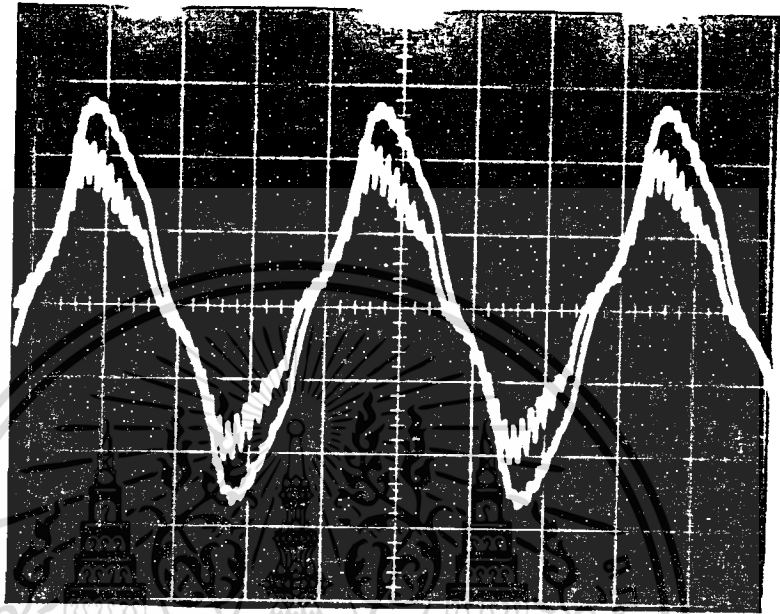
เอกสารนี้เป็นเอกสารที่สงวนไว้สำหรับการใช้งานเพื่อการศึกษาเท่านั้น ไม่อนุญาตให้นำไปใช้ประโยชน์ด้านการค้า



(จ) load หลอดไฟ 400 Watt



(ข) load หลอดไฟ 500 Watt



(ซ) load หลอดไฟ 600 Watt

สรุปผลการทดลองและวิจารณ์

ระบบของ UPS เป็นระบบที่ใหญ่ ประกอบด้วยหลายส่วนด้วยกัน ในโครงการนี้ได้ศึกษาเฉพาะส่วนที่สำคัญของ UPS คือ ส่วน Inverter 50 Hz และ ส่วนป้อนกลับ (Feedback) เพื่อควบคุมระดับแรงดันทางด้านโวลต์ให้คงที่ ซึ่งสามารถที่จะนำกระแสไฟฟ้าจากแบตเตอรี่ มาเปลี่ยนเป็นไฟฟ้า กระแสสลับ 50 Hz ได้ โดยในการทดลองนั้น ได้ทดลองใช้กับโวลต์ที่เป็นหลอดไฟ หลอดละ 100 วัตต์ จำนวน 5 หลอด จากผลการทดลอง จะเห็นว่า เมื่อเพิ่มจำนวนหลอดไฟถึงหลอดที่ 4 ระดับแรงดันทางโวลต์ลดลงไปมาก ทั้งนี้เนื่องจากระบบป้อนกลับได้เพิ่มเปอร์เซ็นต์การมอดดูเลตระหว่าง sine wave และ triangle wave ถึง 100 % แล้ว ก็ยังไม่สามารถเพิ่มระดับแรงดันทางโวลต์ให้อยู่ในระดับที่ต้องการได้ วิธีแก้มี 2 วิธี คือ

1. เพิ่มอัตราส่วน (ratio) ของหม้อแปลงให้สูงขึ้นอีก ในการทดลองนั้นได้เพิ่มอัตราส่วนของหม้อแปลงตัวที่ใช้จนสูงที่สุดแล้ว
2. เพิ่มแรงดันของแบตเตอรี่ ขึ้นไปอีก โดยนำแบตเตอรี่มาต่ออนุกรมเพิ่มเข้าไปอีก เพื่อเป็นการเพิ่มแรงดันต่อรอบ (voltage per turn) ในหม้อแปลงให้สูงขึ้น ซึ่งจะทำให้ได้แรงดันทางด้าน secondary ของหม้อแปลงสูงขึ้น

จากลักษณะสัญญาณทางด้านโวลต์ จะเห็นว่า ลักษณะสัญญาณเปลี่ยนไปจาก sine wave เล็กน้อย เนื่องจากใช้ Filter ที่เป็น Low pass filter ซึ่งถ้าต้องการลักษณะสัญญาณที่ ใกล้ sine wave มากกว่านี้ ควรใช้ Filter ที่เป็น Band pass filter ซึ่งจะสามารถลด Harmonics ต่าง ๆ ลงไปได้มาก

ตามจุดประสงค์ของโครงการคือ

1. ศึกษาการใช้งาน MOSFET จากการใช้งาน MOSFET ในโครงการนี้พบว่า MOSFET มีข้อดีและข้อเสีย ดังนี้

ข้อดีของ MOSFET

- ก) ควบคุมการทำงานได้ง่ายกว่าอุปกรณ์ลวอิทซึ่งชนิดอื่นมาก คือวงจร Drive MOSFET นั้น ต้องการกระแสต่ำมาก

กิตติกรรมประกาศ

คณะผู้จัดทำขอกราบขอบพระคุณอาจารย์ พิชิต ภายองอาจารย์ที่ปรึกษา
เป็นอย่างสูงที่ได้ให้คำปรึกษา ชี้แนะแนวทางต่าง ๆ มาโดยตลอด
และขอขอบพระคุณ คุณ อภิชาญ มาไพศาลสิน วิศวกร บริษัท ABB
ที่ได้เอื้อเฟื้อข้อมูลและแนวทางการศึกษาวิทยานิพนธ์นี้ ขอขอบคุณ รุ่งพี
เพื่อนาทุกท่าน ที่ให้ความกรุณาช่วยเหลือ และให้กำลังใจมาโดยตลอด

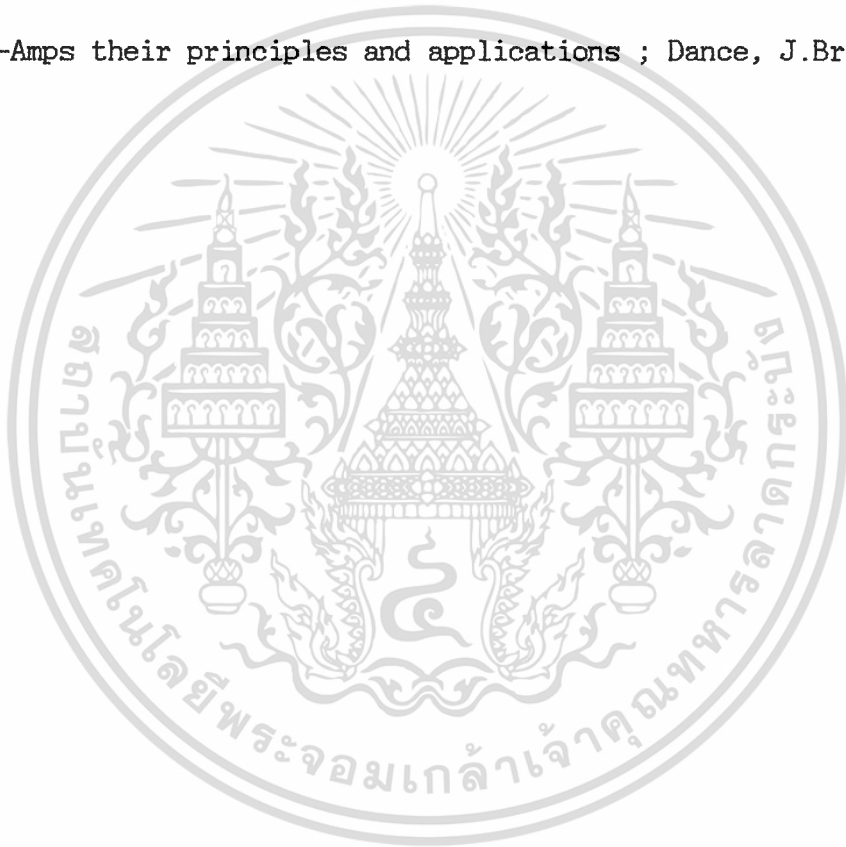


หนังสืออ้างอิง

ABC's of FET's ; Turner, Rufus P.

Power FETs and their application ; Oxner, Edwin S.

Op-Amps their principles and applications ; Dance, J.Brain



เอกสารนี้เป็นเอกสารที่สงวนไว้สำหรับการใช้งานเพื่อการศึกษาเท่านั้น ไม่อนุญาตให้นำไปใช้ประโยชน์ด้านการค้า
ไม่ว่ากรณีใดๆทั้งสิ้น อีกทั้งห้ามมิให้ดัดแปลงเนื้อหา และต้องอ้างอิงถึงเจ้าของเอกสารทุกครั้งที่มีการนำไปใช้

ORDERING INFORMATION

Device	Temperature Range	Package
MC1495L	0°C to +70°C	Ceramic DIP
MC1595L	-55°C to +125°C	Ceramic DIP

MC1495L
MC1595L

Specifications and Applications Information

WIDEBAND MONOLITHIC FOUR-QUADRANT MULTIPLIER

... designed for uses where the output is a linear product of two input voltages. Maximum versatility is assured by allowing the user to select the level shift method. Typical applications include: multiply, divide, square root, mean square, phase detector, frequency doubler, balanced modulator/demodulator, electronic gain control.

*When used with an operational amplifier.

- Wide Bandwidth
- Excellent Linearity - 1% max Error on X-Input, 2% max Error on Y-Input - MC1595L
- Excellent Linearity - 2% max Error on X-Input, 4% max Error on Y-Input - MC1495L
- Adjustable Scale Factor, K
- Excellent Temperature Stability
- Wide Input Voltage Range - ± 10 Volts
- ± 15 Volt Operation

LINEAR FOUR-QUADRANT
MULTIPLIER

SILICON MONOLITHIC
INTEGRATED CIRCUIT



L SUFFIX
CERAMIC PACKAGE
CASE 632 93

FIGURE 1 - FOUR-QUADRANT
MULTIPLIER TRANSFER CHARACTERISTIC

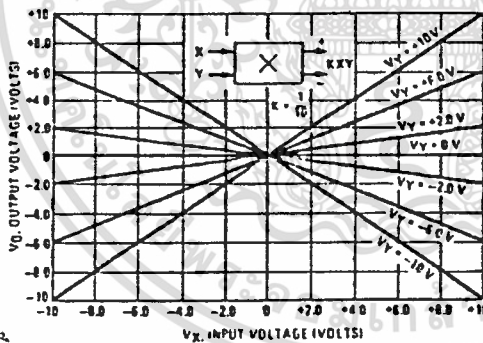


FIGURE 2 - TRANSCONDUCTANCE BANDWIDTH

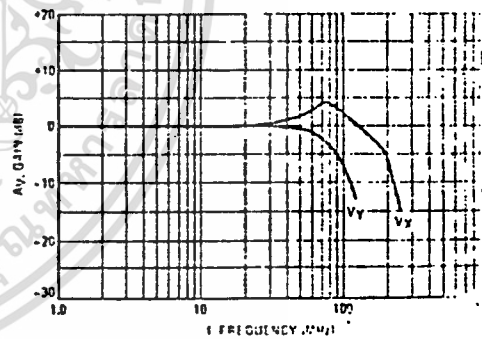
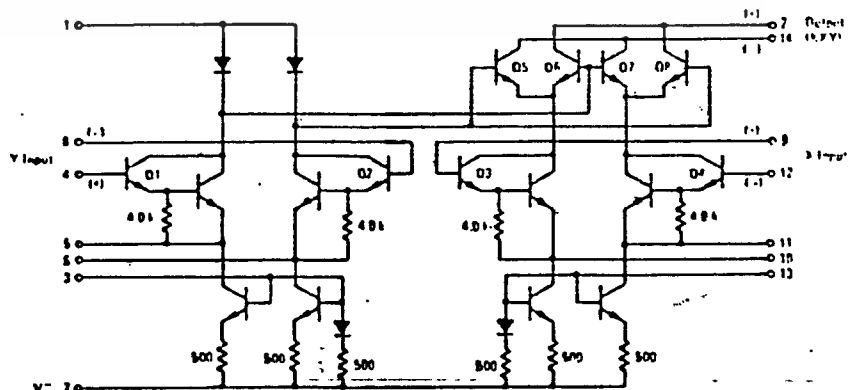


FIGURE 3 - CIRCUIT SCHEMATIC



เอกสารนี้เป็นเอกสารที่สงวนไว้สำหรับการใช้ภายในเท่านั้น ไม่ควรเผยแพร่โดยไม่ได้รับอนุญาตจากฝ่ายเทคนิค

MOTOROLA LINEAR/INTERFACE DEVICES

ไม่ว่ากรณีใดๆทั้งสิ้น อีกทั้งห้ามมิให้ดัดแปลงเนื้อหา และต้องอ้างอิงถึงเจ้าของเอกสารทุกครั้งที่มีการนำไปใช้

1495L, MC1595L

ELECTRICAL CHARACTERISTICS (V+ = +32 V, V- = -15 V, TA = +25°C, I3 = I13 = 1.0 mA, RX = RY = 15 kΩ, RL = 11 kΩ unless otherwise noted)

Characteristic	Figure	Symbol	Min	Typ	Max	Unit
Linearity: Output Error Percent of Full Scale: TA = +25°C -10 < VY < +10 (VY = ±10 V) -10 < VX < +10 (VX = ±10 V) TA = 0 to +75°C -10 < VY < +10 (VY = ±10 V) -10 < VX < +10 (VX = ±10 V) TA = -55 to +125°C -10 < VY < +10 (VY = ±10 V) -10 < VX < +10 (VX = ±10 V)	5	ERX ERY ERX ERY ERX ERY	— — — — — —	±1.0 ±0.5 ±2.0 ±1.0 ±1.5 ±3.0	±2.0 ±1.0 ±4.0 ±2.0 — —	%
Square Wave Error: Accuracy Percent of Full Scale After Offset and Scale Factor Adjustment TA = +25°C TA = 0 to +75°C TA = -55 to +125°C	5	ESQ	— — — —	— — — —	— — — —	%
Scale Factor (Adjustable) (K = $\frac{V_{OUT}}{13 \frac{V_{IN}}{10}}$)	—	K	—	0.1	—	—
Input Resistance (f = 20 Hz)	7	RINX RINY	— — — —	30 35 20 35	— — — —	MΩ
Differential Output Resistance (f = 20 Hz)	8	RO	—	300	—	kΩ
Input Bias Current $I_{bx} = \frac{(I_{y1} + I_{y2})}{2}$, $I_{by} = \frac{(I_{x1} + I_{x2})}{2}$	6	Ibx Iby	— — — —	2.0 2.0 2.0 2.0	12 8.0 12 8.0	μA
Input Offset Current $I_{g1} - I_{g2}$ $I_{x1} - I_{x2}$	6	Iiox Iioy	— — — —	0.4 0.2 0.4 0.2	2.0 1.0 2.0 1.0	μA
Average Temperature Coefficient of Input Offset Current (TA = 70 to 70°C) (TA = -55°C to +125°C)	6	TCio	— —	2.5 2.5	— —	nA/°C
Output Offset Current $I_{o1} - I_{o2}$	6	Iool	— —	20 10	100 50	μA
Average Temperature Coefficient of Output Offset Current (TA = 70 to 70°C) (TA = -55°C to +125°C)	6	TCiool	— —	20 20	— —	nA/°C
Frequency Response 3.0 dB Bandwidth, RL = 11 kΩ 3.0 dB Bandwidth, RL = 50 Ω (Transconductance Bandwidth) 3° Relative Phase Shift Between VX and VY 1% Absolute Error Due to Input-Output Phase Shift	9,10	BW3dB TBW3 dB φP fP	— — — —	3.0 80 750 30	— — — —	MHz MHz kHz kHz
Common-Mode Input Swing (Eithel input)	11	CMV	±10.5 ±11.5	±12 ±13	— —	Vdc
Common-Mode Gain (Eithel input)	11	ACM	-40 -50	-50 -60	— —	dB
Common-Mode Quiescent Output Voltage	12	VO1 VO2	— —	21 21	— —	Vdc
Differential Output Voltage Swing Capability	9	VO	—	±14	—	Vpeak
Power Supply Sensitivity	12	S+ S-	— —	6.0 10	— —	mV/V
Power Supply Current	12	IP	—	6.0	7.0	mA
DC Power Dissipation	12	PD	—	135	170	mW

FIGURE 6 - INPUT AND OUTPUT CURRENT

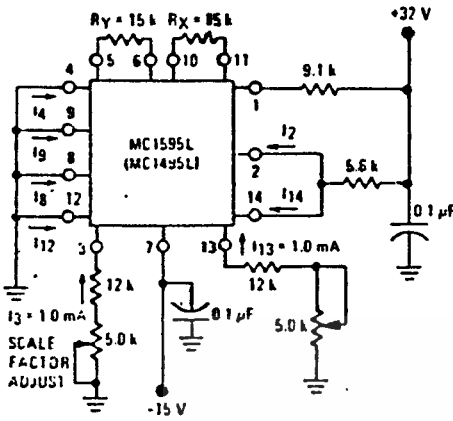


FIGURE 7 - INPUT RESISTANCE

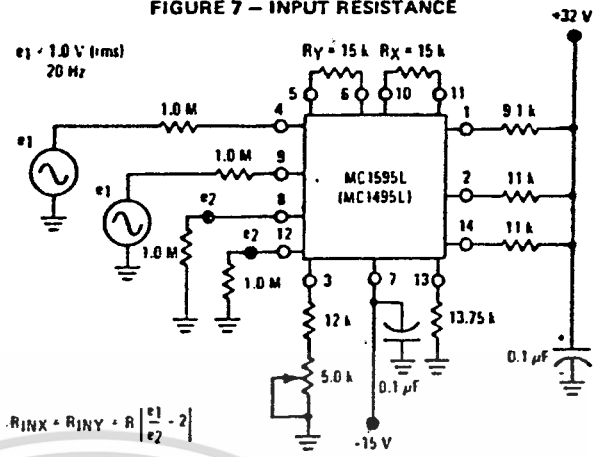


FIGURE 8 - OUTPUT RESISTANCE

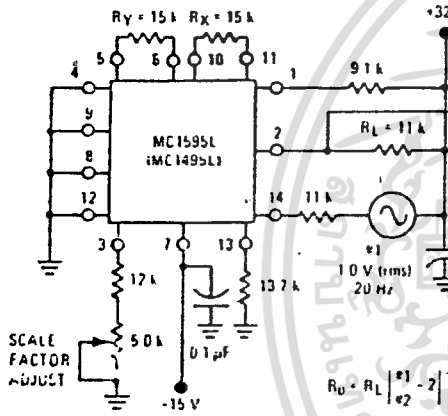


FIGURE 9 - BANDWIDTH ($R_L = 11\text{ k}\Omega$)

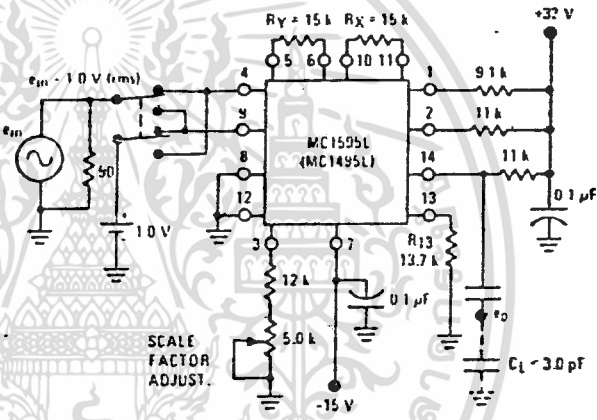


FIGURE 10 - BANDWIDTH ($R_L = 50\ \Omega$)

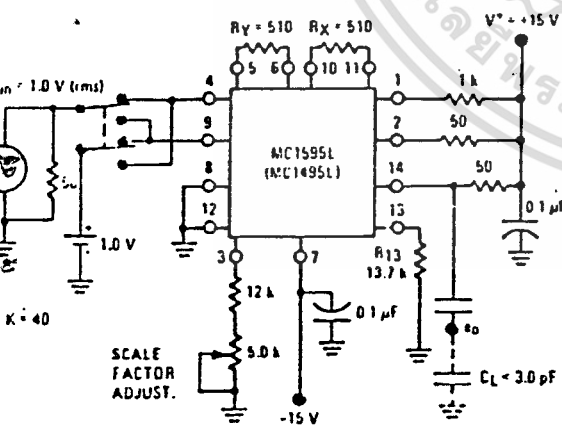
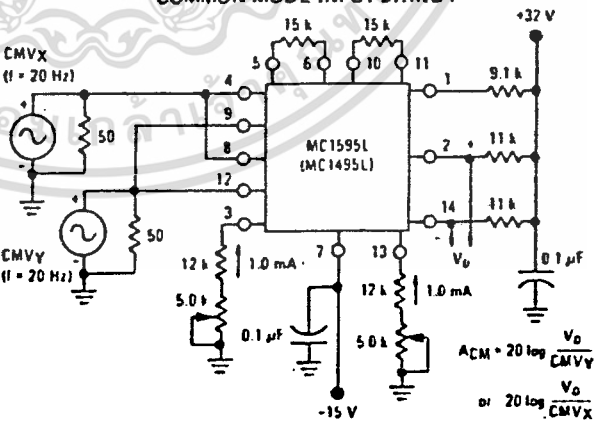


FIGURE 11 - COMMON-MODE GAIN and COMMON-MODE INPUT SWING



TEST CIRCUITS (continued)

FIGURE 12 — POWER SUPPLY SENSITIVITY

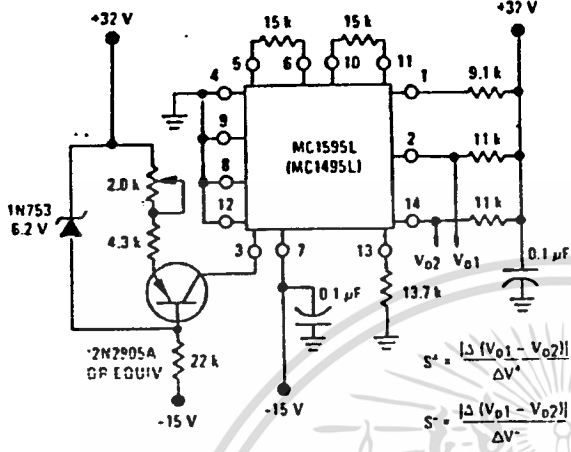


FIGURE 13 — OFFSET ADJUST CIRCUIT

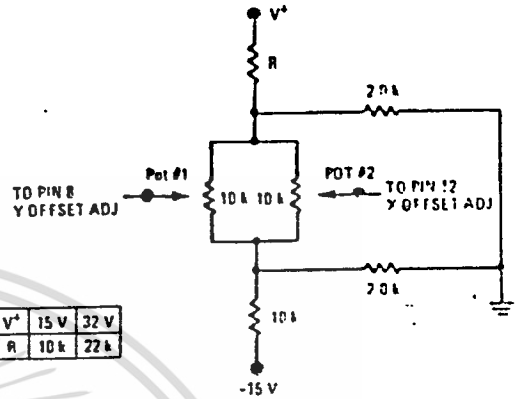
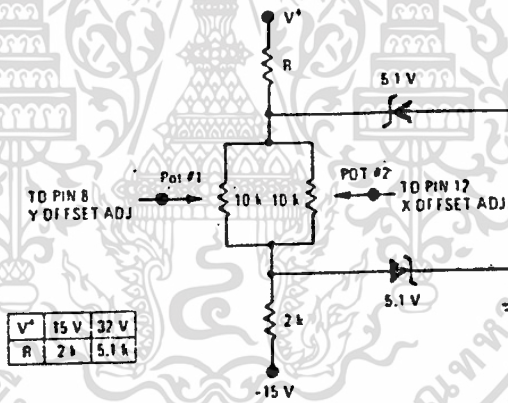


FIGURE 14 — OFFSET ADJUST CIRCUIT (ALTERNATE)



TYPICAL CHARACTERISTICS

FIGURE 15 - LINEARITY versus TEMPERATURE

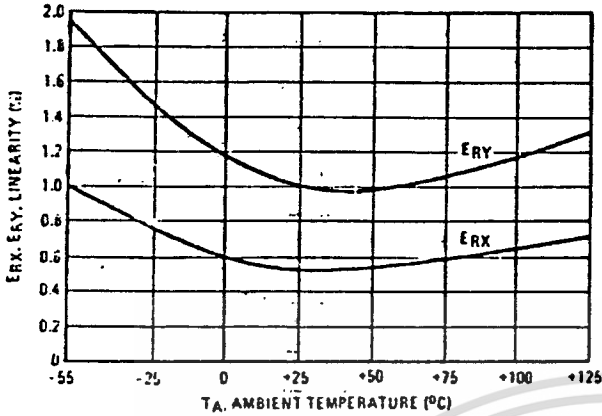


FIGURE 16 - SCALE FACTOR versus TEMPERATURE

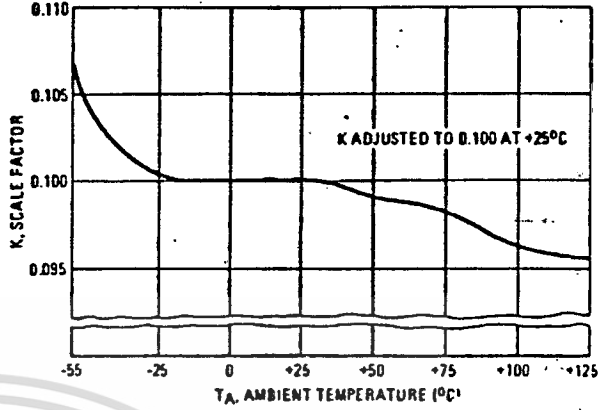


FIGURE 17 - ERROR CONTRIBUTED BY INPUT DIFFERENTIAL AMPLIFIER

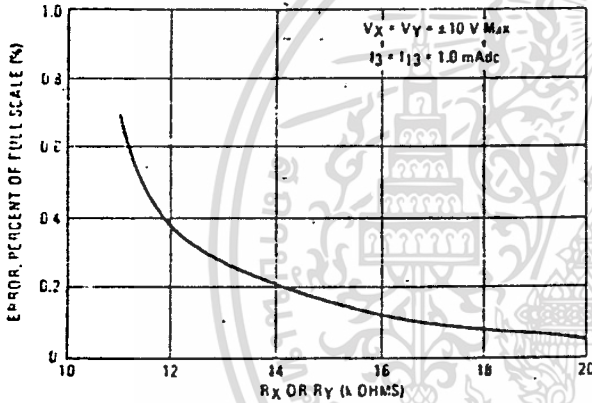


FIGURE 18 - ERROR CONTRIBUTED BY INPUT DIFFERENTIAL AMPLIFIER

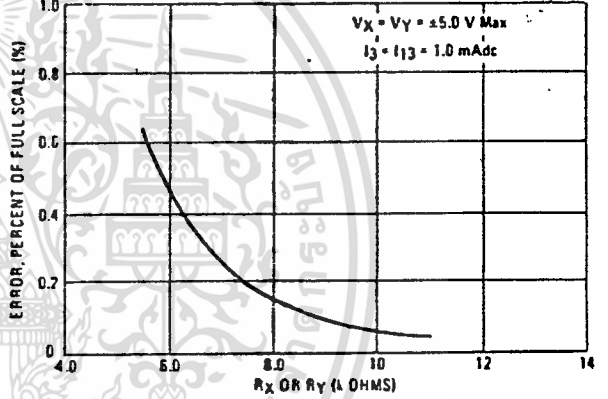
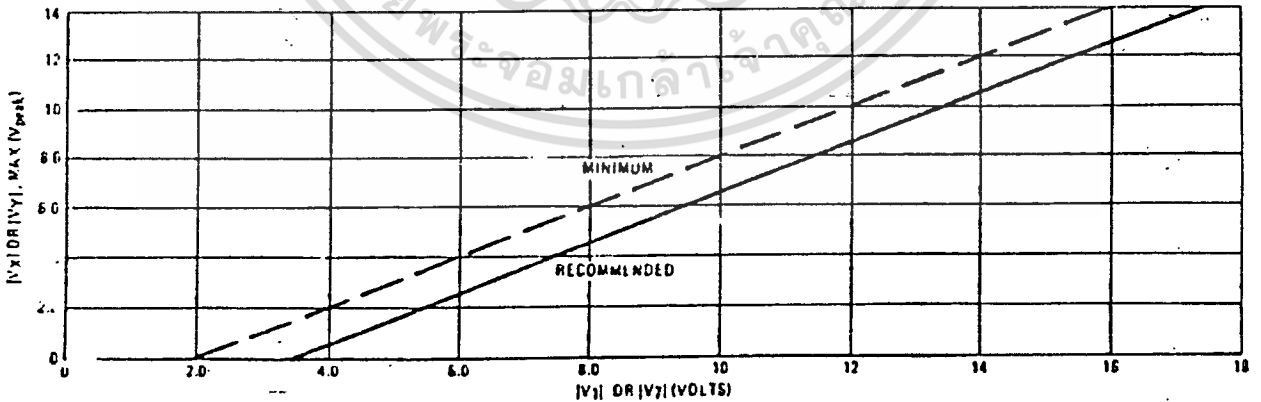


FIGURE 19 - MAXIMUM ALLOWABLE INPUT VOLTAGE versus VOLTAGE AT PIN 1 OR PIN 7



OPERATION AND APPLICATIONS INFORMATION

1. Theory of Operation

The MC1595 (MC1495) is a monolithic, four-quadrant multiplier which operates on the principle of variable transconductance. The detailed theory of operation is covered in Application Note AN-489, Analysis and Basic Operation of the MC1595. The result of this analysis is that the differential output current of the multiplier is given by

$$I_A - I_B = \Delta I = \frac{2V_X V_Y}{R_X R_Y I_3}$$

where I_A and I_B are the currents into pins 14 and 2, respectively, and V_X and V_Y are the X and Y input voltages at the multiplier input terminals.

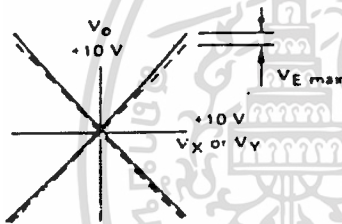
2. Design Considerations

2.1 General

The MC1595 (MC1495) permits the designer to tailor the multiplier to a specific application by proper selection of external components. External components may be selected to optimize a given parameter (e.g. bandwidth) which may in turn restrict another parameter (e.g. maximum output voltage swing). Each important parameter is discussed in detail in the following paragraphs.

2.1.1 Linearity, Output Error, E_{RX} or E_{RY}

Linearity error is defined as the maximum deviation of output voltage from a straight line transfer function. It is expressed as error in percent of full scale (see figure below).



For example, if the maximum deviation, $V_E(\max)$, is ± 100 mV and the full scale output is 10 volts, then the percentage error is

$$E_R = \frac{V_E(\max)}{V_O(\max)} \times 100 = \frac{100 \times 10^{-3}}{10} \times 100 = \pm 1.0\%$$

Linearity error may be measured by either of the following methods:

- Using an X - Y plotter with the circuit shown in Figure 5, obtain plots for X and Y similar to the one shown above.
- Use the circuit of Figure 4. This method nulls the level shifted output of the multiplier with the original input. The peak output of the null operational amplifier will be equal to the error voltage, $V_E(\max)$.

One source of linearity error can arise from large signal non-linearity in the X and Y-input differential amplifiers. To avoid introducing error from this source, the emitter degeneration resistors R_X and R_Y must be chosen large enough so that non-linear base-emitter voltage variation can be ignored. Figures 17 and 18 show the error expected from this source as a function of the values of R_X and R_Y with an operating current of 1.0 mA in each side of the differential amplifiers (i.e., $I_3 = I_{13} = 1.0$ mA).

2.1.2 3 dB-Bandwidth and Phase Shift

Bandwidth is primarily determined by the load resistors and the stray multiplier output capacitance and/or the operational amplifier used to level shift the output. If wideband operation is desired, low value load resistors and/or a wide-band operational amplifier should be used. Stray output capacitance will depend to a large extent on circuit layout.

Phase shift in the multiplier circuit results from two sources: phase shift common to both X and Y channels (due to the load resistor-output capacitance pole mentioned above) and relative phase shift between X and Y channels (due to differences in transmittance in the X and Y channels). If the input to output phase shift is only 0.6° , the output product of two sine waves will exhibit a vector error of 1%. A 3° relative phase shift between V_X and V_Y results in a vector error of 5%.

2.1.3 Maximum Input Voltage

$V_X(\max)$, $V_Y(\max)$ maximum input voltages must be such that:

$$V_X(\max) < I_{13} R_Y$$

$$V_Y(\max) < I_{13} R_X$$

Exceeding this value will drive one side of the input amplifier to "cutoff" and cause non-linear operation.

Currents I_3 and I_{13} are chosen at a convenient value (observing power dissipation limitation) between 0.5 mA and 2.0 mA, approximately 1.0 mA. Then R_X and R_Y can be determined by considering the input signal handling requirements.

For $V_X(\max) = V_Y(\max) = 10$ volts:

$$R_X = R_Y > \frac{10 \text{ V}}{1.0 \text{ mA}} = 10 \text{ k}\Omega$$

$$\text{The equation } I_A - I_B = \frac{2V_X V_Y}{R_X R_Y I_3}$$

$$\text{is derived from } I_A - I_B = \frac{2V_X V_Y}{(R_X + \frac{2kT}{qI_3})(R_Y + \frac{2kT}{qI_3}) I_3}$$

$$\text{with the assumption } R_X \gg \frac{2kT}{qI_3} \text{ and } R_Y \gg \frac{2kT}{qI_3}$$

At $T_A = +25^\circ\text{C}$ and $I_3 = I_{13} = 1$ mA,

$$\frac{2kT}{qI_3} = \frac{2kT}{qI_3} = 52 \Omega$$

Therefore, with $R_X = R_Y = 10 \text{ k}\Omega$ the above assumption is valid. Reference to Figure 19 will indicate limitations of $V_X(\max)$ or $V_Y(\max)$ due to V_1 and V_7 . Exceeding these limits will cause saturation or "cutoff" of the input transistors. See Step 4 of Section 3 (General Design Procedure) for further details.

2.1.4 Maximum Output Voltage Swing

The maximum output voltage swing is dependent upon the factors mentioned below and upon the particular circuit being considered.

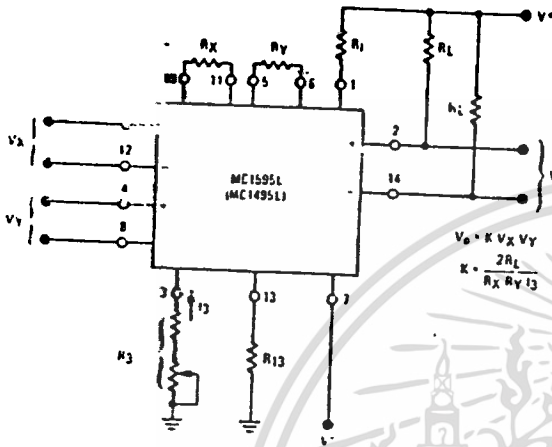
For Figure 20 the maximum output swing is dependent upon V^+ for positive swing and upon the voltage at pin 1 for negative swing. The potential at pin 1 determines the quiescent level for transistors Q_5 , Q_6 , Q_7 , and Q_8 . This potential

OPERATION AND APPLICATIONS INFORMATION (continued)

should be related so that negative swing at pins 2 or 14 does not saturate these transistors. See Section 3 for further information regarding selection of these potentials.

If an operational amplifier is used for level shift, as shown in Figure 21, the output swing (of the multiplier) is greatly reduced. See Section 3 for further details.

FIGURE 20 - BASIC MULTIPLIER



3. General Design Procedure

Selection of component values is best demonstrated by the following example: assume resistive dividers are used at the X and Y inputs to limit the maximum multiplier input to ± 5.0 volts ($V_X = V_Y [\max]$) for a ± 10 -volt input ($V_X' = V_Y' [\max]$). (See Figure 21). If an overall scale factor of 1/10 is desired, then

$$V_o = \frac{V_X' \cdot V_Y' \cdot (2V_X) (2V_Y)}{10} = 4/10 V_X V_Y.$$

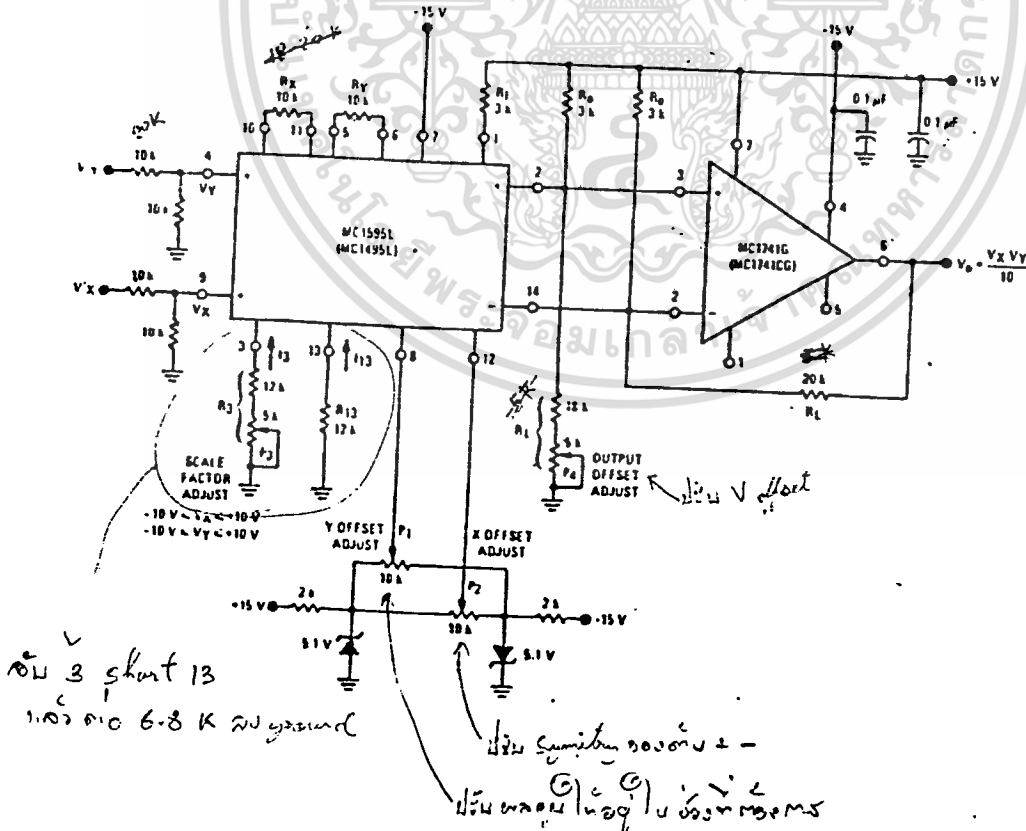
Therefore, $K = 4/10$ for the multiplier (excluding the divider network).

Step 1. The first step is to select current I_3 and current I_{13} . There are no restrictions on the selection of either of these currents except the power dissipation of the device. I_3 and I_{13} will normally be one or two milliamperes. Further, I_3 does not have to be equal to I_{13} , and there is normally no need to make them different. For this example, let

$$I_3 = I_{13} = 1 \text{ mA.}$$

To set currents I_3 and I_{13} to the desired value, it is only necessary to connect a resistor between pin 13 and ground, and between pin 3 and ground. From the schematic shown in Figure 3,

FIGURE 21 - MULTIPLIER WITH OP-AMPL. LEVEL SHIFT



OPERATION AND APPLICATIONS INFORMATION (continued)

It can be seen that the resistor values necessary are given by:

$$R_{13} + 500 \Omega = \frac{|V^-| - 0.7 \text{ V}}{I_{13}}$$

$$R_3 + 500 \Omega = \frac{|V^-| - 0.7 \text{ V}}{I_3}$$

Let $V^- = -15 \text{ V}$

Then $R_{13} + 500 = \frac{14.3 \text{ V}}{1 \text{ mA}}$ or $R_{13} = 13.8 \text{ k}\Omega$

Let $R_{13} = 12 \text{ k}\Omega$

Similarly, $R_3 = 13.8 \text{ k}\Omega$

Let $R_3 = 15 \text{ k}\Omega$

However, for applications which require an accurate scale factor, the adjustment of R_3 and consequently, I_3 , offers a convenient method of making a final trim of the scale factor. For this reason, as shown in Figure 21, resistor R_3 is shown as a fixed resistor in series with a potentiometer.

For applications not requiring an exact scale factor (balanced modulator, frequency doubler, AGC amplifier, etc.), pins 3 and 13 can be connected together and a single resistor from pin 3 to ground can be used. In this case, the single resistor would have a value of one-half the above calculated value for R_{13} .

Step 2. The next step is to select R_X and R_Y . To insure that the input transistors will always be active, the following conditions should be met:

$$\frac{V_X}{R_X} < I_{13} \quad \frac{V_Y}{R_Y} < I_3$$

A good rule of thumb is to make $I_3 R_Y \geq 1.5 V_{Y(max)}$ and $I_{13} R_X \geq 1.5 V_{X(max)}$.

The larger the $I_3 R_Y$ and $I_{13} R_X$ product in relation to V_Y and V_X respectively, the more accurate the multiplier will be (see Figures 17 and 18).

Let $R_X = R_Y = 10 \text{ k}\Omega$

Then $I_3 R_Y = 10 \text{ V}$

$I_{13} R_X = 10 \text{ V}$

since $V_{X(max)} = V_{Y(max)} = 5.0 \text{ volts}$ the value of $R_X = R_Y = 10 \text{ k}\Omega$ is sufficient.

Step 3. Now that R_X , R_Y and I_3 have been chosen, R_L can be determined:

$$K = \frac{2R_L}{R_X R_Y I_3} = \frac{4}{10}$$

or $\frac{(2)(R_L)}{(10 \text{ k})(10 \text{ k})(1 \text{ mA})} = \frac{4}{10}$ $R_L = \frac{1}{10} \cdot \frac{10^4 \text{ k}}{2} = 5 \text{ k}$

Thus $R_L = 20 \text{ k}\Omega$.

Step 4. To determine what power-supply voltage is necessary for this application, attention must be given to the circuit schematic shown in Figure 3. From the circuit schematic it can be seen that in order to maintain transistors Q_1 , Q_2 , Q_3 and Q_4 in an active

region when the maximum input voltages are applied ($V_X = V_Y = 10 \text{ V}$ or $V_X = 5.0 \text{ V}$, $V_Y = 5.0 \text{ V}$), their respective collector voltage should be at least a few tenths of a volt higher than the minimum input voltage. It should also be noticed that the collector voltages of transistors Q_3 and Q_4 are at a potential which is two diode drops below the voltage at pin 1. Thus, the voltage at pin 1 should be about two volts higher than the maximum input voltage. Therefore, to handle $\pm 5.0 \text{ volts}$ at the inputs, the voltage at pin 1 must be at least $\pm 7.0 \text{ volts}$. Let $V_1 = 9.0 \text{ V}$.

Since the current flowing into pin 1 is always equal to $2I_3$, the voltage at pin 1 can be set by placing a resistor, R_1 from pin 1 to the positive supply:

$$R_1 = \frac{V^+ - V_1}{2I_3}$$

Let $V^+ = +15 \text{ V}$

Then $R_1 = \frac{15 \text{ V} - 9 \text{ V}}{(2)(1 \text{ mA})}$

$R_1 = 3 \text{ k}\Omega$.

Note that the voltage at the base of transistors Q_5 , Q_6 , Q_7 and Q_8 is one diode-drop below the voltage at pin 1. Thus, in order that these transistors stay active, the voltage at pins 2 and 14 should be approximately halfway between the voltage at pin 1 and the positive supply voltage. For this example, the voltage at pins 2 and 14 should be approximately 11 volts.

Step 5. Level Shifting

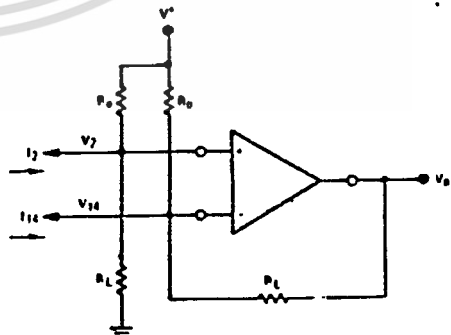
For dc applications, such as the multiply, divide and square-root functions, it is usually desirable to convert the differential output to a single-ended output voltage referenced to ground. The circuit shown in Figure 22 performs this function. It can be shown that the output voltage of this circuit is given by:

$$V_o = (I_2 - I_{14}) R_L$$

And since $I_A - I_B = I_2 - I_{14} = \frac{2I_X I_Y}{I_3} = \frac{2V_X V_Y}{I_3 R_X R_Y}$

Then $V_o = \frac{2R_L V_X V_Y}{4R_X R_Y I_3}$ where V_X , V_Y is the voltage at the input to the voltage dividers.

FIGURE 22 - LEVEL SHIFT CIRCUIT



The choice of an operational amplifier for this application should have low bias currents, low offset current, and a high common-mode input voltage range as well as a high common-mode rejection ratio. The MC1556, and MC1741 operational amplifiers meet these requirements.

Referring to Figure 21, the level shift components will be determined. When $V_X = V_Y = 0$, the currents I_2 and I_{14} will be equal to I_{13} . In Step 3, R_L was found to be 20 k Ω and in Step 4, V_2 and V_{14} were found to be approximately 11 volts. From this information, R_O can be found easily from the following equation (neglect the operational amplifiers bias current):

$$\frac{V_2}{R_L} + I_{13} = \frac{V^+ - V_2}{R_O}$$

And for example, $\frac{11 \text{ V}}{20 \text{ k}\Omega} + 1 \text{ mA} = \frac{15 \text{ V} - 11 \text{ V}}{R_O}$

Solving for R_O , $R_O = 2.6 \text{ k}\Omega$

Thus, select $R_O = 3.0 \text{ k}\Omega$

For $R_O = 3.0 \text{ k}\Omega$, the voltage at pins 2 and 14 is calculated to be

$$V_2 = V_{14} = 10.4 \text{ volts.}$$

The linearity of this circuit (Figure 21) is likely to be as good or better than the circuit of Figure 5. Further improvements are

possible as shown in Figure 23 where R_Y has been increased substantially to improve the Y linearity, and R_X decreased somewhat so as not to materially affect the X linearity, this avoids increasing R_L significantly in order to maintain a K of 0.1.

The versatility of the MC1595 (MC1495) allows the user to optimize its performance for various input and output signal levels.

4. Offset and Scale Factor Adjustment

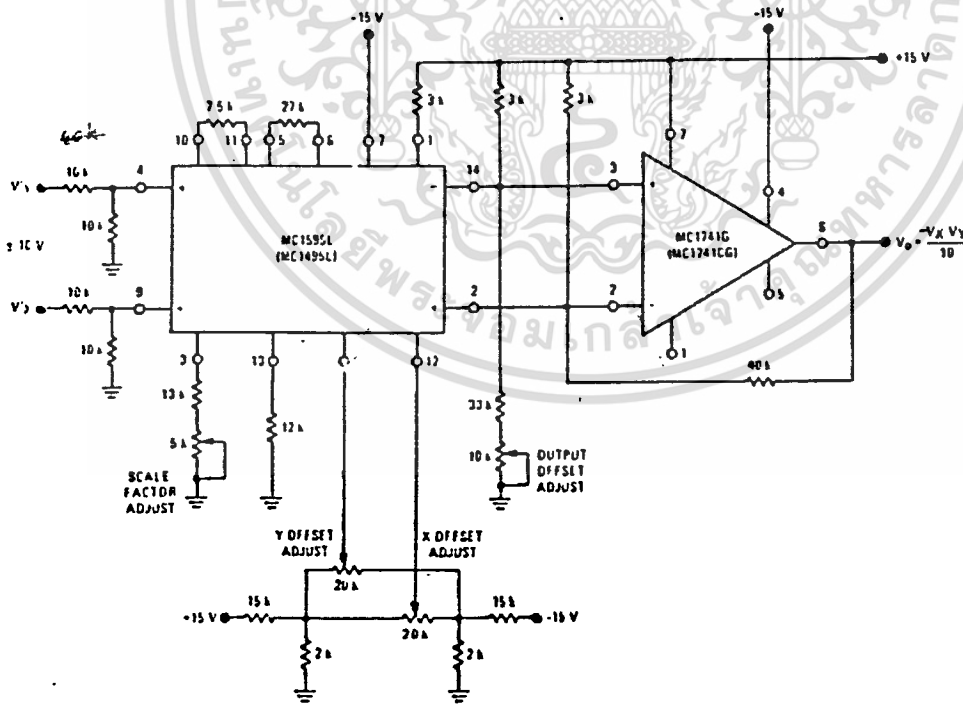
4.1 Offset Voltages

Within the monolithic multiplier (Figure 3) transistor base-emitter junctions are typically matched within 1 mV and resistors are typically matched within 2%. Even with this careful matching, an output error can occur. This output error is comprised of X-input offset voltage, Y-input offset voltage, and output offset voltage. These errors can be adjusted to zero with the techniques shown in Figure 21. Offset terms can be shown analytically by the transfer function:

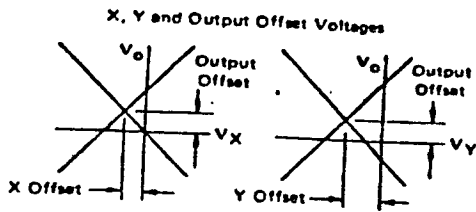
$$V_O = K(V_X \pm V_{IOX} \pm V_{X \text{ off}})(V_Y \pm V_{IOY} \pm V_{Y \text{ off}}) \pm V_{OO} \quad (1)$$

- Where K = scale factor
 V_X = X input voltage
 V_Y = Y input voltage
 V_{IOX} = X input offset voltage
 V_{IOY} = Y input offset voltage
 $V_{X \text{ off}}$ = X input offset adjust voltage
 $V_{Y \text{ off}}$ = Y input offset adjust voltage
 V_{OO} = output offset voltage.

FIGURE 23 - MULTIPLIER WITH IMPROVED LINEARITY



OPERATION AND APPLICATIONS INFORMATION (continued)



For most dc applications, all three offset adjust potentiometers (P₁, P₂, P₄) will be necessary. One or more offset adjust potentiometers can be eliminated for ac applications (See Figures 28, 29, 30, 31).

If well regulated supply voltages are available, the offset adjust circuit of Figure 13 is recommended. Otherwise, the circuit of Figure 14 will greatly reduce the sensitivity to power supply changes.

4.2 Scale Factor

The scale factor, K, is set by P₃ (Figure 21). P₃ varies I₃ which inversely controls the scale factor K. It should be noted that current I₃ is one-half the current through R₁. R₁ sets the bias level for Q₅, Q₆, Q₇, and Q₈ (See Figure 3). Therefore, to be sure that these devices remain active under all conditions of input and output swing, care should be exercised in adjusting P₃ over wide voltage ranges (see Section 3, General Design Procedure).

4.3 Adjustment Procedures

The following adjustment procedure should be used to null the offsets and set the scale factor for the multiply mode of operation. (See Figure 21)

1. X Input Offset
 - (a) Connect oscillator (1 kHz, 5 Vpp sine wave) to the "Y" input (pin 4)
 - (b) Connect "X" input (pin 9) to ground
 - (c) Adjust X offset potentiometer, P₂, for an ac null at the output
2. Y Input Offset
 - (a) Connect oscillator (1 kHz, 5 Vpp sine wave) to the "X" input (pin 9)
 - (b) Connect "Y" input (pin 4) to ground
 - (c) Adjust "Y" offset potentiometer, P₁, for an ac null at the output
3. Output Offset
 - (a) Connect both "X" and "Y" inputs to ground
 - (b) Adjust output offset potentiometer, P₄, until the output voltage V₀ is zero volts dc
4. Scale Factor
 - (a) Apply +10 Vdc to both the "X" and "Y" inputs
 - (b) Adjust P₃ to achieve +10.00 V at the output.
5. Repeat steps 1 through 4 as necessary.

The ability to accurately adjust the MC1595 (MC1495) depends upon the characteristics of potentiometers P₁ through P₄. Multi-turn, infinite resolution potentiometers with low-temperature coefficients are recommended.

5. DC Applications

5.1 Multiply

The circuit shown in Figure 21 may be used to multiply signals from dc to 100 kHz. Input levels to the actual multiplier are 5.0 V (max). With resistive voltage dividers the maximum could be very large — however, for this application two-to-one dividers have been used so that the maximum input level is 10 V. The maximum output level has also been designed for 10 V (max).

5.2 Squaring Circuit

If the two inputs are tied together, the resultant function is squaring; that is V₀ = KV² where K is the scale factor. Note that all error terms can be eliminated with only three adjustment potentiometers, thus eliminating one of the input offset adjustments. Procedures for nulling with adjustments are given as follows:

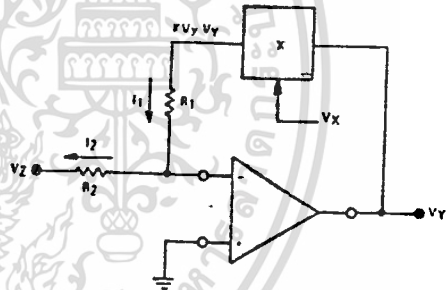
1. AC Procedure:

- (a) Connect oscillator (1 kHz, 15 Vpp) to input
- (b) Monitor output at 2 kHz with tuned voltmeter and adjust P₃ for desired gain (be sure to peak response of the voltmeter)
- (c) Tune voltmeter to 1 kHz and adjust P₁ for a minimum output voltage
- (d) Ground input and adjust P₄ (output offset) for zero volts dc output
- (e) Repeat steps a through d as necessary.

2. DC Procedure:

- (a) Set V_X = V_Y = 0 V and adjust P₄ (output offset potentiometer) such that V₀ = 0.0 Vdc
- (b) Set V_X = V_Y = 1.0 V and adjust P₁ (Y input offset potentiometer) such that the output voltage is +0.100 volts
- (c) Set V_X = V_Y = 10 Vdc and adjust P₃ such that the output voltage is +10.00 volts
- (d) Set V_X = V_Y = -10 Vdc: Repeat steps a through d as necessary.

FIGURE 24 — BASIC DIVIDE CIRCUIT



5.3 Divide Circuit

Consider the circuit shown in Figure 24 in which the multiplier is placed in the feedback path of an operational amplifier. For this configuration, the operational amplifier will maintain a "virtual ground" at the inverting (-) input. Assuming that the bias current of the operational amplifier is negligible, then I₁ = I₂ and

$$\frac{KV_X V_Y}{R_1} = \frac{-V_Z}{R_2} \quad (1)$$

Solving for V_Y,

$$V_Y = \frac{-R_1 V_Z}{R_2 K V_X} \quad (2)$$

If R₁ = R₂

$$V_Y = \frac{-V_Z}{KV_X} \quad (3)$$

If R₁ = KR₂

$$V_Y = \frac{-V_Z}{V_X} \quad (4)$$

OPERATION AND APPLICATIONS INFORMATION (continued)

Hence, the output voltage is the ratio of V_Z to V_X and provides a divide function. This analysis is, of course, the ideal condition. If the multiplier error is taken into account, the output voltage is found to be

$$V_Y = - \left[\frac{R_1}{R_2 K} \right] \frac{V_Z}{V_X} + \frac{\Delta E}{KV_X} \quad (5)$$

where ΔE is the error voltage at the output of the multiplier. From this equation, it is seen that divide accuracy is strongly dependent upon the accuracy at which the multiplier can be set, particularly at small values of V_Y . For example, assume that $R_1 = R_2$, and $K = 1/10$. For these conditions the output of the divide circuit is given by:

$$V_Y = \frac{-10 V_Z}{V_X} + \frac{10 \Delta E}{V_X} \quad (6)$$

From equation 6, it is seen that only when $V_X = 10 V$ is the error voltage of the divide circuit as low as the error of the multiply circuit. For example, when V_X is small, (0.1 volt) the error voltage of the divide circuit can be expected to be a hundred times the error of the basic multiplier circuit.

In terms of percentage error,

$$\text{percentage error} = \frac{\text{error}}{\text{actual}} \times 100\%$$

or from equation (5),

$$\text{P.E.D} = \frac{\frac{\Delta E}{KV_X}}{\left[\frac{R_1}{R_2 K} \right] \frac{V_Z}{V_X}} = \left[\frac{R_2}{R_1} \right] \frac{\Delta E}{V_Z} \quad (7)$$

From equation 7, the percentage error is inversely related to voltage V_Z (i.e., for increasing values of V_Z , the percentage error decreases).

A circuit that performs the divide function is shown in Figure 25.

Two things should be emphasized concerning Figure 25.

1. The input voltage (V_X) must be greater than zero and must be positive. This insures that the current out of pin 2 of the multiplier will always be in a direction compatible with the polarity of V_Z .
2. Pins 2 and 14 of the multiplier have been interchanged in respect to the operational amplifiers input terminals. In this instance, Figure 25 differs from the circuit connection shown in Figure 21; necessitated to insure negative feedback around the loop.

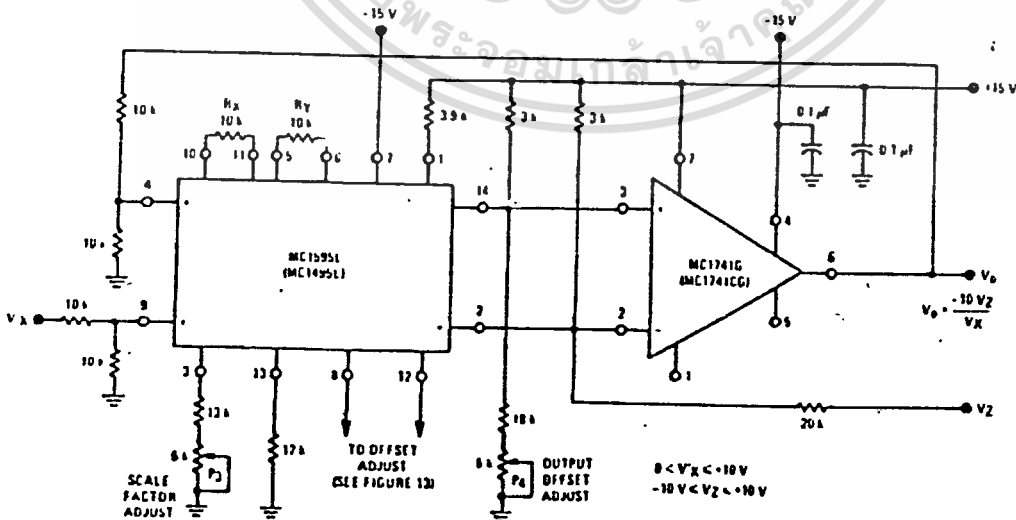
A Suggested Adjustment Procedure for the Divide Circuit

1. Set $V_Z = 0$ volts and adjust the output offset potentiometer (P_4) until the output voltage (V_O) remains at some (not necessarily zero) constant value as V_X is varied between +1.0 volt and +10 volts.
2. Keep V_Z at 0 volts, set V_X at +10 volts and adjust the Y input offset potentiometer (P_1) until $V_O = 0$ volts.
3. Let $V_X = V_Z$ and adjust the X input offset potentiometer (P_2) until the output voltage remains at some (not necessarily -10 volts) constant value as $V_Z = V_X$ is varied between +1.0 and +10 volts.
4. Keep $V_X = V_Z$ and adjust the scale factor potentiometer (P_3) until the average value of V_O is -10 volts as $V_Z = V_X$ is varied between +1.0 volt and +10 volts.
5. Repeat steps 1 through 4 as necessary to achieve optimum performance.

5.4 Square Root

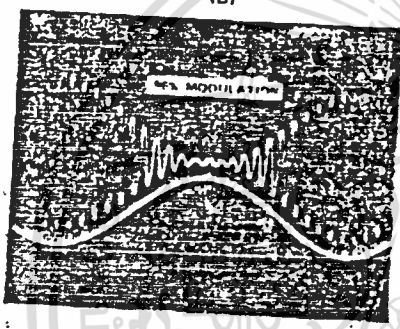
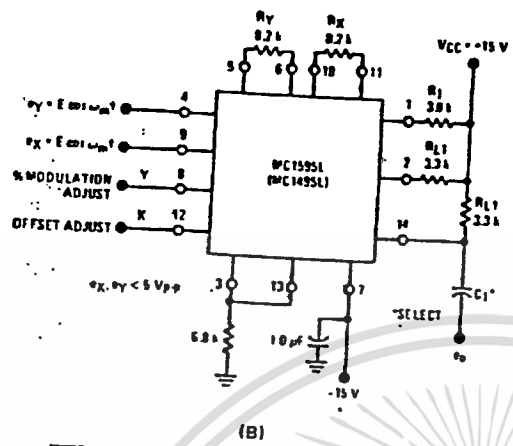
A special case of the divide circuit in which the two inputs to the multiplier are connected together is the square root function

FIGURE 25 - DIVIDE CIRCUIT



OPERATION AND APPLICATIONS INFORMATION (continued)

FIGURE 30 - AMPLITUDE MODULATION



The signal is applied to the unit's Y input. Since the total input range is limited to 1.0 volt p-p, a 2.0 volt p-p, a current source of 2.0 mA and an R_Y value of 1.0 k ohm is chosen. This takes best advantage of the dynamic range and insures linear operation in the Y-channel.

Since the X input varies between 0 and +1.0 volt, the current source selected was 1.0 mA and the R_X value chosen was 2.0 kilohms. This also insures linear operation over the X input dynamic range.

Choosing $R_L = 100$ assures wide-bandwidth operation. Hence, the scale factor for this configuration is

$$K = \frac{R_L}{R_X R_Y I_3}$$

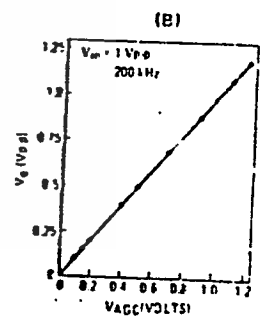
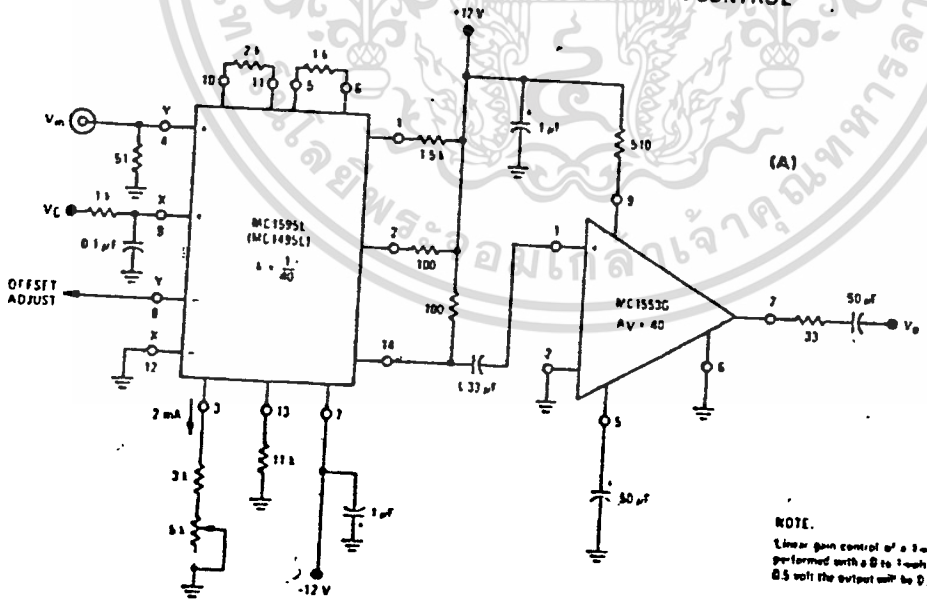
$$= \frac{100}{(2 \text{ k})(1 \text{ k})(2 \times 10^{-3})} \text{ V}^{-1}$$

$$= \frac{1}{40} \text{ V}^{-1}$$

The 2 in the numerator of the equation is missing in this scale-factor expression because the output is single-ended and ac coupled.

To recover the gain, an MC1552 video amplifier with a gain of 40 is used. An operational amplifier also could have been used with frequency compensation to allow a gain of 40 at 200 kHz. The MC1539 operational amplifier can be tailored for this use; and the MC1520 operational amplifier does it directly.

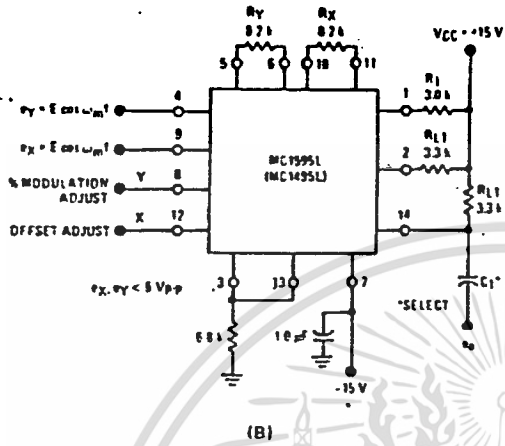
FIGURE 31 - LINEAR GAIN CONTROL



NOTE:
Linear gain control of a 1 volt p-p ac peak signal is performed with a 0 to 1 volt control voltage. If V_C is 0.5 volt the output will be 0.5 volt p-p.

OPERATION AND APPLICATIONS INFORMATION (continued)

FIGURE 30 — AMPLITUDE MODULATION



The signal is applied to the unit's Y input. Since the total input range is limited to 1.0 volt p-p, a 2.0-volt swing, a current source of 2.0 mA and an R_Y value of 1.0 kilohm is chosen. This takes best advantage of the dynamic range and insures linear operation in the Y-channel.

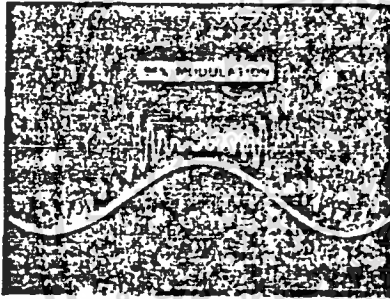
Since the X input varies between 0 and +1.0 volt, the current source selected was 1.0 mA and the R_X value chosen was 2.0 kilohms. This also insures linear operation over the X input dynamic range.

Choosing $R_L = 100$ assures wide bandwidth operation. Hence, the scale factor for this configuration is

$$K = \frac{R_L}{R_X R_Y I_3}$$

$$= \frac{100}{(2 \text{ k})(1 \text{ k})(2 \times 10^{-3})} \text{ V}^{-1}$$

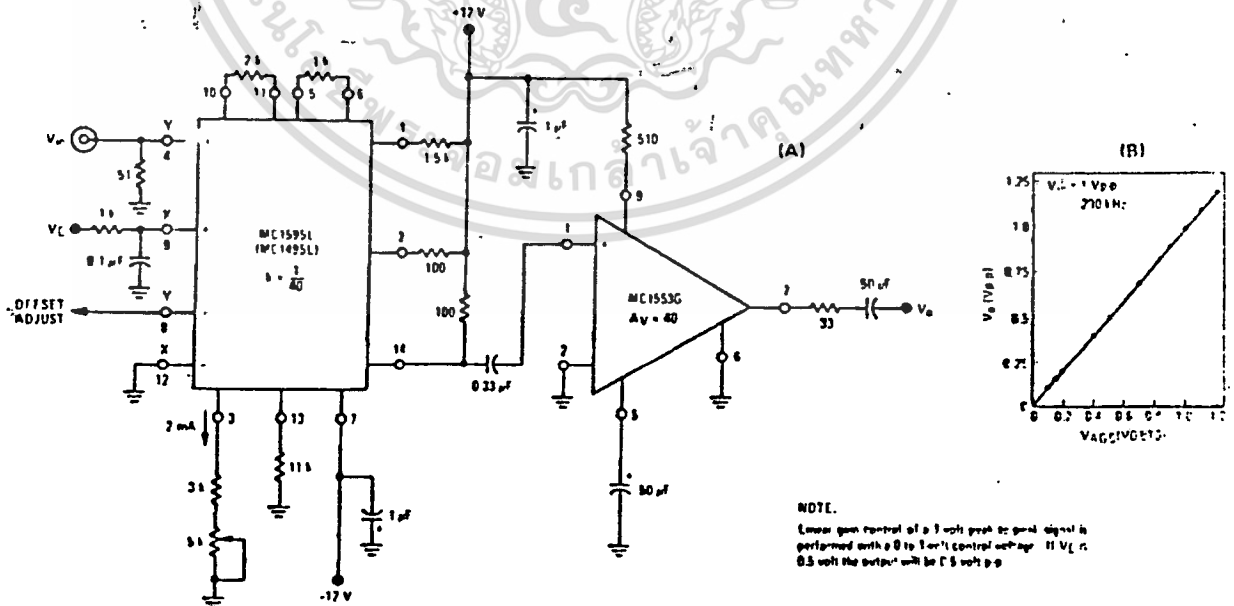
$$= \frac{1}{40} \text{ V}^{-1}$$



The 2 in the numerator of the equation is missing in this scale-factor expression because the output is single-ended and ac coupled.

To recover the gain, an MC1552 video amplifier with a gain of 40 is used. An operational amplifier also could have been used with frequency compensation to allow a gain of 40 at 200 kHz. The MC1539 operational amplifier can be tailored for this use; and the MC1520 operational amplifier does it directly.

FIGURE 31 — LINEAR GAIN CONTROL



NOTE:
Linear gain control of a 7 volt peak ac signal is performed with a 0 to 1 volt control voltage. If V_C is 0.5 volt the output will be 0.5 volt p-p.

MTM55N08
 MTM55N10
 MTM60N05
 MTM60N06

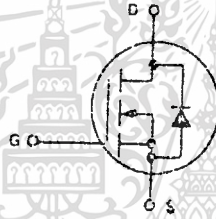


MOTOROLA

**N-CHANNEL ENHANCEMENT MODE SILICON GATE
 TMOS POWER FIELD EFFECT TRANSISTOR**

These TMOS Power FETs are designed for low voltage, high speed power switching applications such as switching regulators, converters, solenoid and relay drivers.

- Silicon Gate for Fast Switching Speeds — Switching Times Specified at 100°C
- Designer's Data — I_{DSS} , $V_{DS(on)}$, $V_{GS(th)}$ and SOA Specified at Elevated Temperature
- Rugged — SOA is Power Dissipation Limited
- Source-to-Drain Diode Characterized for Use With Inductive Loads



MAXIMUM RATINGS

Rating	Symbol	MTM				Unit
		60N05	60N06	65N05	65N10	
Drain-Source Voltage	V_{DSS}	50	60	60	100	Vdc
Drain-Gate Voltage ($R_{GS} = 1.0 \text{ M}\Omega$)	V_{DGR}	50	60	60	100	Vdc
Gate-Source Voltage	V_{GS}	= 20				Vdc
Drain Current Continuous	I_D	60		65		Adc
Drain Current Pulsed	I_{DM}	300		275		Adc
Gate Current — Pulsed	I_{GM}	1.5				Adc
Total Power Dissipation ($T_C = 25^\circ\text{C}$ Drate above 25°C)	P_D	250				Watts
Operating and Storage Temperature Range	T_J, T_{stg}	65 to 150				$^\circ\text{C}$

THERMAL CHARACTERISTICS

Thermal Resistance Junction to Case	$R_{\theta JC}$	0.7	$^\circ\text{C/W}$
Maximum Lead Temp. for Soldering Purposes, 1/8" from case for 5 seconds	T_L	275	$^\circ\text{C}$

Designer's Data for "Worst Case" Conditions

The Designer's Data Sheet permits the design of most circuits entirely from the information presented. Limit data — representing device characteristic boundaries — are given to facilitate "worst case" design.

65 and 60 AMPERE

**N-CHANNEL TMOS
 POWER FETs**

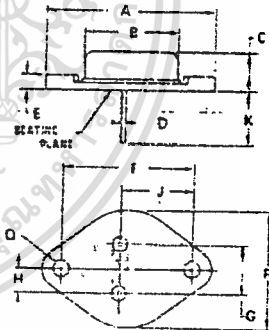
$r_{DS(on)} = 0.04 \text{ OHM}$
 80 and 100 VOLTS

$r_{GS(on)} = 0.028 \text{ OHM}$
 50 and 60 VOLTS

MTM55N05
 MTM55N10
 MTM60N05
 MTM60N06



PIN 1: GATE
 2: SOURCE
 CASE: DRAIN



DIM	MILLIMETERS		INCHES	
	MIN	MAX	MIN	MAX
A	38.35	38.27	1.511	1.500
B	18.30	21.68	0.721	0.853
C	7.35	7.62	0.289	0.300
D	1.45	1.60	0.057	0.063
E	-	3.43	-	0.135
F	28.00	30.40	1.127	1.197
G	10.27	11.18	0.405	0.440
H	5.21	5.77	0.205	0.227
J	16.51	17.14	0.650	0.675
K	11.18	12.19	0.440	0.480
L	3.84	4.09	0.151	0.161
M	24.89	26.67	0.980	1.050

CASE 187-01
 YO-204AE
 (TO-3 TYPE)

ELECTRICAL CHARACTERISTICS (T_C = 25°C unless otherwise noted)

Characteristic	Symbol	Min	Max	Unit
OFF CHARACTERISTICS				
Drain-Source Breakdown Voltage (V _{GS} = 0, I _D = 5.0 mA)	V _{ER(DSS)}	50 60 80 100	—	V _{dc}
Zero Gate Voltage Drain Current (V _{DS} = 0.85 Rated V _{DS} , V _{GS} = 0) T _C = 150°C	I _{DSS}	—	0.25 2.5	mA _{dc}
Gate-Body Leakage Current (V _{GS} = 20 V _{dc} , V _{DS} = 0)	I _{GSS}	—	500	nA _{dc}

ON CHARACTERISTICS*				
Gate Threshold Voltage (I _D = 1.0 mA, V _{DS} = V _{GS}) T _J = 100°C	V _{GS(th)}	2.0 1.5	4.5 4.0	V _{dc}
Static Drain-Source On-Resistance (V _{GS} = 10 V _{dc} , I _D = 30 A _{dc}) (V _{GS} = 16 V _{dc} , I _D = 27.5 A _{dc})	r _{DS(on)}	—	0.028 0.04	Ohm
Drain-Source On-Voltage (V _{GS} = 10 V) (I _D = 60 A _{dc}) (I _D = 30 A _{dc} , T _J = 100°C) (I _D = 55 A _{dc}) (I _D = 27.5 A _{dc} , T _C = 100°C)	V _{DS(on)}	—	1.95 1.63 2.03 2.25	V _{dc}
Forward Transconductance (V _{DS} = 15 V, I _D = 30 A) (V _{DS} = 15 V, I _D = 27.5 A)	g _{fs}	10 10	—	mhos

DYNAMIC CHARACTERISTICS					
Input Capacitance	C _{iss}	—	5000	pF	
Output Capacitance		C _{oss}	—		2500
Reverse Transfer Capacitance		C _{rss}	—		1000

SWITCHING CHARACTERISTICS* (T_J = 100°C)					
Turn-On Delay Time	t _{don}	—	50	ns	
Rise Time		t _r	—		200
Turn-Off Delay Time		t _{d(off)}	—		150
Fall Time		t _f	—		100

SOURCE-DRAIN DIODE CHARACTERISTICS*				
Characteristic		Symbol	Typ	Unit
Forward On-Voltage	I _S = Rated I _D V _{GS} = 0	V _{SD}	1.0	V _{dc}
Forward Turn-On Time		t _{on}	150	ns
Reverse Recovery Time		t _{rr}	200	ns

*Pulse Test: Pulse Width ≤ 300 μs, Duty Cycle ≤ 2.0%

RESISTIVE SWITCHING

FIGURE 1 — SWITCHING TEST CIRCUIT

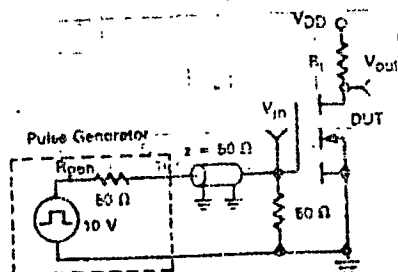
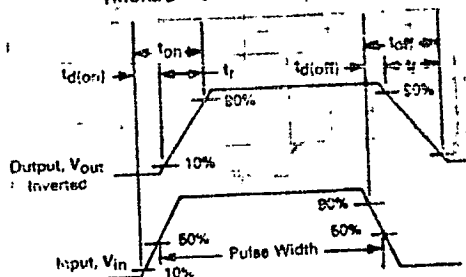


FIGURE 2 — SWITCHING WAVEFORMS



TYPICAL CHARACTERISTICS

MTM63N05, MTM63N08

FIGURE 3 — ON-REGION CHARACTERISTICS

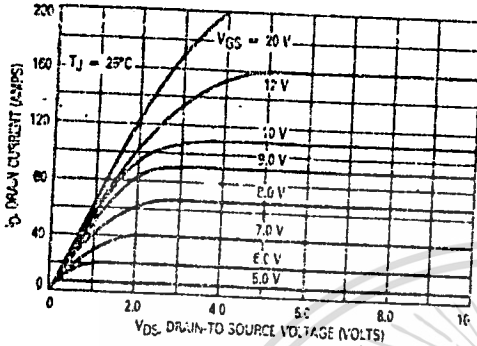


FIGURE 5 — TRANSFER CHARACTERISTICS

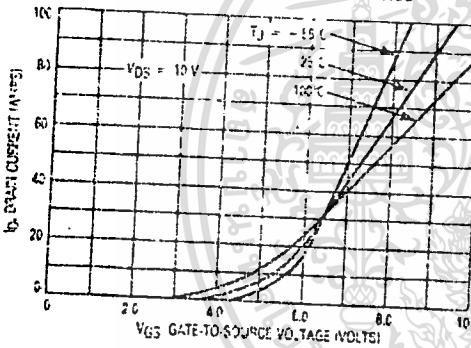
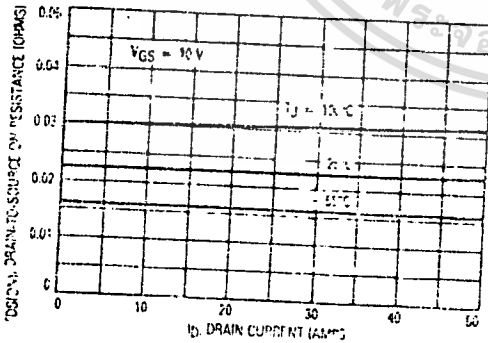


FIGURE 7 — ON-RESISTANCE versus DRAIN CURRENT



MTM55N05, MTM55N10

FIGURE 4 — ON-REGION CHARACTERISTICS

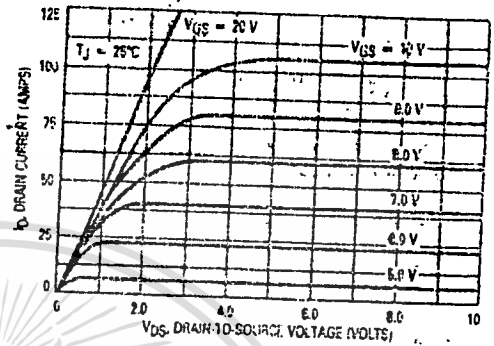


FIGURE 6 — TRANSFER CHARACTERISTICS

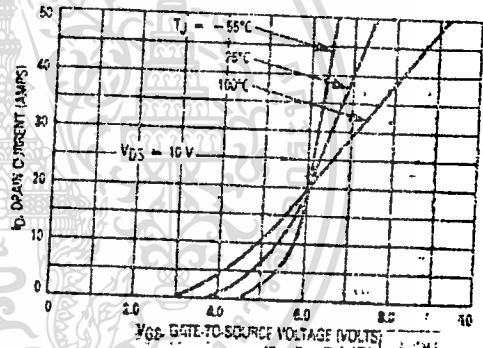
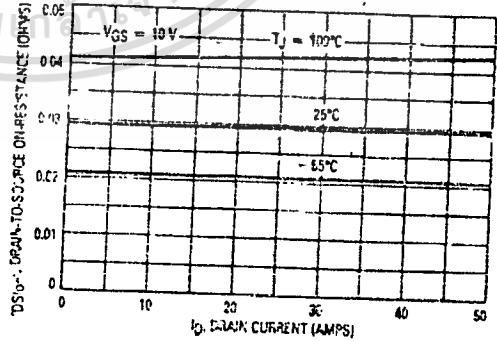


FIGURE 8 — ON-RESISTANCE versus DRAIN CURRENT



TYPICAL CHARACTERISTICS

FIGURE 9 — GATE THRESHOLD VOLTAGE VARIATION WITH TEMPERATURE

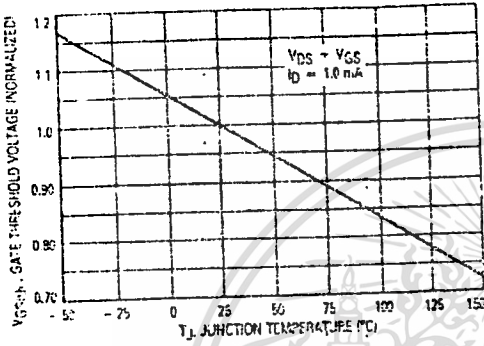
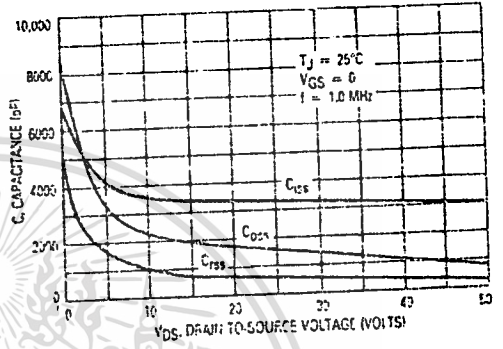
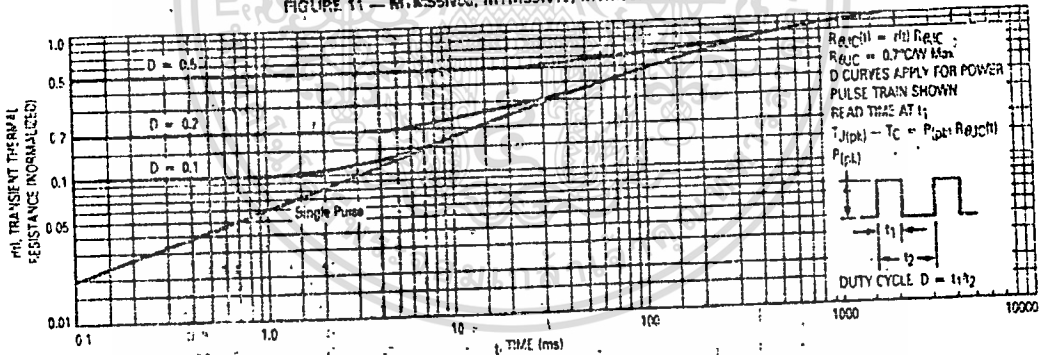


FIGURE 10 — CAPACITANCE VARIATION



THERMAL RESPONSE

FIGURE 11 — MTM55N05, MTM55N10, MTM60N05, MTM60N10



SAFE OPERATING AREA INFORMATION
 MAXIMUM RATED FORWARD BIASED SAFE OPERATING AREA

FIGURE 12 — MTM60N05, MTM60N06

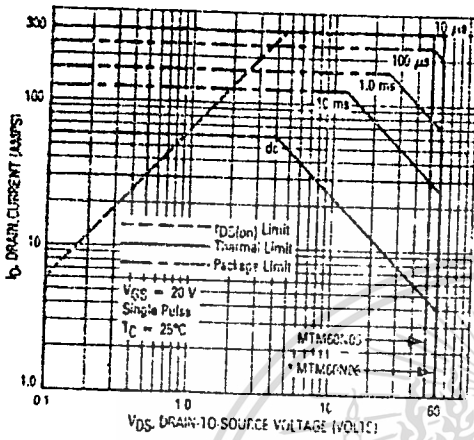
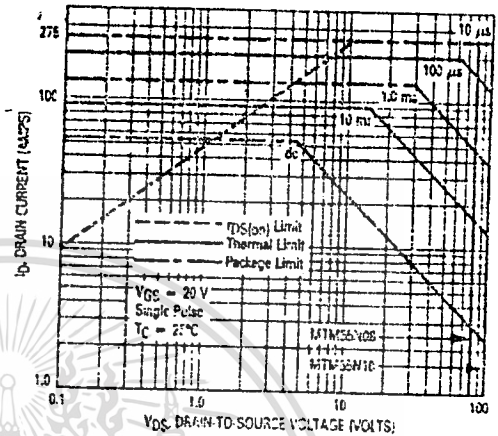


FIGURE 13 — MTM55N02, MTM55N10



FORWARD BIASED SAFE OPERATING AREA

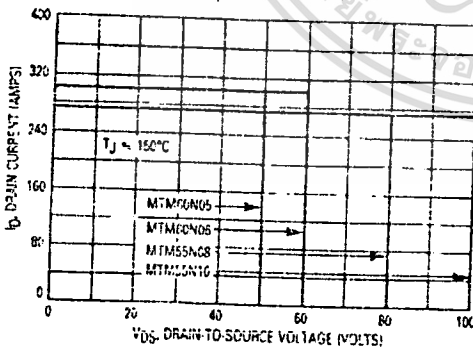
The dc data of Figures 12 and 13 is based on a case temperature (T_C) of 25°C and a maximum junction temperature ($T_{J(max)}$) of 150°. The actual junction temperature depends on the power dissipated in the device and its case temperature. For various pulse widths, duty cycles, and case temperatures, the peak allowable drain current (I_{DM}) may be calculated with the aid of the following equation:

$$I_{DM} = I_{D(25^\circ C)} \left[\frac{T_{J(max)} - T_C}{PD \cdot R_{\theta JC} \cdot r(t)} \right]$$

where

- $I_{D(25^\circ C)}$ = the dc drain current at $T_C = 25^\circ C$ from Figures 12 and 13
- $T_{J(max)}$ = rated maximum junction temperature
- T_C = device case temperature
- PD = rated power dissipation at $T_C = 25^\circ C$
- $R_{\theta JC}$ = rated steady state thermal resistance
- $r(t)$ = normalized thermal response from Figure 11.

FIGURE 14 — MAXIMUM RATED SWITCHING SAFE OPERATING AREA



SWITCHING SAFE OPERATING AREA

The switching safe operating area (SOA) of Figure 14, is the boundary that the load line may traverse without incurring damage to the MOSFET. The fundamental limits are the peak current, I_{DM} and the breakdown voltage, $V_{(BR)DSS}$. The switching SOA shown in Figure 14 is applicable for both turn-on and turn-off of the devices for switching times less than one microsecond.

The power averaged over a complete switching cycle must be less than:

$$\frac{T_{J(max)} - T_C}{R_{\theta JC}}$$

**IRF610
IRF611
IRF612
IRF613**

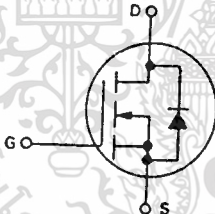


Advance Information

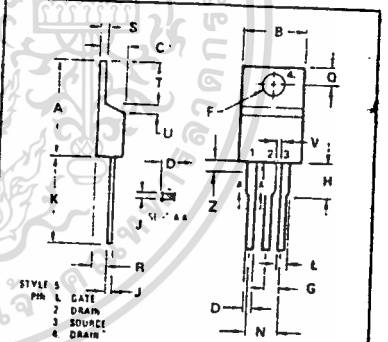
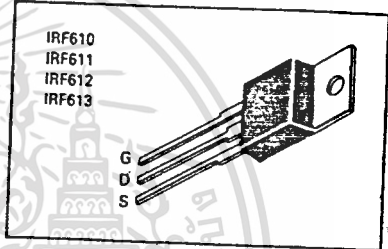
**N-CHANNEL ENHANCEMENT MODE SILICON GATE
TMOS POWER FIELD EFFECT TRANSISTOR**

These TMOS Power FETs are designed for low voltage, high speed power switching applications such as switching regulators, converters, solenoid and relay drivers.

- Silicon Gate for Fast Switching Speeds
- Rugged — SOA is Power Dissipation Limited
- Source-to-Drain Diode Characterized for Use With Inductive Loads



Part Number	V _{DS}	r _{DS(on)}	I _D
IRF610	200 V	1.5 Ω	2.5 A
IRF611	150 V	1.5 Ω	2.5 A
IRF612	200 V	2.4 Ω	2.0 A
IRF613	150 V	2.4 Ω	2.0 A



- NOTES:
1. DIMENSION H APPLIES TO ALL LEADS.
 2. DIMENSION L APPLIES TO LEADS 1 AND 3 ONLY.
 3. DIMENSION Z DEFINES A ZONE WHERE ALL BODY AND LEAD IRREGULARITIES ARE ALLOWED.
 4. DIMENSIONING AND TOLERANCING PER ANSI Y14.5 1973.
 5. CONTROLLING DIMENSION: INCH.

DIM	MILLIMETERS		INCHES	
	MIN	MAX	MIN	MAX
A	15.11	15.75	0.595	0.620
B	9.65	10.29	0.380	0.405
C	4.06	4.82	0.160	0.190
D	0.64	0.89	0.025	0.035
F	3.61	3.73	0.142	0.147
G	2.41	2.67	0.095	0.105
H	2.79	3.30	0.110	0.130
J	0.36	0.56	0.014	0.022
K	12.70	14.27	0.500	0.562
L	1.14	1.39	0.045	0.055
N	4.83	5.33	0.190	0.210
O	2.54	3.04	0.100	0.120
R	2.04	2.29	0.080	0.110
S	1.14	1.39	0.045	0.055
T	5.97	6.48	0.235	0.255
U	0.76	1.27	0.030	0.050
V	1.14	-	0.045	-
Z	-	2.63	-	0.080

CASE 221A-02
TO-220AB

MAXIMUM RATINGS

Rating	Symbol	IRF				Unit
		610	611	612	613	
Drain-Source Voltage	V _{DSS}	200	150	200	150	V _{dc}
Drain-Gate Voltage (R _{GS} = 1.0 MΩ)	V _{DGR}	200	150	200	150	V _{dc}
Gate-Source Voltage	V _{GS}	≥ 20				V _{dc}
Continuous Drain Current I _C = 25°C	I _D	2.5	2.5	2.0	2.0	A _{dc}
Continuous Drain Current T _C = 100°C	I _D	1.5	1.5	1.25	1.25	A _{dc}
Drain Current — Pulsed	I _{DM}	10	10	8.0	8.0	A _{dc}
Gate Current — Pulsed	I _{GM}	1.5				A _{dc}
Total Power Dissipation @ T _C = 25°C Derate above 25°C	P _D	20 0.16				Watts W/C
Operating and Storage Temperature Range	T _J , T _{stg}	-55 to 150				°C

THERMAL CHARACTERISTICS

Thermal Resistance Junction to Case	R _{θJC}	6.4	°C/W
Maximum Lead Temp. for Soldering Purposes, 1/8" from case for 5 seconds	T _L	300	°C

IRF610-613

ELECTRICAL CHARACTERISTICS ($T_C = 25^\circ\text{C}$ unless otherwise noted)

Characteristic	Symbol	Min	Typ	Max	Unit
OFF CHARACTERISTICS					
Drain-Source Breakdown Voltage ($V_{GS} = 0, I_D = 250 \mu\text{A}$)	$V_{(BR)DSS}$	200 150	—	—	Vdc
Zero Gate Voltage Drain Current ($V_{GS} = 0 \text{ V}, V_{DS} = \text{Rated } V_{DSS}$) ($V_{GS} = 0 \text{ V}, V_{DS} = 0.8 \text{ Rated } V_{DSS}, T_C = 125^\circ\text{C}$)	I_{DSS}	—	—	0.25 1.0	mAdc
Forward Gate-Body Leakage Current ($V_{GS} = 20 \text{ V}, V_{DS} = 0$)	I_{GSSF}	—	—	100	nAdc
Reverse Gate-Body Leakage Current ($V_{GS} = -20 \text{ V}, V_{DS} = 0$)	I_{GSSR}	—	—	-100	nAdc

ON CHARACTERISTICS*					
Gate Threshold Voltage ($V_{DS} = V_{GS}, I_D = 250 \mu\text{A}$)	$V_{GS(th)}$	2.0	—	4.0	Vdc
On-State Drain Current ($V_{DS} = 25 \text{ V}, V_{GS} = 10 \text{ V}$)	$I_{D(on)}$	2.5 2.0	—	—	Adc
Static Drain-Source On-Resistance ($V_{GS} = 10 \text{ V}, I_D = 1.25 \text{ A}$)	$r_{DS(on)}$	—	—	1.5 2.4	Ohms
Forward Transconductance ($V_{DS} = 15 \text{ V}, I_D = 1.25 \text{ A}$)	g_{fs}	0.8	—	—	mhos

DYNAMIC CHARACTERISTICS					
Input Capacitance	$(V_{DS} = 25 \text{ V}, V_{GS} = 0, f = 1.0 \text{ MHz})$	C_{iss}	—	150	pF
Output Capacitance		C_{oss}	—	80	
Reverse Transfer Capacitance		C_{rss}	—	2.5	

SWITCHING CHARACTERISTICS* ($T_J = 100^\circ\text{C}$)					
Turn-On Delay Time	$V_{DD} = 0.5 V_{DSS}, I_D = 1.25 \text{ A}$ $Z_o = 50 \Omega$	$t_{d(on)}$	—	15	ns
Rise Time		t_r	—	25	
Turn-Off Delay Time		$t_{d(off)}$	—	15	
Fall Time		t_f	—	15	

SOURCE DRAIN DIODE CHARACTERISTICS*				
Characteristic	Symbol	Typ	Unit	
Forward On-Voltage	V_{SD}	1.8	Vdc	
Reverse Recovery Time	t_{rr}	290	ns	

*Pulse Test: Pulse Width $\leq 300 \mu\text{s}$, Duty Cycle $\leq 2.0\%$.

FIGURE 1 — SWITCHING TEST CIRCUIT

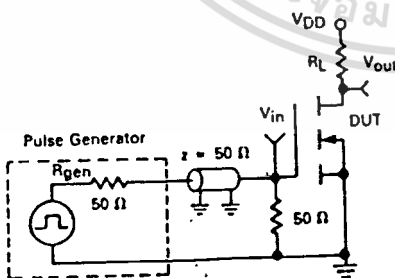


FIGURE 2 — SWITCHING WAVEFORMS

